



# Système nerveux autonome Retour Veineux et CEC

**DU Circulation extracorporelle et Suppléances d'organes**

**Dr LABASTE François, MD – PhD**

labaste.f@chu-toulouse.fr



# Système nerveux autonome

# Physiologie du système nerveux autonome

## Fonctions

### Adaptation aux contextes pour maintenir l'homéostasie

#### Parasympathique

1. ↘ du métabolisme
  2. ↘ du rythme cardiaque et respiratoire
  3. Activation glandes salivaires et digestives
  4. ↑ des apports sanguins aux organes digestifs et urinaires
  5. Activation de la motilité gastro intestinale et vésicale
- ➔ Stockage des réserves

#### Orthosympathique

1. ↑ du métabolisme
2. ↑ du débit cardiaque et fonction respiratoire (ventilation)
3. Ralentissement de la digestion et de la filtration urinaire
4. Redirection des apports sanguins vers les muscles
5. ↑ du glucose sanguin

# Physiologie du système nerveux autonome

## Rôle du SNA

### Différents effets en cas de stimulation sympathique ou parasympathique

Organe effecteur	Effet parasympathique	Effets sympathique
Pupille	Constriction	Dilatation ( $\alpha$ )
Glandes salivaires	Sécrétion aqueuse	Mucus, enzymes ( $\alpha$ et $\beta_2$ )
Coeur	Baisse de la fréquence	Augmentation de la fréquence et de la force de contraction ( $\beta_1$ )
Artéries et veines	-----	Constriction ( $\alpha$ ) ou dilatation ( $\beta$ )
Poumons	Bronchoconstriction	Bronchodilatation ( $\beta_2$ )
Système digestif	Motilité et sécrétion augmentées	Motilité et sécrétion diminuée ( $\alpha$ et $\beta_2$ )
Pancréas endocrine	Augmente la sécrétion d'insuline	Baisse la sécrétion d'insuline ( $\alpha$ )
Pancréas exocrine	Augmente la sécrétion enzymatique	Diminue la sécrétion enzymatique ( $\alpha$ )
Rein	-----	Augmente la sécrétion de rénine ( $\beta_1$ )
Vessie	Favorise la miction	Favorise la rétention urinaire ( $\beta_1$ )
Organes sexuels	Erection	Ejaculation ( $\alpha$ )
Utérus	Variable selon la phase du cycle	Variable selon la phase du cycle
Tissu adipeux	-----	Catabolisme lipidique ( $\beta$ )
Glandes sudoripares	-----	Augmente la sudation ( $\alpha$ )

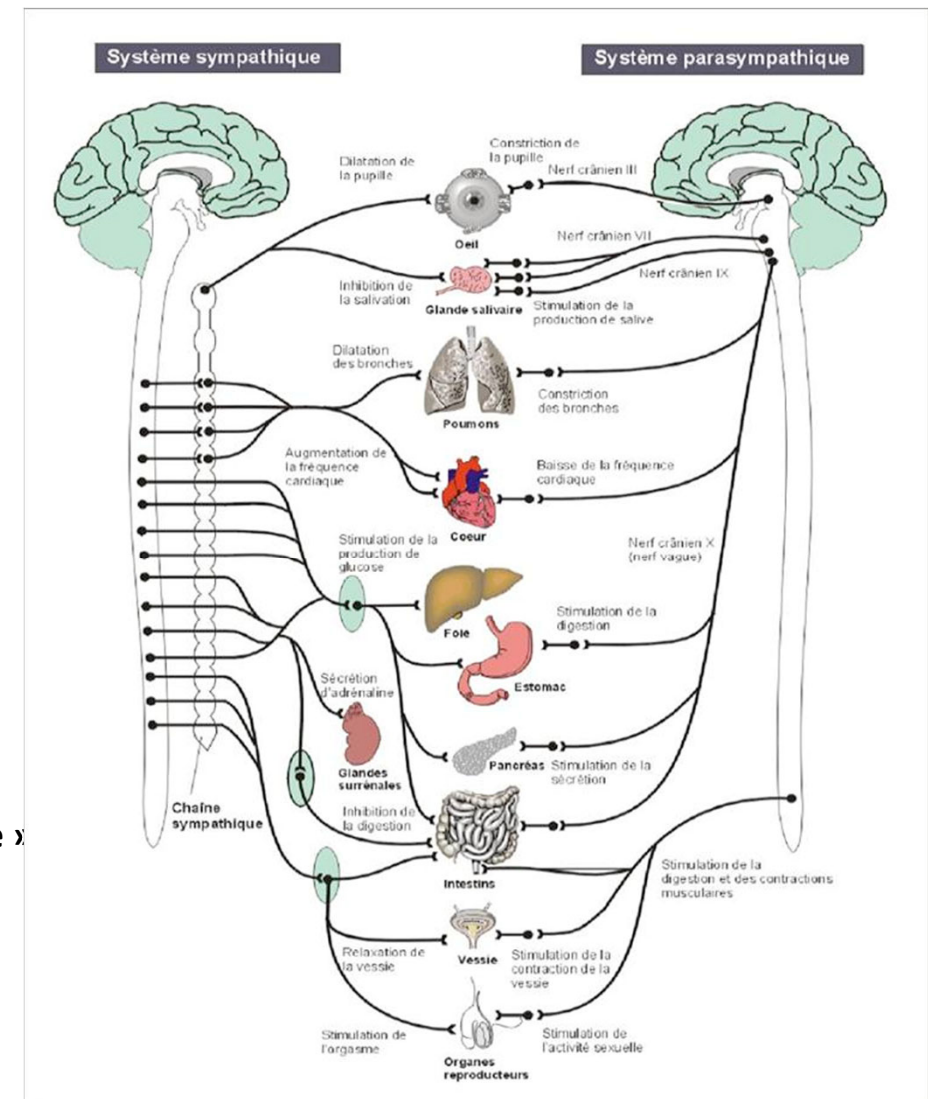
# Physiologie du système nerveux autonome

## Anatomie

- **SNA = rôle essentiel dans le contrôle de l'homéostasie de l'organisme**
- **Deux systèmes :**
  - Orthosympathique : exciteur : dorso-lombaire
  - Parasympathique : inhibiteur : cranio-sacrée
- **Organisation propre**
- Fonctions différentes

**Viscères : fonctionnement propre**

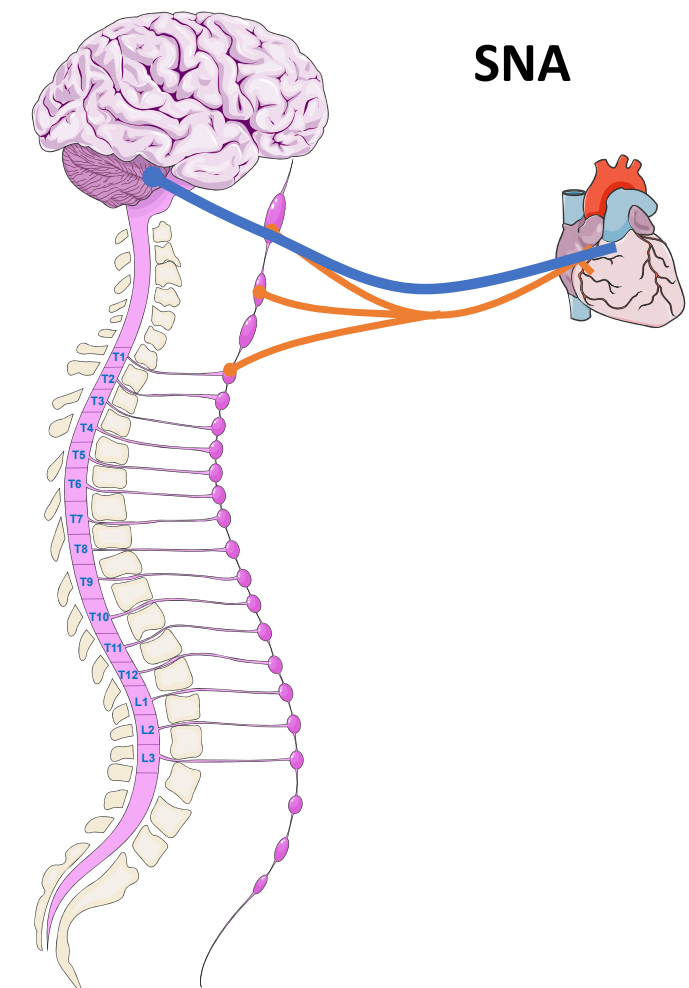
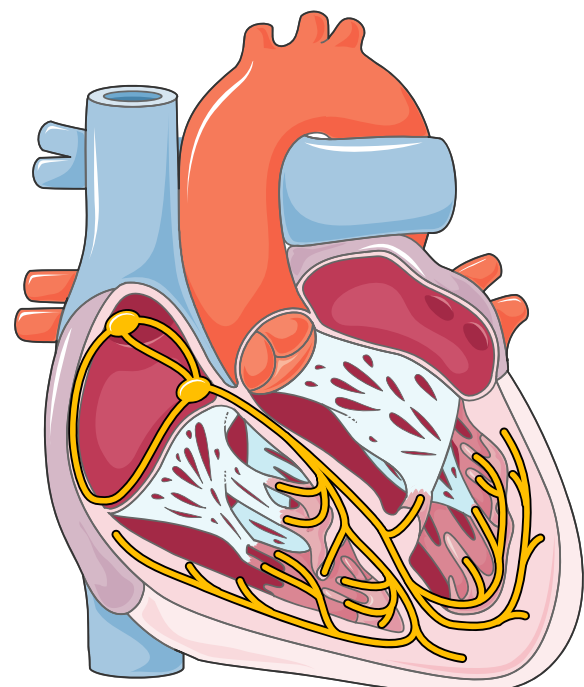
**SNA → Module les fonctions neurovégétatives pour une vie en « harmonie »**



# Physiologie du système nerveux autonome

## Anatomie

### Système intrinsèque Autonomie

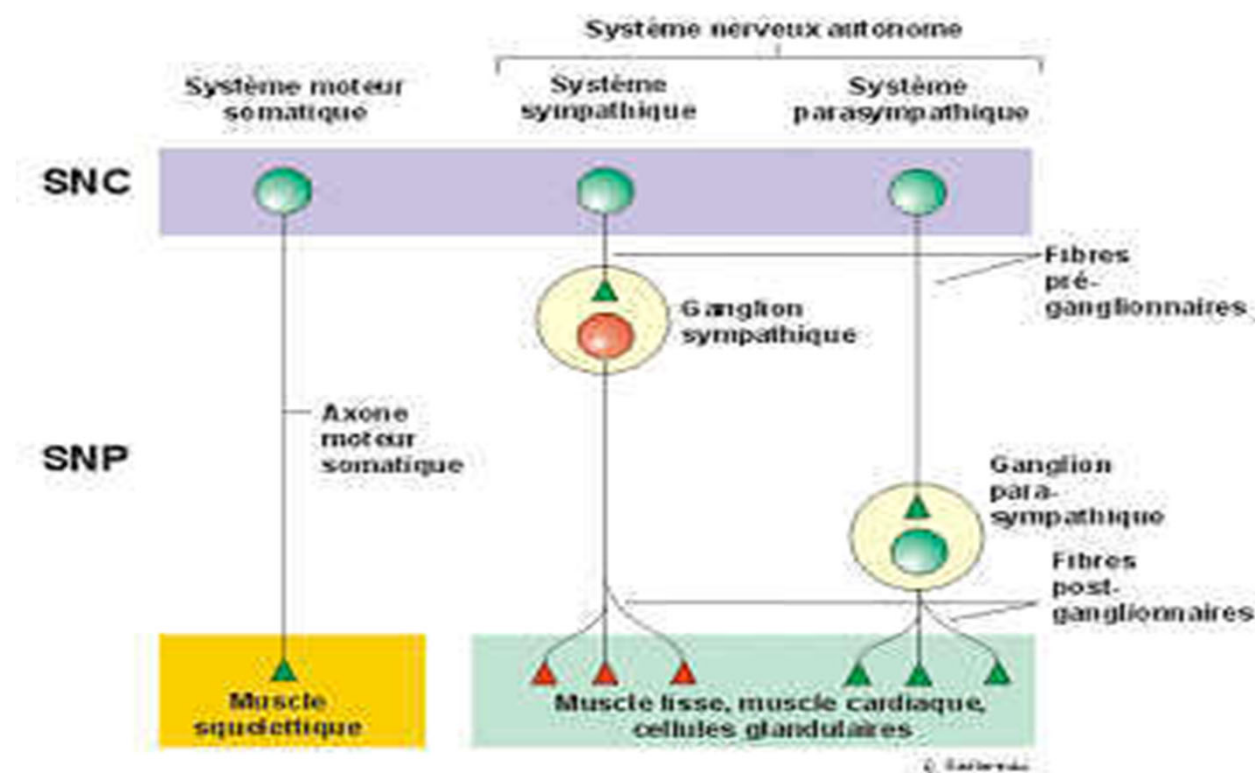


# Physiologie du système nerveux autonome

## Anatomie

- Système nerveux somatique : un motoneurone

- Système nerveux autonome



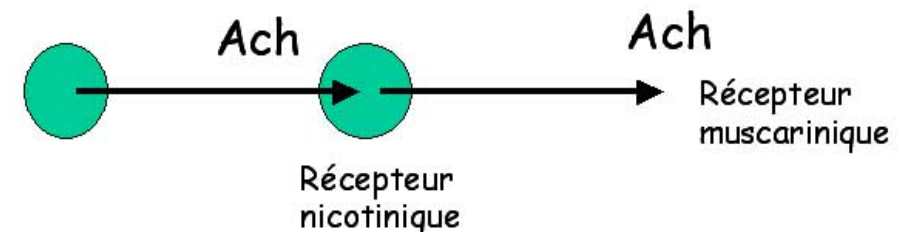
# Physiologie du système nerveux autonome

## Récepteurs

- **Neurotransmetteurs : pré et post-ganglionnaires**

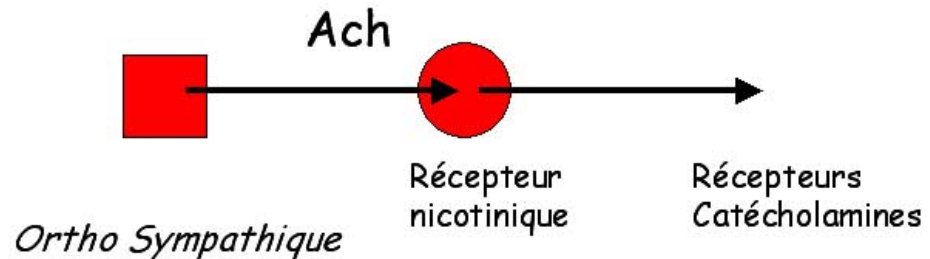
- Acétylcholine
- Noradrénaline
- Adréナline

*Para Sympathique*



- **Récepteurs :**

- Pré- ganglionnaire : Nicotiniques
- Para S : Muscariniques
- Ortho S
  - Récepteurs alpha
  - Récepteurs Béta



- **Cellules effectrices**

# Physiologie du système nerveux autonome

## Récepteurs

- **Synthèse des neurotransmetteurs :**

- Acétylcholine : choline acétyl transférase : fibre du neurone
- Noradrénaline : hydroxylation de la dopamine : vésicule de stockage dans le neurone
- Adréナline : méthylation de la noradrénaline dans la médullosurrénale

- **Métabolisme**

- Acétylcholine : acétylcholinestérase
- Catécholamines :
  - Méthylation extraneuronale par la COMT
  - Désamination oxydative neuronale et plasmatique par la MOA

# Physiologie du système nerveux autonome

## Récepteurs

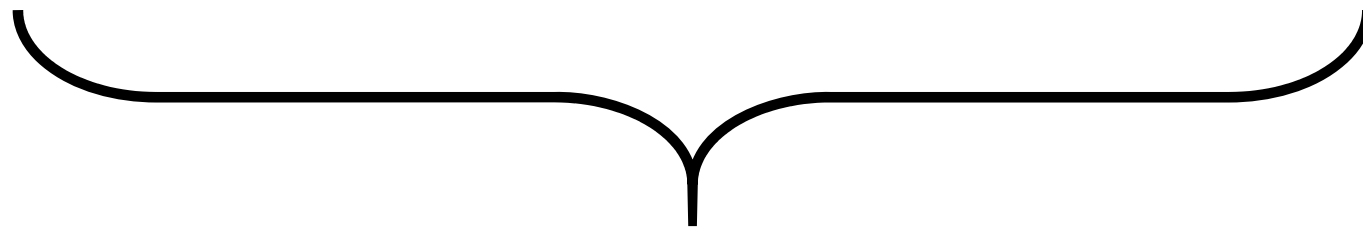
Neurotransmetteurs non-adrénergiques et non-cholinergiques

Histamine

Purines

Serotonin

Neuropeptide



Rôle complémentaire aux neurotransmetteurs

Régulation à plus long terme

# Physiologie du système nerveux autonome

## SNA et système cardiovasculaire

- **Le système cardiovasculaire** : régulation autonome
  - maintient de l'homéostasie : maintenir les apports en adéquation aux besoins
- **Afférences** : informations périphériques
  - **Récepteurs** : barorécepteurs, chémorécepteurs
  - **Localisation** : Auriculaire, ventriculaire, veine cave, veines pulmonaires, carotides, aortes
  - Information sur les conditions de charges et d'adaptation des débits
- **Efférences** : équilibre
  - Parasympathique : nerf vague
  - Sympathique : moelle thoraco-lombaire

# Physiologie du système nerveux autonome

## SNA et système cardiovasculaire

### Implications fonctionnelles

- **Contrôle du rythme et de la conduction :**

- Tonus PS de base : diminution stimulation NS et conduction AV
- Explique arythmie respiratoire physiologique : diminution tonus PS en inspiration
- Activation S : accélération, augmentation conduction AV

- **Contrôle de l'inotropisme :**

- OrthoS : augmentation force de contraction : VES et pressions d'éjections sont augmentées
- ParaS : peu d'impact, pas de fibres efférentes ventriculaires

- **Contrôle de la vasomotricité coronaire :**

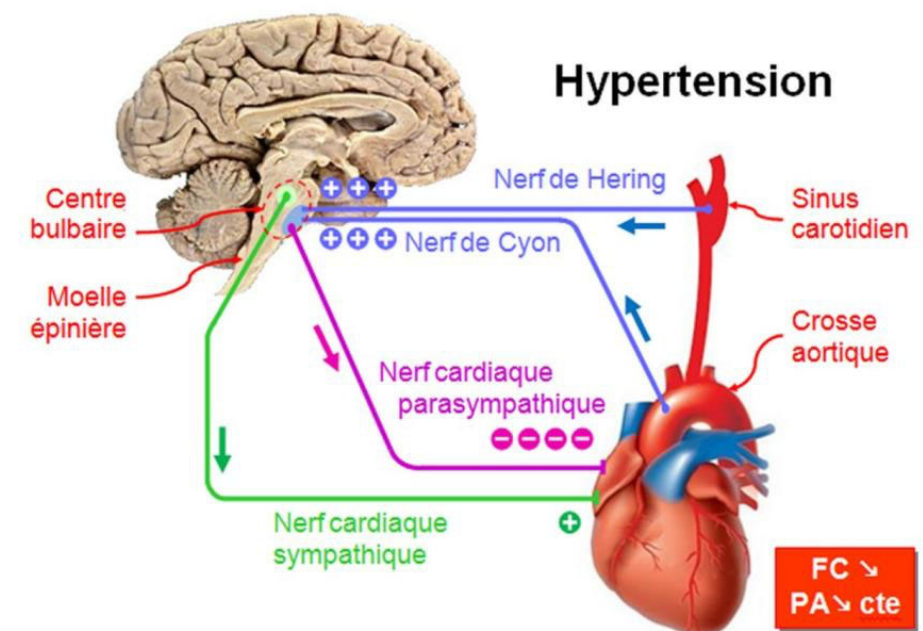
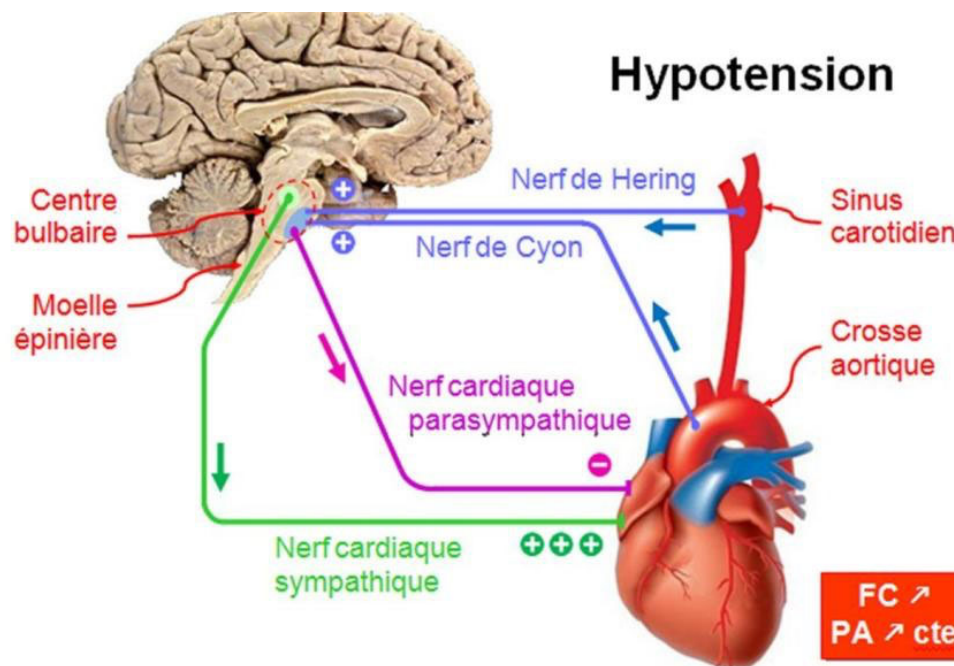
- Effet direct : vasoconstricteur de la Noradré mais Adré vasodilatateur
- Effet indirect : vasodilatateur : autorégulation du fait de l'augmentation du DC
- Attention : si patho coronaire athéromateuse, l'effet vasoconstriction l'emporte

- **Contrôle du tonus vasomoteur :**

- Permet l'adaptation des débits régionaux
- Densité des fibres orthoS variables selon l'organe
- Effets variables en fonction du type de récepteur

# Physiologie du système nerveux autonome

## Le baroréflexe



# Physiologie du système nerveux autonome

## SNA et système cardiovasculaire : récepteurs

Différents effets car différents types de récepteurs avec fonctionnement variable

- **Récepteurs alpha :**

- $\alpha_1$  : muscles lisses Vx, vessie, iris, tube digestif, bronches  
→ vasoconstriction, miction, mydriase, bronchodilatation
- $\alpha_2$  : muscles lisses Vx, pancréas  
→ vasoconstriction, baisse sécrétion d'insuline

- **Récepteurs Béta : 7 domaines transmembranaires**

- $\beta_1$  : surtout localisation cardiaque et rein  
→ Inotrope +, bathmotrope +, chronotrope +, dromotrope +, augmentation rénine (augmentation volume sanguin circulant)
- $\beta_2$  : localisation cardiaque mais surtout vasculaires et bronchiques  
→ Cardio, vasodilatation, bronchodilatation
- $\beta_3$  et  $\beta_4$

# Physiologie du système nerveux autonome

## SNA et système cardiovasculaire : récepteurs

### Récepteurs $\alpha$

$\alpha_1$  inotropisme, bathmotropisme

$\alpha_1$  vasoconstriction

$\alpha_2$  vasoconstriction

### Récepteurs $\beta$

#### CELLULES MYOCARDIQUES

$\beta_1$  inotropisme, chronotropisme, dromotropisme, bathmotropisme lusitropisme

$\beta_2$  inotropisme, chronotropisme

#### SYST ARTERIEL et VEINEUX

$\beta_2$  vasodilatation

# Physiologie du système nerveux autonome

## SNA = Cible pharmacologique

- **Catécholamines naturelles :**
  - Adrénaline, Noradrénaline, dopamine
- **Catécholamines de synthèses**
  - Isoprénaline, dopexamine, dobutamine

### Action par interactions avec le système nerveux autonome

Catécholamines	$\alpha_1$	$\alpha_2$	$\beta_1$	$\beta_2$	DA1	DA2
ADRENALINE	+++	+++	++	+++	0	0
NORADRENALINE	+++	0	+	0	0	0
DOPAMINE 0- 3 µg/kg/min	0	+	0	0	+++	+++
3-10 µg/kg/min	+	+	++	+	++	++
> 10 µg/kg/min	++	++	++	+	+	+
DOBUTAMINE	+	0	+++	++	0	0
ISOPRENNALINE	0	0	++	+++	0	0
PHENYLEPHRINE	++++	++++	0	0	0	0
EPHEDRINE	++++	++++	+	0	0	0

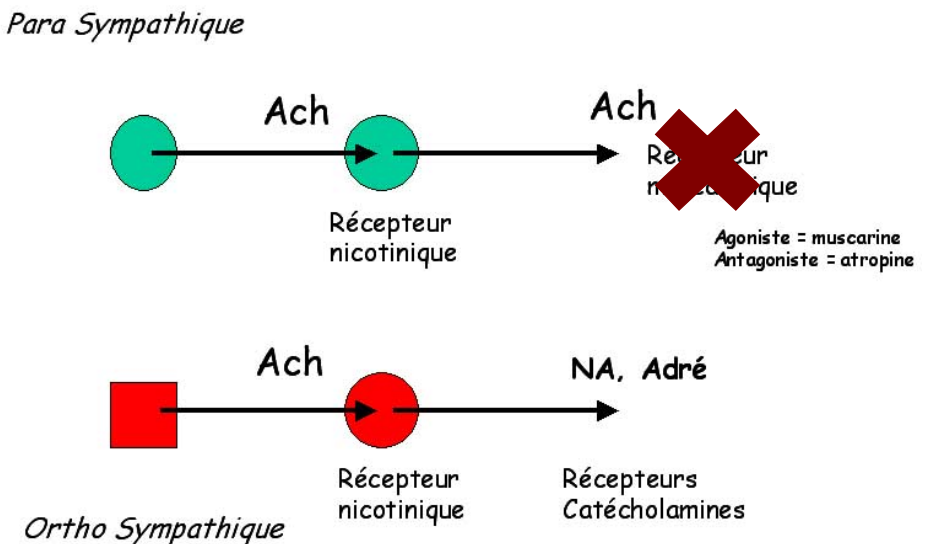
# Physiologie du système nerveux autonome

## SNA = Cible pharmacologique

### Atropine

- Cible pharmacologique : récepteurs muscariniques

- Pharmacodynamie :
  - Antagoniste des récepteurs muscariniques
  - Bloque l'action de l'acétylcholine  
= parasympatholytique

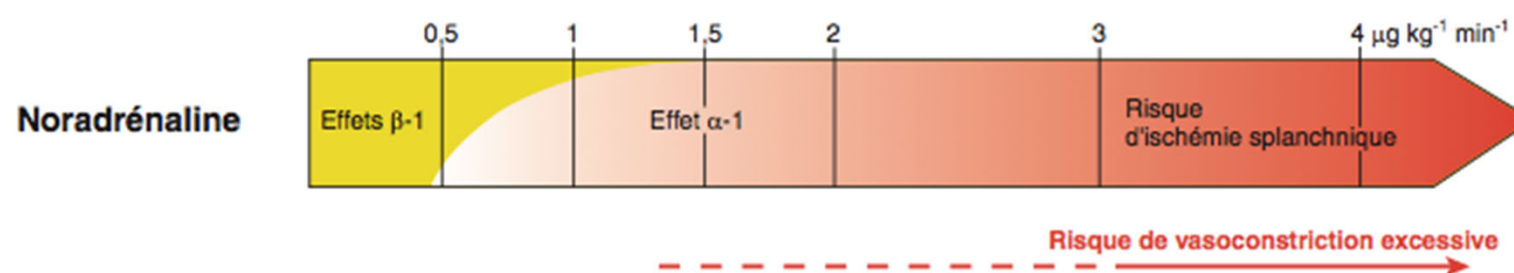
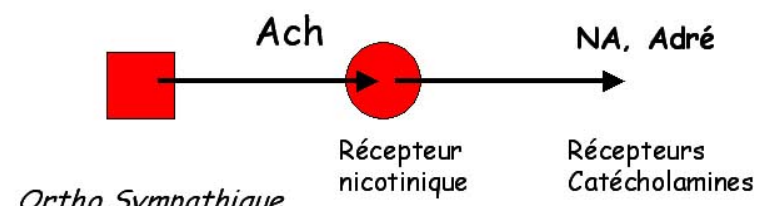
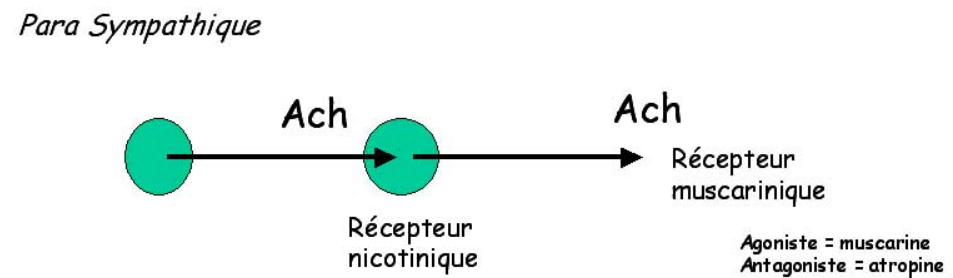


# Physiologie du système nerveux autonome

## SNA = Cible pharmacologique

### Noradrénaline

- Catécholamine naturelle
- **Effets récepteurs adrénnergiques :**
  - Effet  $\alpha_1$  : effet puissant (affinité)
  - Effet  $\alpha_2$  : effet puissant
  - Effet  $\beta_1$  : effet faible  
**Grande affinité  $\alpha$**
- **Conséquences :**
  - Vasoconstriction
    - Artérielle : augmentation RAS, redistribution cerveau et cœur
    - Veineuse : augmentation du retour veineux
  - Possible bradycardie réflexe
  - Débit cardiaque : amélioré, stable ou réduit
  - Risque d'ischémie : grande action vasoconstrictive sur réseau splanchnique, cutanée



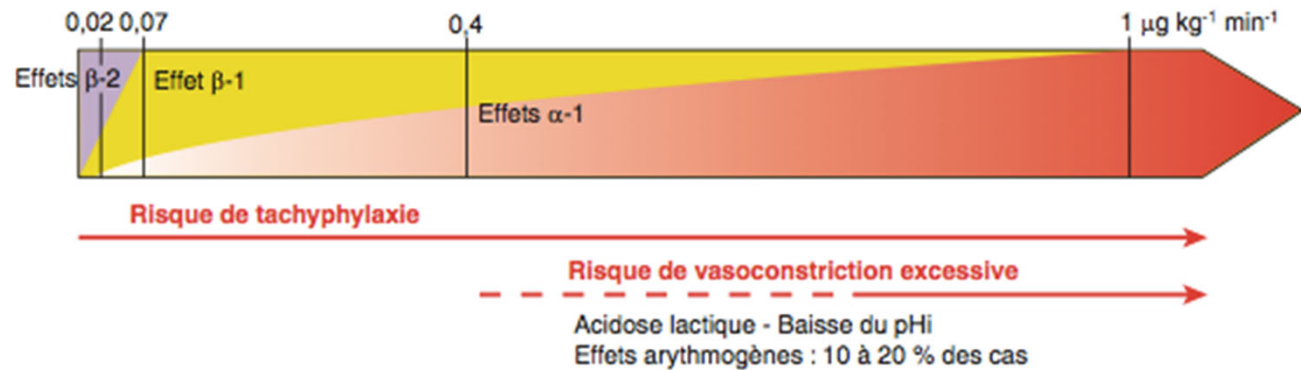
# Physiologie du système nerveux autonome

## SNA = Cible pharmacologique

### Adrénaline

- Hormone et neurotransmetteur
- **Elimination** rénale et COMT + MAC
- **Action : ensemble de l'organisme**
  - Agoniste non sélectif  $\alpha$  1
  - Agoniste non sélectif  $\beta$  1 et 2 : +++
- **Action cardiaque :**
  - Inotrope + : contractilité
  - Chronotrope + : tachycardie
  - Bathmotrope et dromotrope + : risque de trouble du rythme (FA, TV, ESV et FV)
- **Action vasculaire** : vasoconstriction par effet  $\alpha$
- **Action cellules immunitaires** : stabilisation des membranes des mastocytes

### Adrénaline

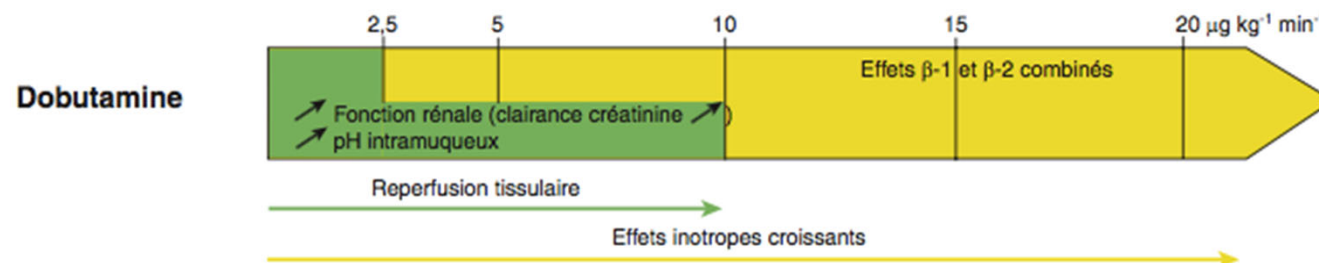


# Physiologie du système nerveux autonome

## SNA = Cible pharmacologique

### Dobutamine

- Catécholamine de synthèse
- Forte affinité pour  $\beta_1$  et  $\beta_2$  (ratio 3/1)
- Elimination rapide par COMT
- Action : principalement cardiaque
  - Cardio : liaison  $\beta$  :
    - Inotrope et chronotrope
    - Arythmogène
  - Baisse pression téldiestolique du VG → amélioration perfusion coronaire
  - Amélioration de la relaxation
  - Vasculaires :  $\beta$  → vasodilatation, diminution RAS et RAP



# Physiologie du système nerveux autonome

## SNA = Cible pharmacologique

### Isoprénaline

- Catécholamine de synthèse
- Agoniste  $\beta$  adrénergique
- Elimination : MAO et COMT
- Action  $\beta$  non sélective : plus forte amine inotrope
- **Effets retrouvés :**
  - Inotrope + : effet le plus puissant ( X5 de la Dobutamine)
  - Vasodilatation pulmonaire et systémique
  - Chronotrope +
  - Améliore la conduction AV

# **Physiologie du système nerveux autonome**

## **SNA et Anesthésie**

**Système sympathique :** inhibée par la plupart des hypnotiques et par tous les morphiniques.

**Système parasympathique :**

- Inhibé par les halogénés
- Préservé par le propofol
- Augmentée par les morphiniques

**L'activité baroréflexe :** inhibée par tous les agents anesthésiques de façon dose dépendante

**Une exception = l'éтомidate qui préserve l'activité du SNA cardiovasculaire**

# Physiologie du système nerveux autonome SNA et Anesthésie

## Propofol

- **Précharge ↘↘↘** = veinodilatation
- **Postcharge ↘↘** = vasodilatation artérielle ( $\downarrow$ RVS)
- **Inotropisme ↘** : sujet âgé
- **Resetting du baroréflexe** = pas de tachycardie réflexe
- **Myocarde** : réduction mVO<sub>2</sub> et mDO<sub>2</sub>  
→ effet neutre si PAM préservée
- Réduction de la réactivité sympathique

## Etomidate

- **Maintient réactivité sympathique et baroréflexe**
- **Pas d'impact** sur précharge et postcharge
- **Pas d'amortissement hyperTA** lors la stimulation
- **Stimulation extra-pyramidal**, pas d'apnée dans 50% des cas
- Maintien de l'équilibre myocardique

# Physiologie du système nerveux autonome

## SNA et Anesthésie

### Kétamine

- **Stimulation sympathique centrale :**
  - Augmentation sécrétion catécholamines endogènes
  - Inhibition du recaptage neuronal et non neuronal des amines
- **Conséquences :**
  - Tachycardie : + 50%
  - Augmentation de la précharge
  - Augmentation de la postcharge : systémique et pulmonaire

**Agent d'induction très intéressant dans les situations de choc,  
notamment avec hypovolémie**

# Physiologie du système nerveux autonome SNA et Anesthésie

## Etomidate versus ketamine for rapid sequence intubation in acutely ill patients: a multicentre randomised controlled trial

Patricia Jabbé, Xavier Combes, Frédéric Lapostolle, Mohamed Dhaouadi, Agnès Rocard-Hibon, Benoît Vivien, Lionel Bertrand, Alexandra Beltramini, Pascale Gamard, Stéphane Albizzati, Deborah Perdrizet, Gaëlle Lebail, Charlotte Chollet-Xemard, Virginie Maxime, Christian Brun-Buisson, Jean-Yves Lefrant, Pierre-Edouard Bollaert, Bruno Megarbane, Jean-Damien Rocard, Nadia Anguel, Eric Vicaut, Frédéric Adnet, on behalf of the KETASED Collaborative Study Group\*



N = 655 patients

Patients de réa, sepsis inclus

### Résultats :

- Mortalité J28
- Durée Catécho
- Sevrage respi

NS

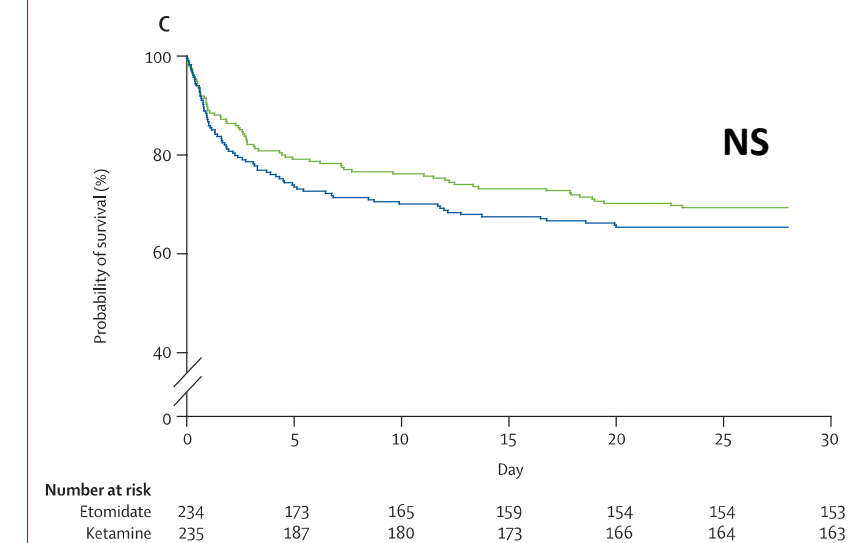
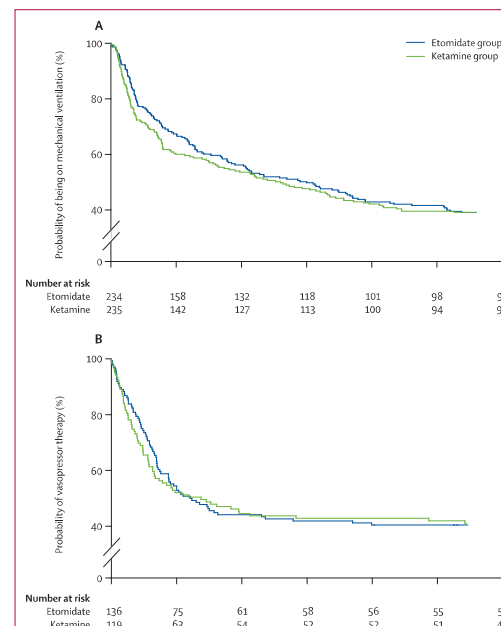


Figure 2: Kaplan-Meier curves comparing patients receiving etomidate or ketamine for emergency intubation  
(A) Time to mechanical ventilation weaning. (B) Time to vasopressor weaning (etomidate group, n=136; ketamine group, n=119). (C) Survival from randomisation to day 28 (hazard ratio 1.2, 95% CI 0.9–1.6).

# Physiologie du système nerveux autonome

## SNA et Anesthésie



### ATTENTION :

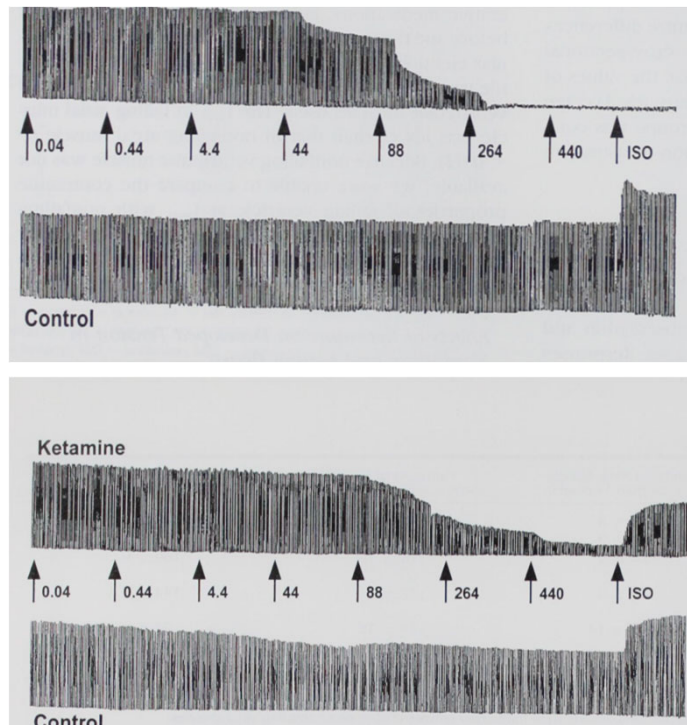
- **Risque de déséquilibre fonction myocardique :**
  - Augmentation flux coronaire
  - MAIS élévation mVO<sub>2</sub> (tachycardie)
  - Balance potentielle défavorable chez le patient coronarien
- **Effet inotrope direct de la kétamine :**
  - Etudes animales ou in vitro
  - Effet masqué par la stimulation sympathique
  - Potentiel risque chez patients avec réponse sympathique inhibée – épuisée - maximale

# Physiologie du système nerveux autonome SNA et Anesthésie

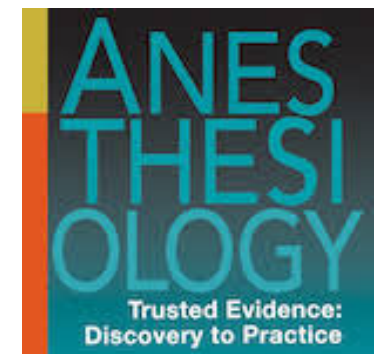
\* Staff Anesthesiologist, Department of General Anesthesiology.

† Research Technologist, Center for Anesthesiology Research.

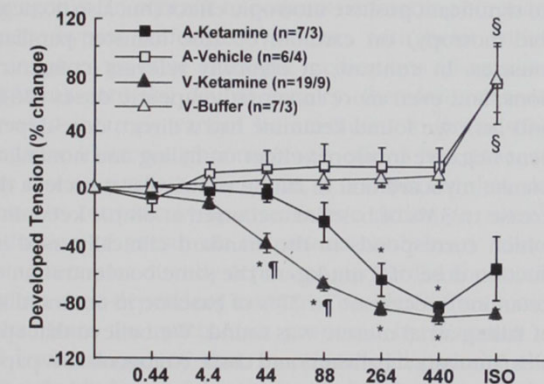
‡ Staff Surgeon, Department of Thoracic and Cardiovascular Surgery.



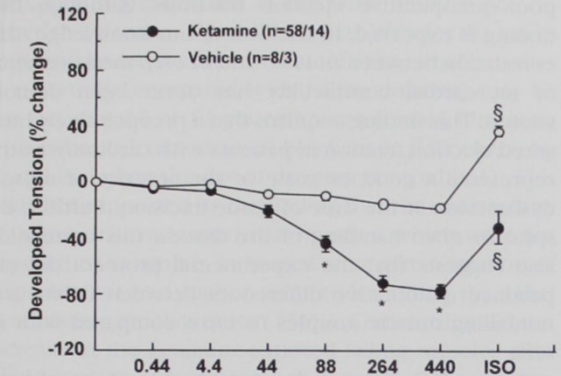
decreased when ketamine was administered to patients with no cardiac disease who were undergoing surgery with halothane- or enflurane-induced anesthesia. They concluded that general anesthesia blocks the cardiovascular-stimulating properties of ketamine.<sup>1202</sup>



B) Failing Atrial and Ventricular Muscle



A) Non-Failing Atrial Muscle



Etude in-vitro  
Tissu humain

# Physiologie du système nerveux autonome SNA et Anesthésie

Peu de données dans la littérature

Relation dose?

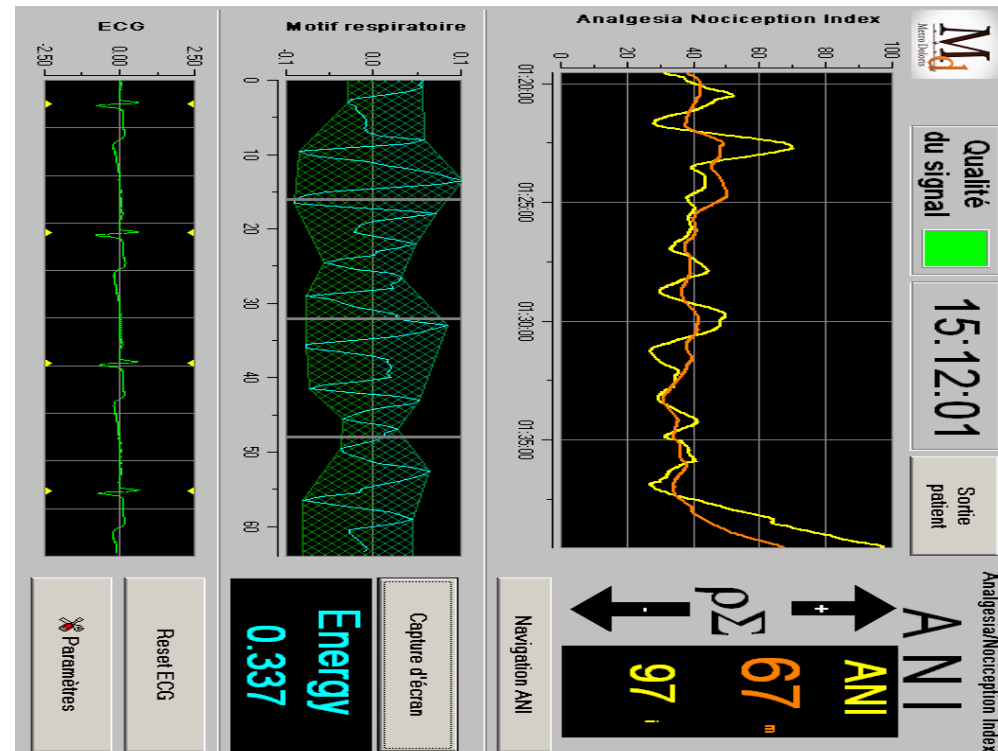
Surveillance DC semble nécessaire



## ATTENTION :

- **Risque de déséquilibre fonction myocardique :**
  - Augmentation flux coronaire
  - MAIS élévation mVO<sub>2</sub> (tachycardie)
  - Balance potentielle défavorable chez le patient coronarien
- **Effet inotrope direct de la kétamine :**
  - Etudes animales ou in vitro
  - Effet masqué par la stimulation sympathique
  - Potentiel risque chez patients avec réponse sympathique inhibée – épuisée - maximale

# Physiologie du système nerveux autonome SNA et Anesthésie : monitorage peropératoire



Enregistrement de l'arythmie respiratoire sinusale

Tonus parasympathique

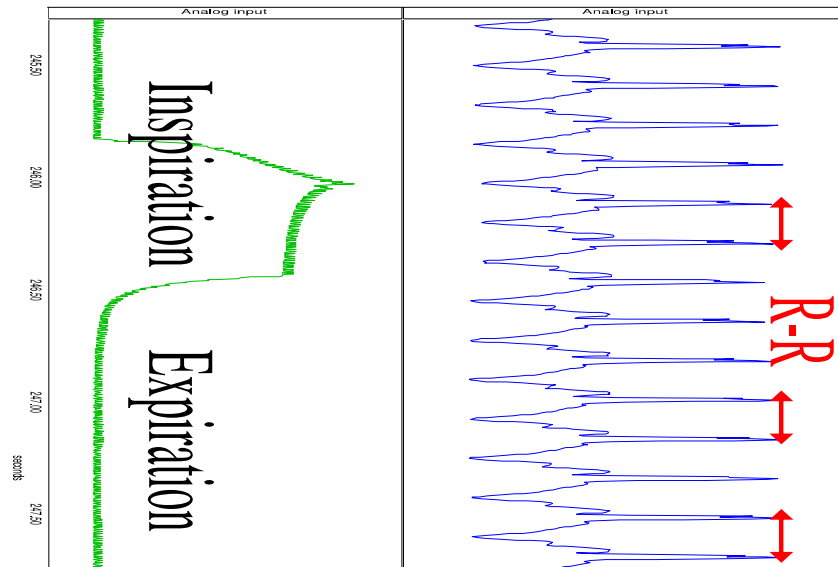
# Physiologie du système nerveux autonome

## SNA et Anesthésie : monitorage peropératoire

Tonus parasympathique

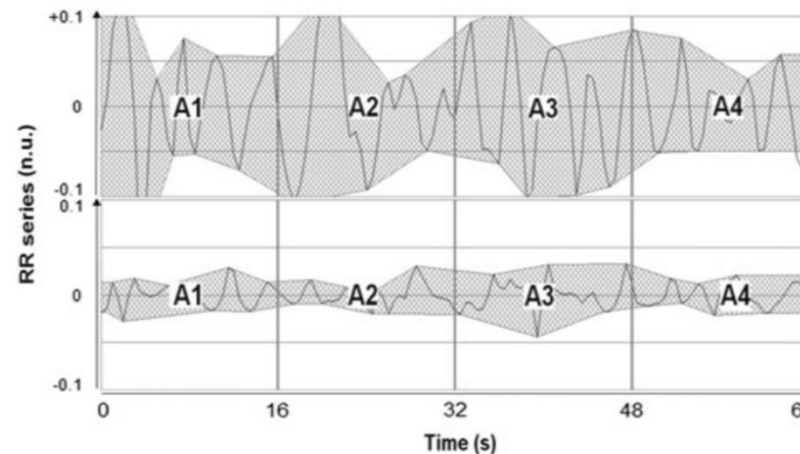
Inspiration = RR ↘

Expiration = RR ↗



$$\text{ANI} = 100 \times \frac{(\alpha \times \text{AUC}_{\min} + \beta)}{12.8}$$

Indice entre 0 et 100



# Physiologie du système nerveux autonome

## SNA et Anesthésie : monitorage peropératoire



Plus le système parasympathique est présent  
→ Variation RR → ANI Augmente

Plus le système othosympathique est présent  
→ Pas de Variation RR → ANI diminue



Nociception

# Physiologie du système nerveux autonome

## SNA et Anesthésie : monitorage peropératoire

Nociception monitors vs.  
standard practice for titration of  
opioid administration in general  
anesthesia: A meta-analysis of  
randomized controlled trials

Dandan Ma<sup>1,2†</sup>, Jiahui Ma<sup>3†</sup>, Huayong Chen<sup>2</sup>, Dongliang Mu<sup>3</sup>,  
Hao Kong<sup>3</sup> and Lingzhi Yu<sup>1\*</sup>

## Consommation per-opératoire de morphiniques

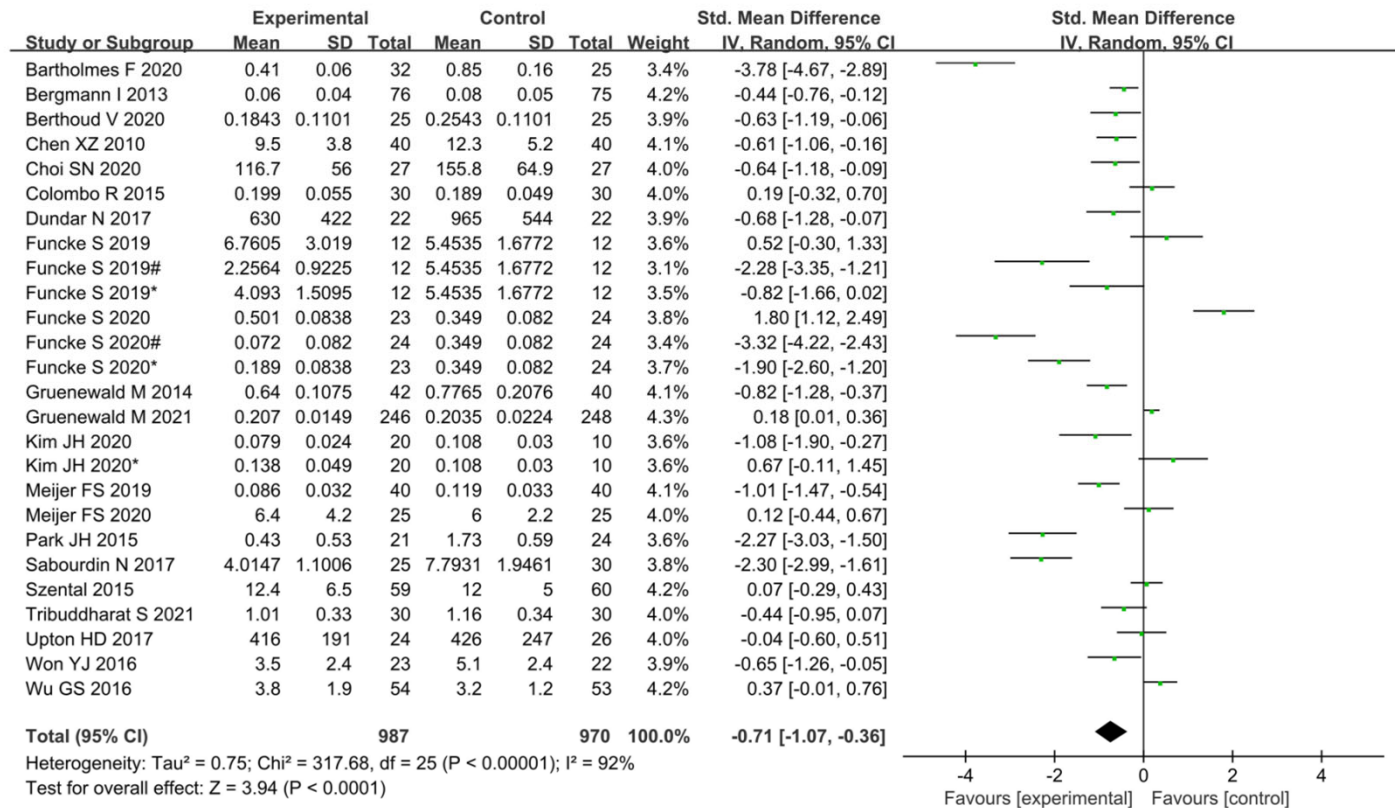


FIGURE 3  
Forest plot showing the effects of intervention (nociception monitoring guidance/standard practice) on intraoperative opioid administration.

# Physiologie du système nerveux autonome

## SNA et Anesthésie : monitorage peropératoire

Nociception monitors vs.  
standard practice for titration of  
opioid administration in general  
anesthesia: A meta-analysis of  
randomized controlled trials

Dandan Ma<sup>1,2†</sup>, Jiahui Ma<sup>3†</sup>, Huayong Chen<sup>2</sup>, Dongliang Mu<sup>3</sup>,  
Hao Kong<sup>3</sup> and Lingzhi Yu<sup>1\*</sup>

**Délai  
d'extubation**

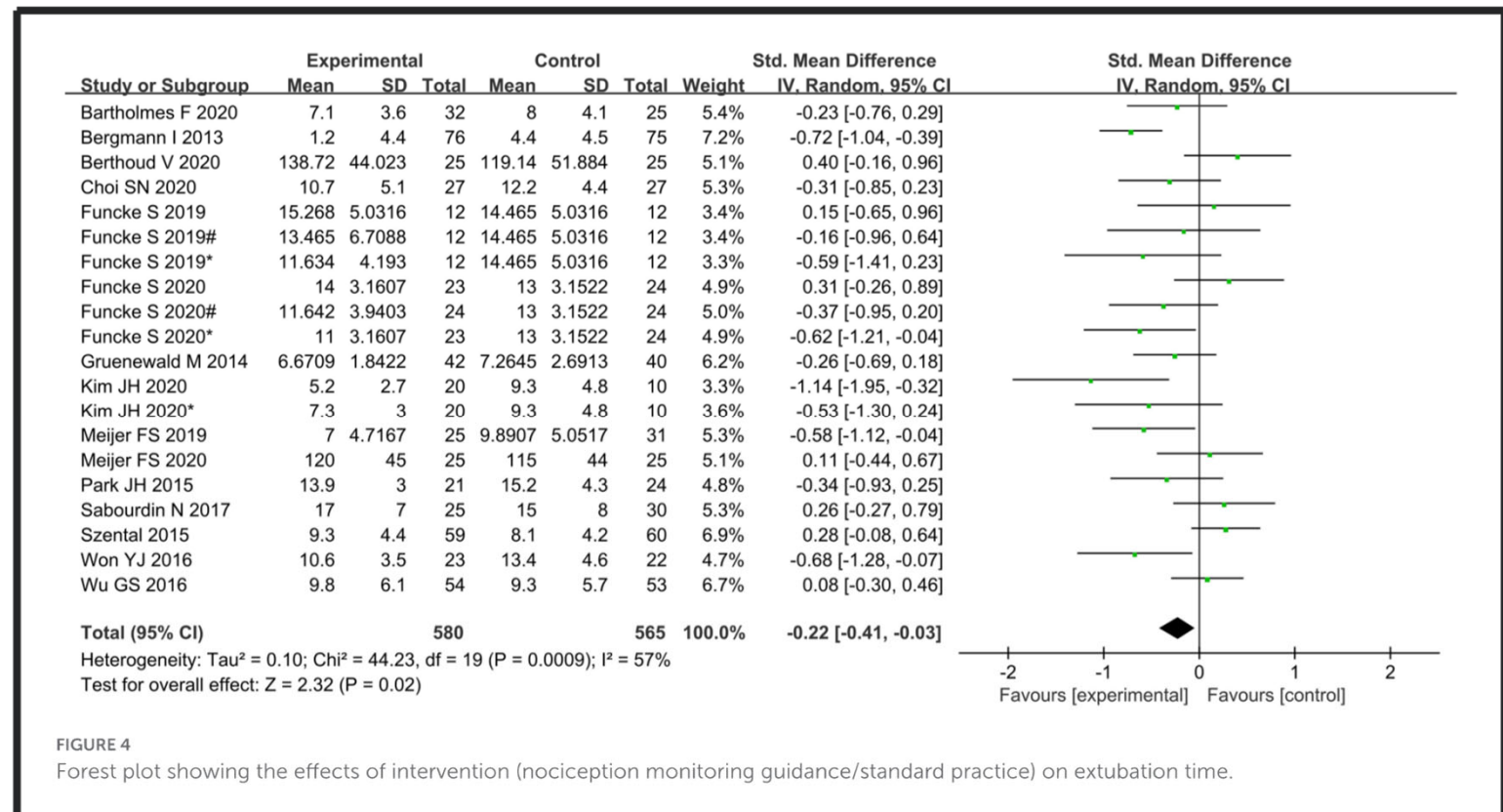


FIGURE 4

Forest plot showing the effects of intervention (nociception monitoring guidance/standard practice) on extubation time.

# Physiologie du système nerveux autonome

## SNA et Anesthésie : monitorage peropératoire

Nociception monitors vs.  
standard practice for titration of  
opioid administration in general  
anesthesia: A meta-analysis of  
randomized controlled trials

Dandan Ma<sup>1,2†</sup>, Jiahui Ma<sup>3†</sup>, Huayong Chen<sup>2</sup>, Dongliang Mu<sup>3</sup>,  
Hao Kong<sup>3</sup> and Lingzhi Yu<sup>1\*</sup>

## Douleur postopératoire

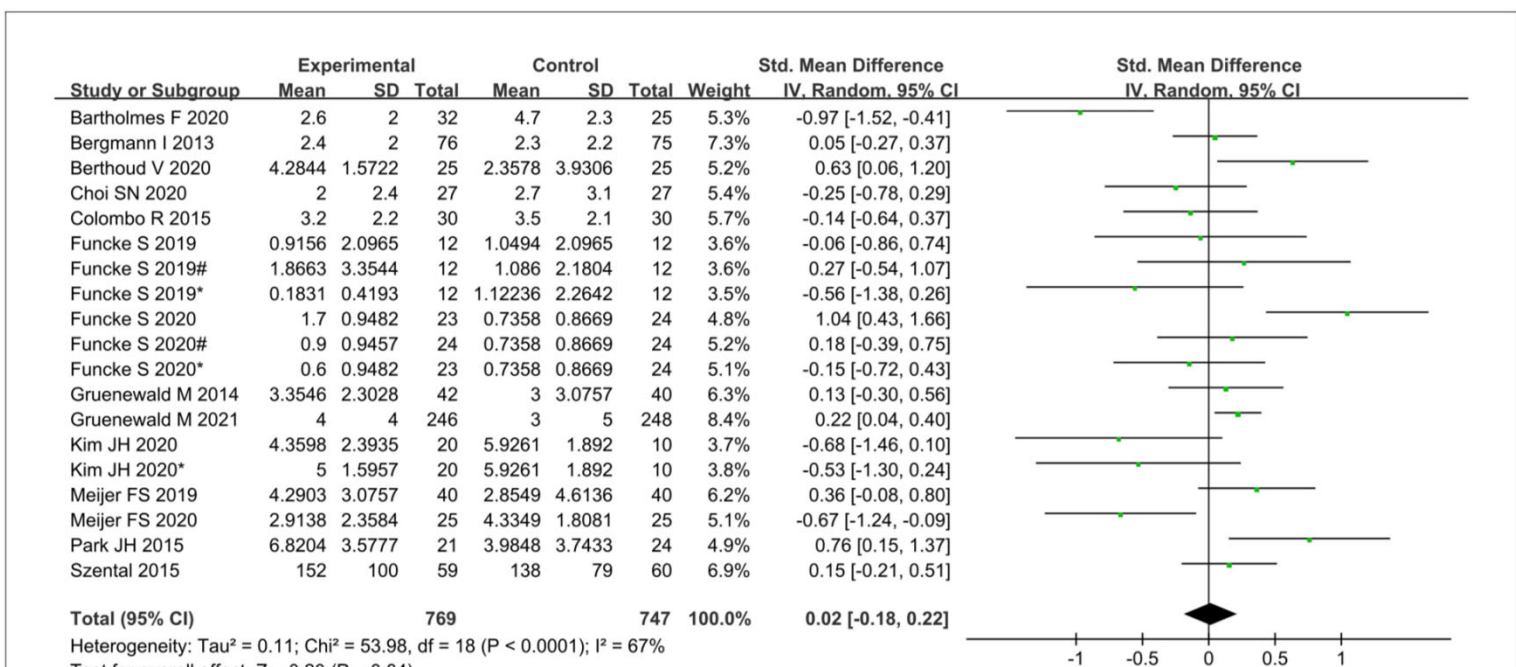


FIGURE 5

Forest plot showing the effects of intervention (nociception monitoring guidance/standard practice) on postoperative pain scores.

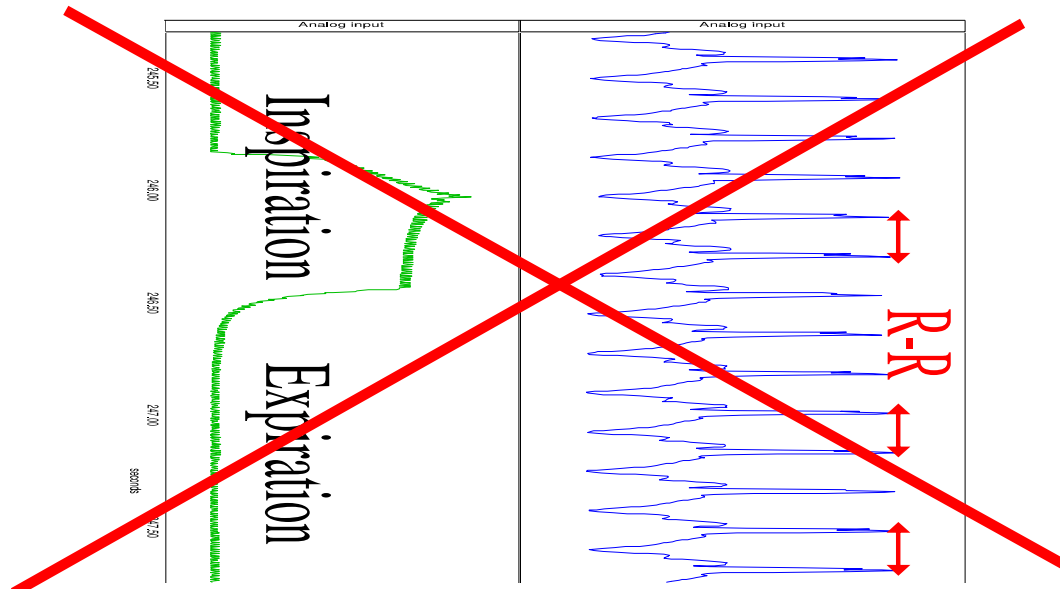
# Physiologie du système nerveux autonome

## SNA et Anesthésie : monitorage peropératoire

Tonus parasympathique

Inspiration = RR ↘

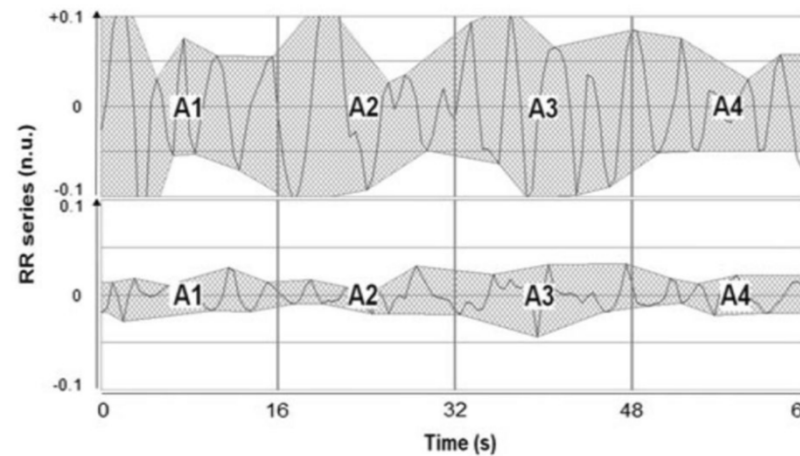
Expiration = RR ↗



CEC

$$\text{ANI} = 100 \times \frac{(\alpha \times \text{AUC}_{\min} + \beta)}{12.8}$$

Indice entre 0 et 100



# Physiologie du système nerveux autonome SNA et Anesthésie : monitorage peropératoire

Journal of Anesthesia  
<https://doi.org/10.1007/s00540-022-03126-8>

REVIEW ARTICLE



## Analgesia nociception index and high frequency variability index: promising indicators of relative parasympathetic tone

Keisuke Yoshida<sup>1</sup> · Shinju Obara<sup>1</sup> · Satoki Inoue<sup>1</sup>

Journal of Clinical Monitoring and Computing (2022) 36:623–635  
<https://doi.org/10.1007/s10877-021-00772-3>

REVIEW PAPER



## Description of the validity of the Analgesia Nociception Index (ANI) and Nociception Level Index (NOL) for nociception assessment in anesthetized patients undergoing surgery: a systematized review

T. Shiva Shahiri<sup>1,2</sup> · Philippe Richebé<sup>3</sup> · Melissa Richard-Lalonde<sup>1,2</sup> · Céline Gélinas<sup>1,2</sup>

## **Physiologie du système nerveux autonome SNA et CEC / Chirurgie cardiaque**

**Altération du SNA = devenir postopératoire altéré**

# Physiologie du système nerveux autonome

## SNA et CEC / Chirurgie cardiaque : Exploration du SNA

**Tableau 2.**

Explorations du système nerveux autonome.

### Explorations cardiovasculaires

<b>Tests physiologiques</b>	Recherche d'hypotension orthostatique, Tilt Test Manœuvre de Valsalva Mesure des intervalles R-R Stimulation du sinus carotidien Test de préhension soutenue, test au froid, calcul mental
<b>Dosages biochimiques</b>	Dosage de noradrénaline plasmatique couché/debout; catécholamines urinaires, activité rénine plasmatique, aldostérone
<b>Tests pharmacologiques</b>	Tests à la noradrénaline, isoprénaline, tyramine, édrophonium, atropine
<b>Explorations endocriniennes</b>	Test à la clonidine (stimulation de la GH)
<b>Explorations de la fonction sudoromotrice</b>	Test de thermorégulation sudorale QSART Réponse cutanée sympathique
<b>Explorations pupillaires</b>	Tests pharmacologiques Pupillométrie

GH : *growth hormone*; QSART: Quantitative Sudomotor Axon Reflex Test.

EMC - Neurologie

Volume 10 > n°1 > janvier 2013

[http://dx.doi.org/10.1016/S0246-0378\(12\)60767-2](http://dx.doi.org/10.1016/S0246-0378(12)60767-2)

# Physiologie du système nerveux autonome

## SNA et CEC / Chirurgie cardiaque : Exploration du SNA

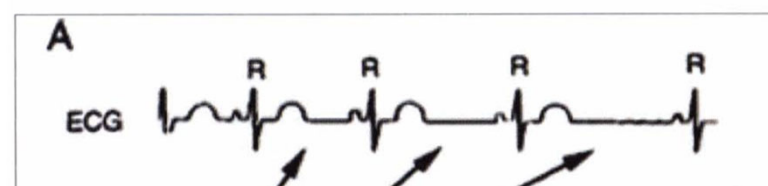
diminution de l'activité sympathique (réduction de la fréquence cardiaque et de l'inotropisme, vasodilatation artériolaire et veineuse). L'ensemble de ces effets concourt à abaisser le débit cardiaque et les résistances périphériques totales. La réponse globale du baroréflexe tend donc à corriger la perturbation tensionnelle initiale (Ach : acétylcholine ; NA : noradrénaline).

intervalle RR. D'une manière générale, les résultats fournis par ces méthodes sont assez bien corrélés, soit qu'on les compare entre eux, soit qu'on les compare avec le valeurs fournies par les méthodes invasives [2, 3].

### Intérêt clinique

rélée au pronostic, et notamment à la survenue d'événements d'ordre rythmique.

Lorsque l'on se pose la question de l'intérêt clinique d'une variable, outre un intérêt théorique ou physiopathologique, cette variable se doit de réunir un certain nombre de caractéristiques : elle doit être facile à obtenir et à mesurer, elle doit être reproductible ; il doit être possible d'identifier un seuil permettant de stratifier les patients ; enfin, cette variable doit être corrélée aux événements. Nous tenterons de déterminer pour quelles pathologies ces conditions sont remplies.



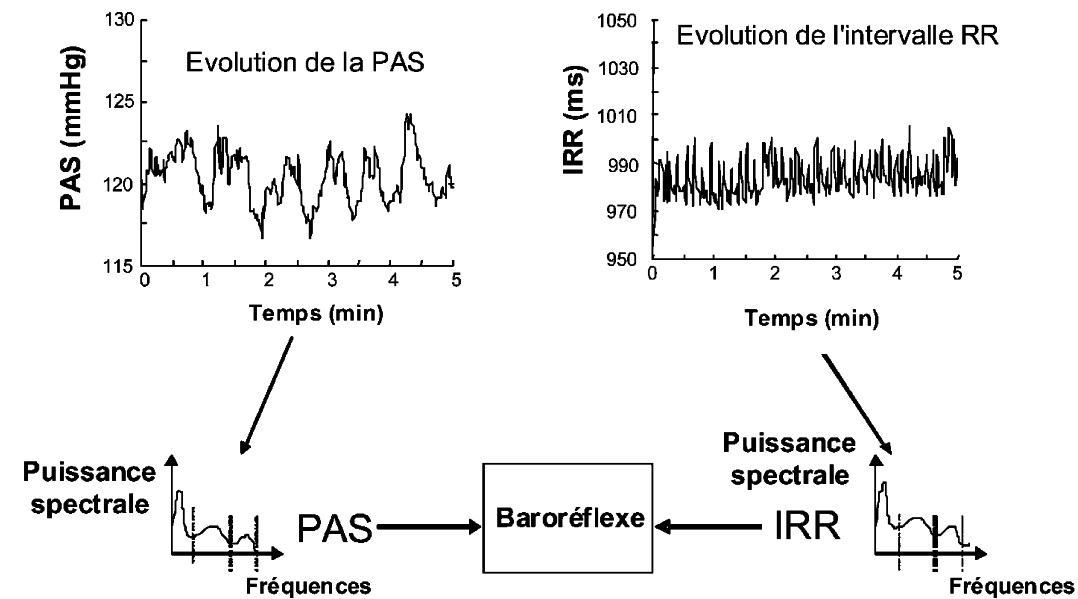
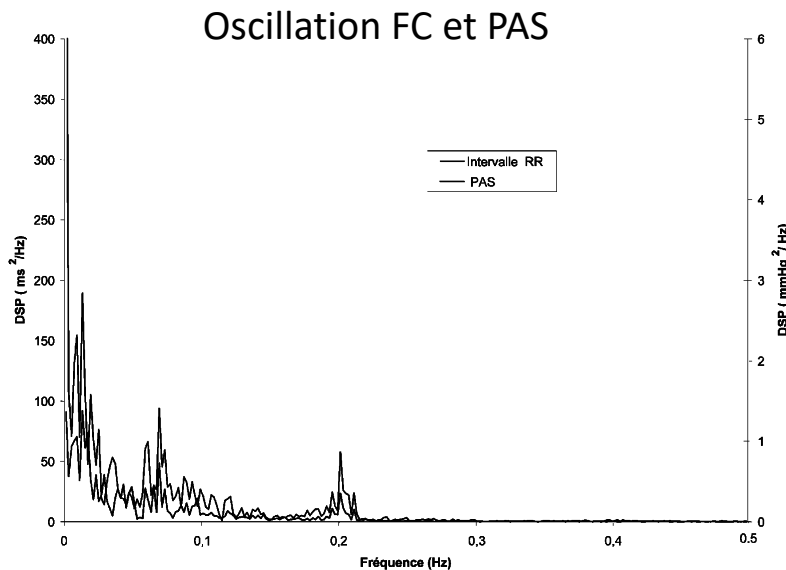
# Physiologie du système nerveux autonome

## SNA et CEC / Chirurgie cardiaque : Exploration du SNA

diminution de l'activité sympathique (réduction de la fréquence cardiaque et de l'inotropisme, vasodilatation artériolaire et veineuse). L'ensemble de ces effets concourt à abaisser le débit cardiaque et les résistances périphériques totales. La réponse globale du baroréflexe tend donc à corriger la perturbation tensionnelle initiale (Ach : acétylcholine ; NA : noradrénaline).

intervalle RR. D'une manière générale, les résultats fournis par ces méthodes sont assez bien corrélés, soit qu'on les compare entre eux, soit qu'on les compare avec le valeurs fournies par les méthodes invasives [2, 3].

### Intérêt clinique



$$Gain = \sqrt{\gamma^2} \times \sqrt{\frac{Puissance spectrale IRR}{Puissance spectrale PAS}}$$

# Physiologie du système nerveux autonome

## SNA et CEC / Chirurgie cardiaque : Exploration du SNA

diminution de l'activité sympathique (réduction de la fréquence cardiaque et de l'inotropisme, vasodilatation artériolaire et veineuse). L'ensemble de ces effets concourt à abaisser le débit cardiaque et les résistances périphériques totales. La réponse globale du baroréflexe tend donc à corriger la perturbation tensionnelle initiale (Ach : acétylcholine ; NA : noradrénaline).

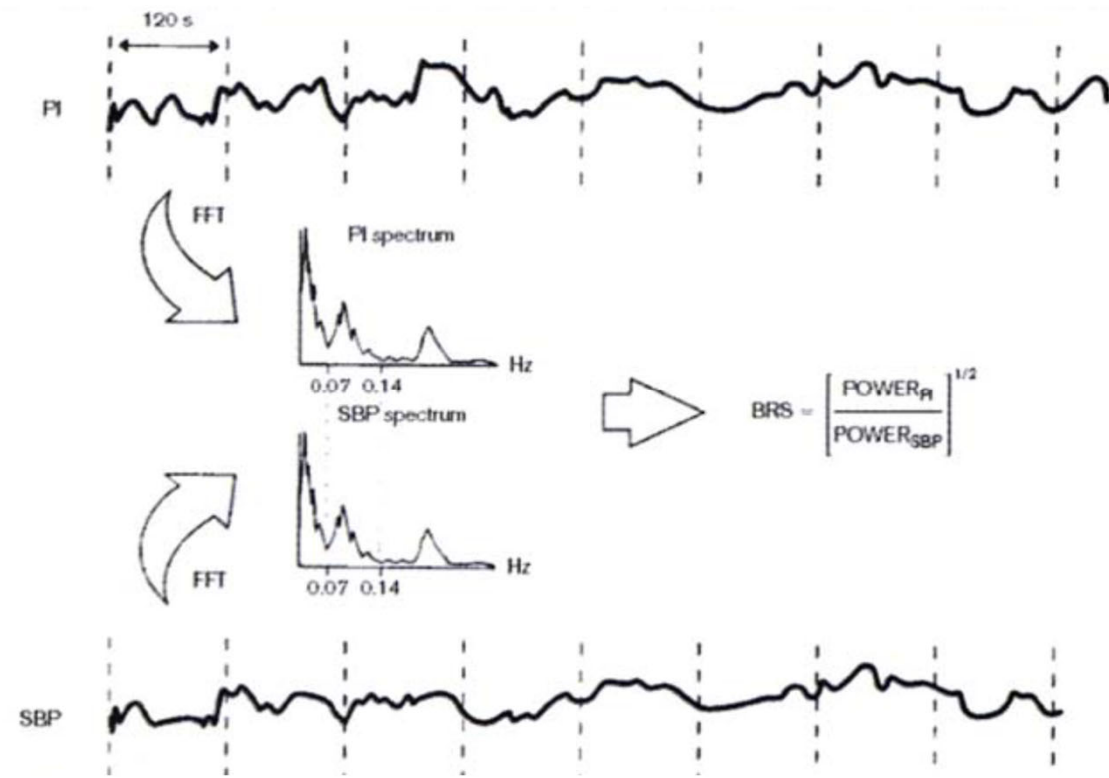
intervalle RR. D'une manière générale, les résultats fournis par ces méthodes sont assez bien corrélés, soit qu'on les compare entre eux, soit qu'on les compare avec le valeurs fournies par les méthodes invasives [2, 3].

### Intérêt clinique

Oscillation FC et PAS

BRS = changement l'intervalle RR en millisecondes par unité de variation de la PA

BRS altéré si gain < 3 ms/mmHg



EX : PA ↗ 10 mmHg et RR ↗ 100 ms  
BRS = 100/10 = 10 ms/mmHg

# **Physiologie du système nerveux autonome**

## **SNA et CEC / Chirurgie cardiaque : Pathologies du SNA**

### **Dysautonomies**

Ex : Dysautonomie du diabétique

20 à 40% des diabétiques hospitalisés

50% chez les patients diabétiques hypertendus

- Déséquilibre entre le système vagal (activité réduite), et le système sympathique (activité maintenue) dysfonction diastolique, troubles du rythme
- Gastroparésie diabétique: risque de régurgitation à l'induction
- Instabilité hémodynamique dès l'induction, lors d'une hypovolémie sans augmentation de la fréquence cardiaque du rythme
- Risque d'hypothermie majorée peropératoire

# Physiologie du système nerveux autonome

## Altération sensibilité du baroréflexe = FDR de complications

RESEARCH ARTICLE

Baroreflex sensitivity and outcomes following coronary surgery



N = 144

Marco Ranucci<sup>1\*</sup>, Alberto Porta<sup>1,2</sup>, Vlasta Bari<sup>1</sup>, Valeria Pistuddi<sup>1</sup>, Maria Teresa La Rovere<sup>3</sup>

**1** Department of Cardiothoracic, Vascular Anesthesia and Intensive Care, IRCCS Policlinico San Donato, Milan, Italy, **2** Department of Biomedical Sciences for Health, University of Milan, Milan, Italy, **3** Department of Cardiology, IRCCS Istituti Clinici Scientifici Maugeri, Istituto di Montescano, Montescano, Pavia, Italy

14% de BRS avec Index < 3 ms/mmHg

IRA

OR = 3

IC 95% 1.02–8.8,

P = 0.045

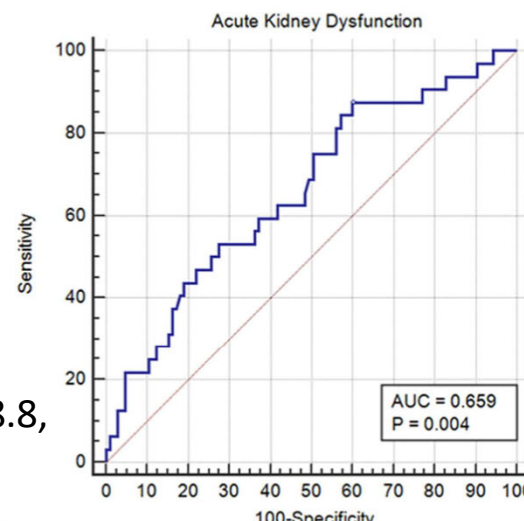


Figure 1A

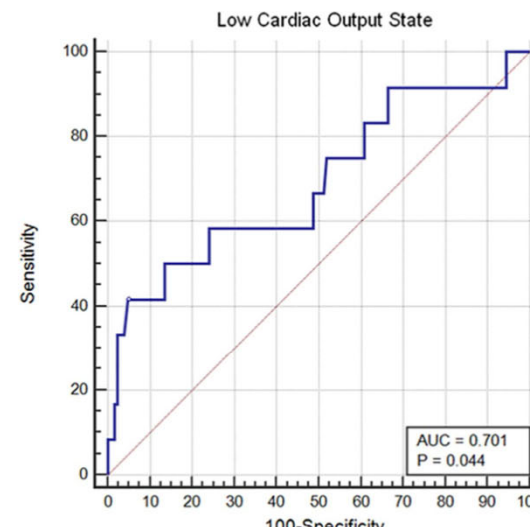


Figure 1B

Choc Cardio Postop

OR = 17

IC 95 % 2.9–99

P = 0.002

**Fig 1. Receiver operating characteristics curve of BRSαLF as predictor of acute kidney dysfunction and low cardiac output state.** Receiver operating characteristics curve of BRSαLF (baroreflex sensitivity low frequency) as predictor of acute kidney dysfunction (panel A) and low cardiac output state (panel B). AUC: area under the curve.

# Physiologie du système nerveux autonome

## Altération sensibilité du baroréflexe = FDR de complications



The Journal of Pain

Available online 9 August 2023

In Press, Corrected Proof What's this?



---

Original Reports

## Higher Cardiovagal Baroreflex Sensitivity Predicts Increased Pain Outcomes After Cardiothoracic Surgery

Heberto Suarez-Roca \*, Negmeldeen Mamoun †, Lana L. Watkins ‡, Andrey V. Bortsov \*,  
Joseph P. Mathew †

# Physiologie du système nerveux autonome

## SNA et CEC / Chirurgie cardiaque

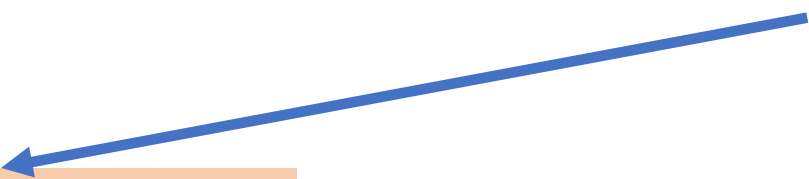
**CEC ⇌ SNA**

**Activation sympathique**

Vasoconstriction

Hyperglycémie

Régulation de l'inflammation



# Physiologie du système nerveux autonome

## SNA et CEC / Chirurgie cardiaque

**CEC ⇌ SNA**

**Activation sympathique**

- Vasoconstriction
- Hyperglycémie
- Régulation de l'inflammation

**ACFA**

**Variations of Autonomic Tone Preceding  
Onset of Atrial Fibrillation After  
Coronary Artery Bypass Grafting**

Carlo Dimmer, MD, Rene Tavernier, MD, Nikola Gjorgov, MD, Guido Van Nooten, MD,  
Denis L. Clement, MD, and Luc Jordaens, MD

# Physiologie du système nerveux autonome SNA et CEC / Chirurgie cardiaque

**CEC ⇌ SNA**

**Activation sympathique**

Vasoconstriction

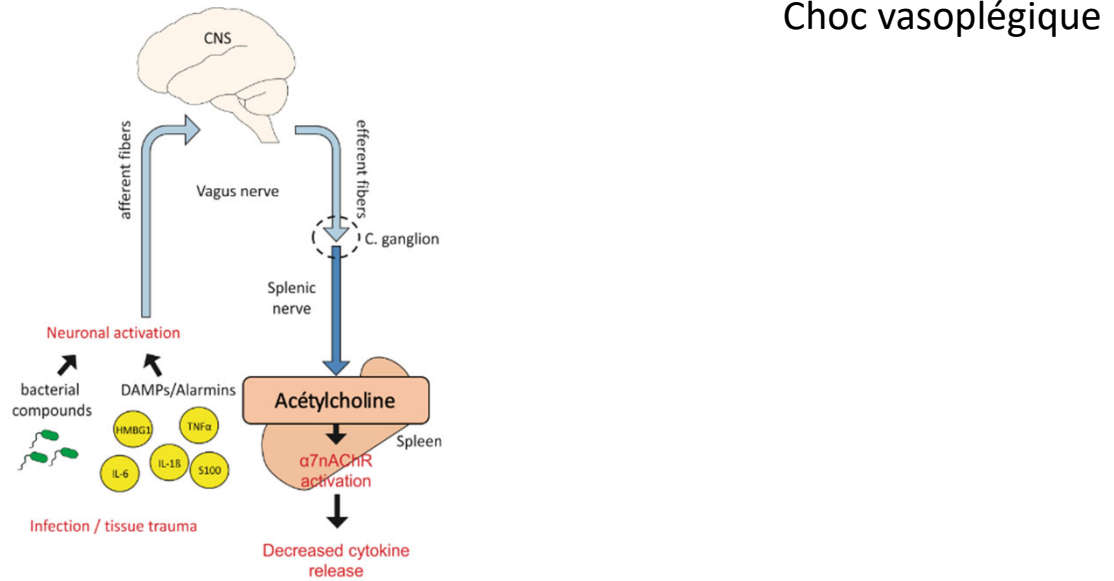
Hyperglycémie

Régulation de l'inflammation

**Altération baroréflexe**

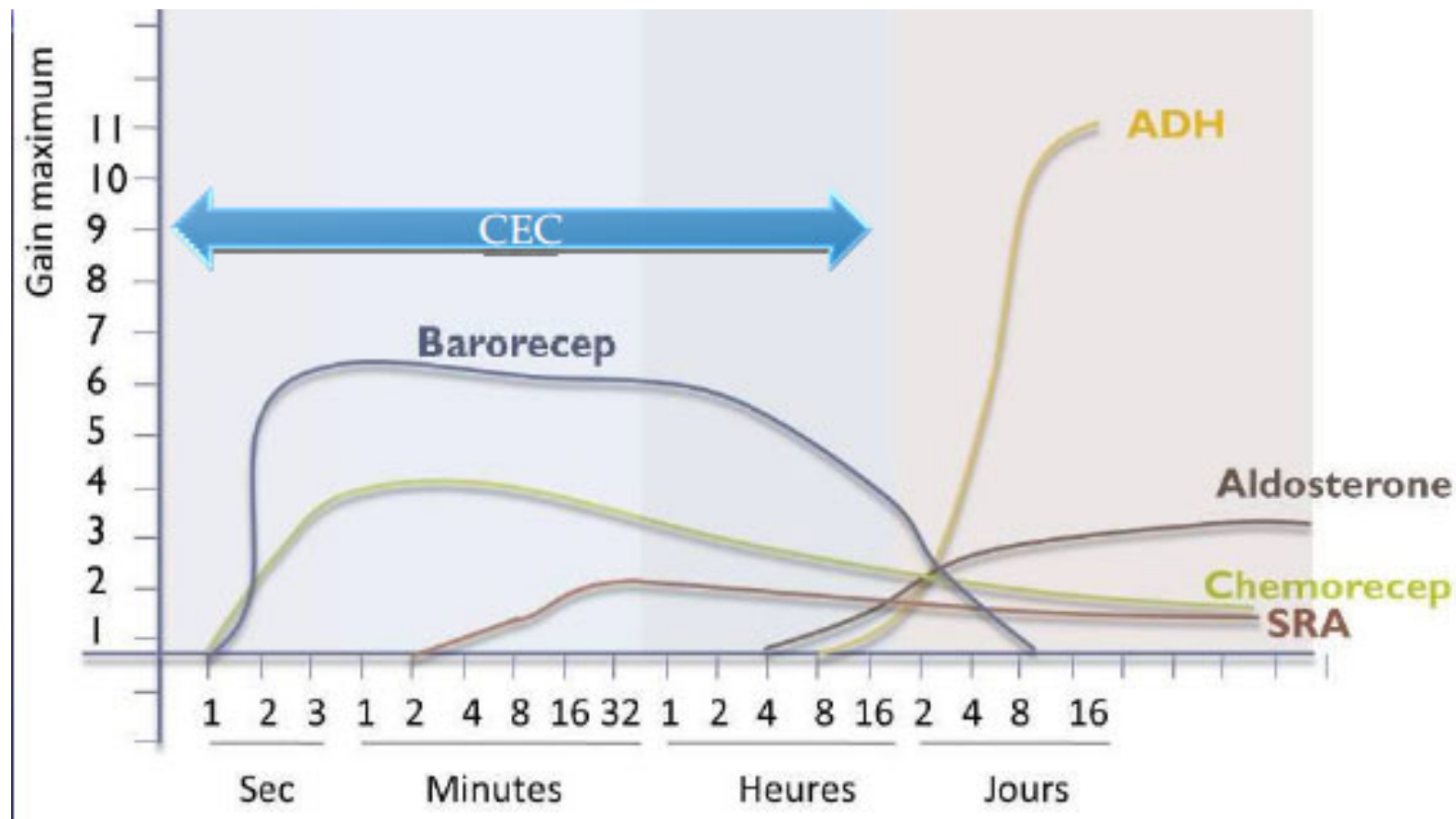
**SRIS postop**

Choc vasoplégique



# Physiologie du système nerveux autonome

## Régulation de la Pression Artérielle

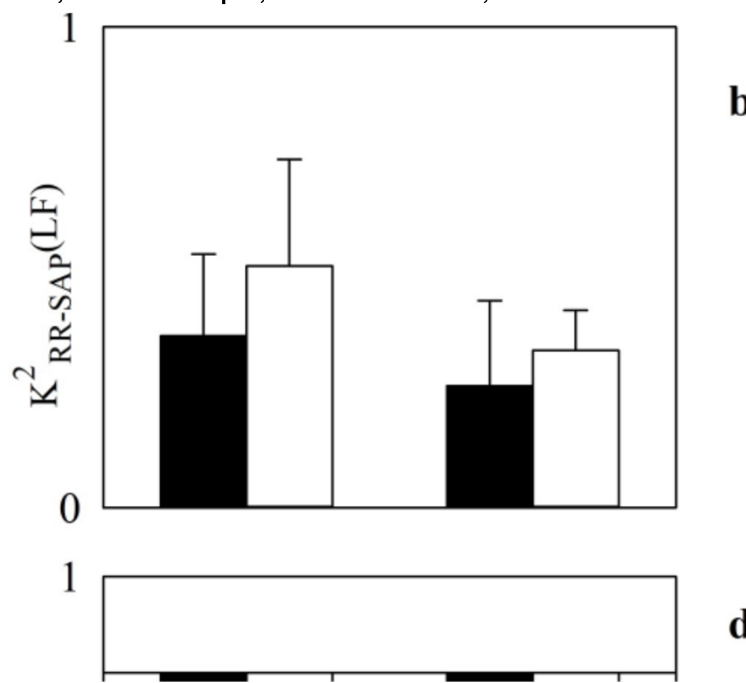


# Physiologie du système nerveux autonome SNA et chirurgie cardiaque

PLOS ONE

## Evaluation of the impact of surgical aortic valve replacement on short-term cardiovascular and cerebrovascular controls through spontaneous variability analysis

Alberto Porta  <sup>1,2\*</sup>, Angela Fantinato <sup>2</sup>, Vlasta Bari  <sup>2</sup>, Francesca Gelpi <sup>2</sup>, Beatrice Cairo  <sup>1</sup>,  
Beatrice De Maria <sup>3</sup>, Enrico Giuseppe Bertoldo <sup>4</sup>, Valentina Fiolo <sup>4</sup>, Edward Callus <sup>1,4</sup>,  
Carlo De Vincentiis <sup>5</sup>, Marianna Volpe <sup>6</sup>, Raffaella Molfetta <sup>6</sup>, Marco Ranucci <sup>2</sup>



<https://doi.org/10.1371/journal.pone.0243869.t002>

# Physiologie du système nerveux autonome

## SNA et chirurgie cardiaque

Impairments in Blood Pressure Regulation and Cardiac Baroreceptor Sensitivity Among Heart Failure Patients Supported with Continuous-Flow Left Ventricular Assist Devices

Christine Sailer, MD<sup>1</sup>, Hannah Edelmann, BS<sup>2</sup>, Cullen Buchanan, MD<sup>3</sup>, Pedro Giro, MD<sup>3</sup>, Matthew Babcock, PhD<sup>4</sup>, Christine Swanson, MD<sup>5</sup>, Melanie Spotts, BSN, RN<sup>6</sup>, Margaret Schulte, BSN, RN<sup>6</sup>, Ashley Pratt-Cordova, BS<sup>6</sup>, Greg Coe, MS<sup>1</sup>, Mark Beindorff, RN, BSN<sup>1</sup>, Robert L. Page II, PharmD, MSPH<sup>7</sup>, Amrut V. Ambardekar, MD<sup>1</sup>, Jay D. Pal, MD, PhD<sup>8</sup>, Wendy Kohrt, PhD<sup>4,6</sup>, Eugene Wolfel, MD<sup>1</sup>, Justin S. Lawley, PhD<sup>9</sup>, Takashi Tarumi, PhD<sup>10</sup>, William K. Cornwell III, MD, MSCS<sup>1,6</sup>

# Circulation: Heart Failure

	Pre-LVAD	LVAD	Change	P-value
<i>Low Frequency (0.05-0.15Hz)</i>				
Power Spectral Analysis				
PS-RRI, ms <sup>2</sup> Hz <sup>-1</sup>	155 (55, 451)	426 (145, 839)	151 (-6, 693)	0.26
PS-SBP, mmHg <sup>2</sup> Hz <sup>-1</sup>	16 (3, 48)	31 (3, 53)	13 (-17, 39)	0.60
Transfer Function Analysis				
Gain, ms mmHg <sup>-1</sup>	1.8 (1.2, 3.4)	2.4 (0.6, 2.8)	0.2 (-1.5, 1.3)	0.73
Phase, radians	-0.79 (-1.20, -0.18)	-0.21 (-0.83, 0.16)	0.34 (-1.11, 1.04)	0.13
Coherence, units	0.37 (0.34, 0.54)	0.36 (0.29, 0.48)	-0.16 (-0.23, 0.13)	0.73

## Altération sensibilité baroréflexe

# **Physiologie du système nerveux autonome**

## **Conclusion**

SNA rôle essentiel dans l'homéostasie de l'organisme

Interactions entre anesthésie-réanimation et SNA

Peut-être exploré et monitoré durant une chirurgie

# Physiologie du Retour veineux et CEC

# Retour Veineux et CEC

## Introduction

**Quel rôle joue le retour veineux et quels liens avec le débit cardiaque ?**

**La CEC va-t-elle impacter la physiologie du retour veineux ?**

**Quels moyens pour optimiser le retour veineux ?**

REVIEW

Open Access



# Venous return and mean systemic filling pressure: physiology and clinical applications

Romain Persichini<sup>1\*</sup>, Christopher Lai<sup>2</sup>, Jean-Louis Teboul<sup>2</sup>, Imane Adda<sup>2</sup>, Laurent Guérin<sup>2</sup> and Xavier Monnet<sup>2</sup>

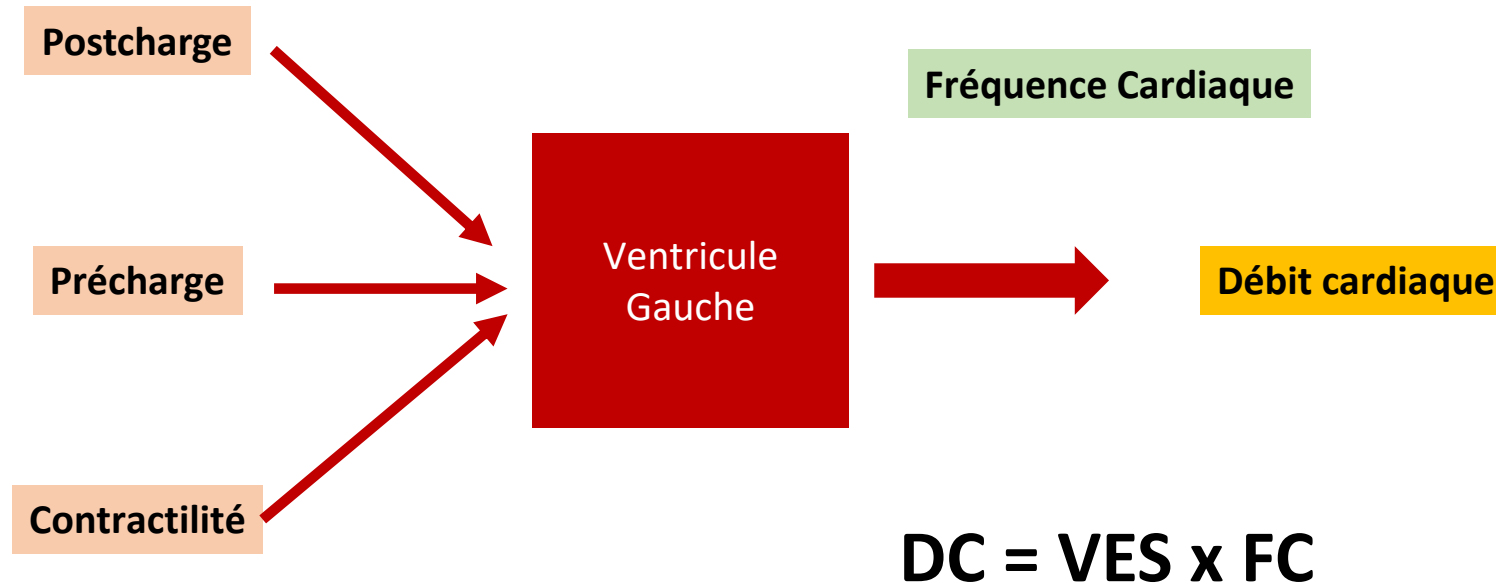


# Retour Veineux et CEC

## Introduction

Approche classique

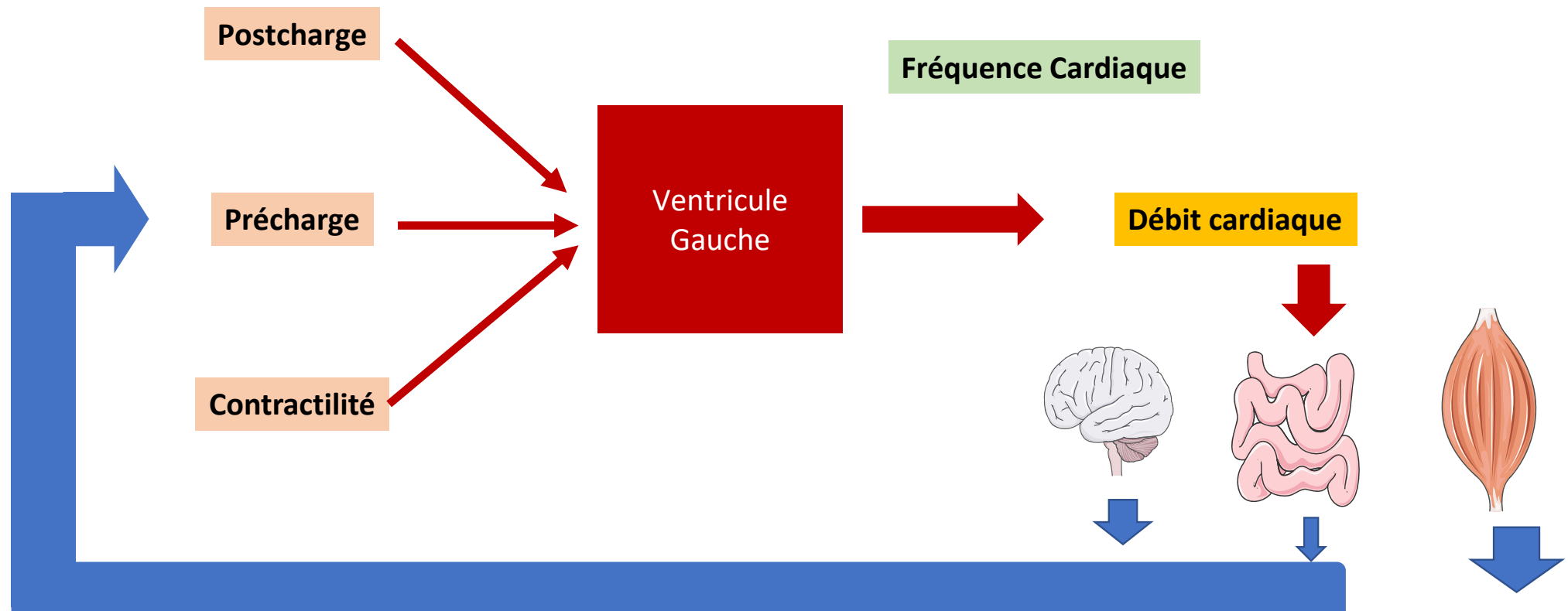
Quel rôle joue le retour veineux et quels liens avec le débit cardiaque ?



# Retour Veineux et CEC

## Introduction

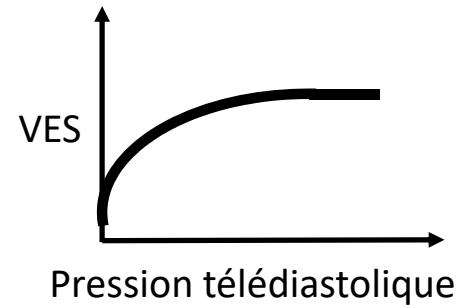
### Approche classique



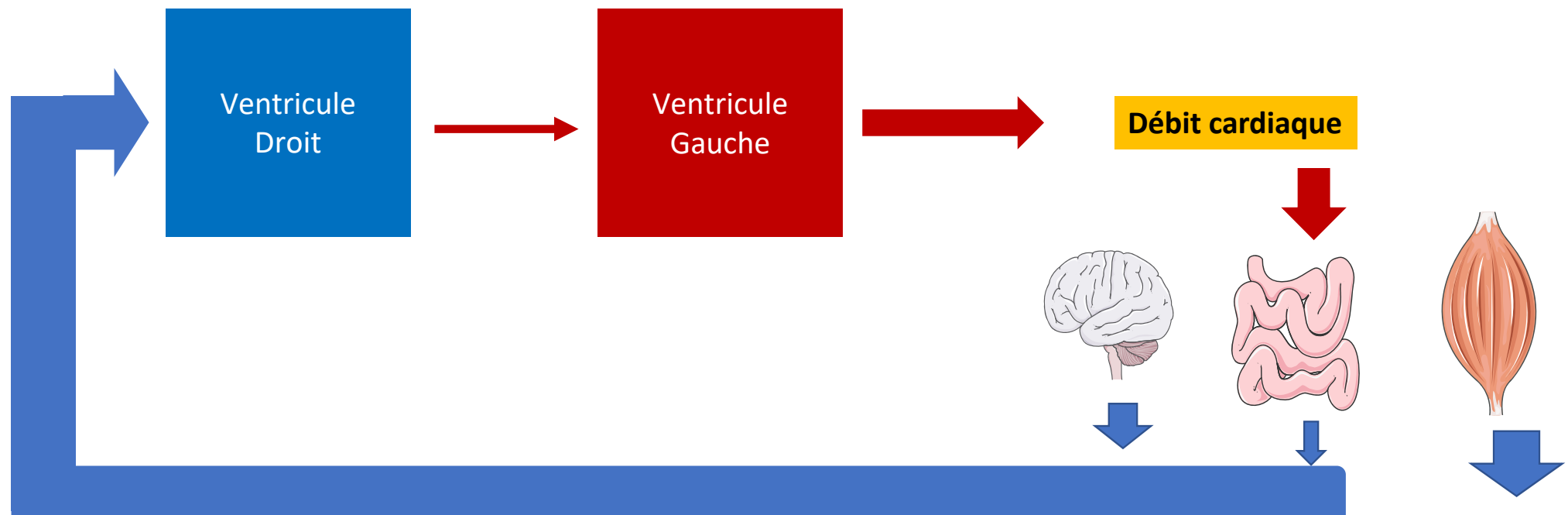
# Retour Veineux et CEC

## Introduction

### Approche classique



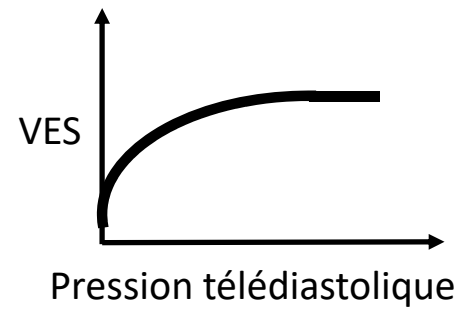
Fréquence Cardiaque



# Retour Veineux et CEC

## Introduction

### Approche classique



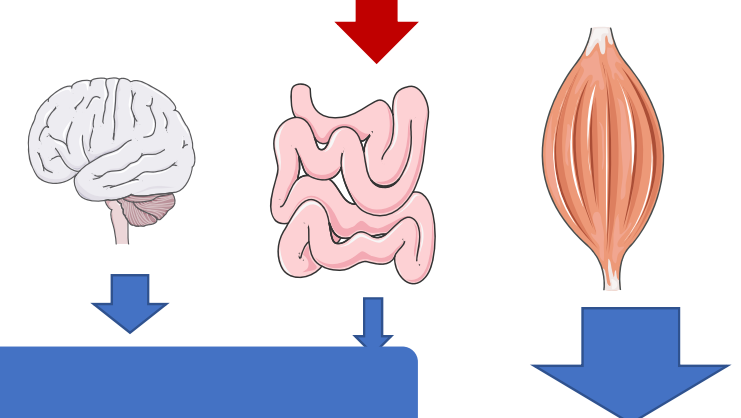
Fréquence Cardiaque

Ventricule  
Droit

Ventricule  
Gauche

Débit cardiaque

65% du volume sanguin  
→ réservoir veineux = élément de régulation central



# Retour Veineux – Théorie de Guyton

Comment le retour veineux est-il généré?

## Différence de pression

Pression veineuse systémique - PSM

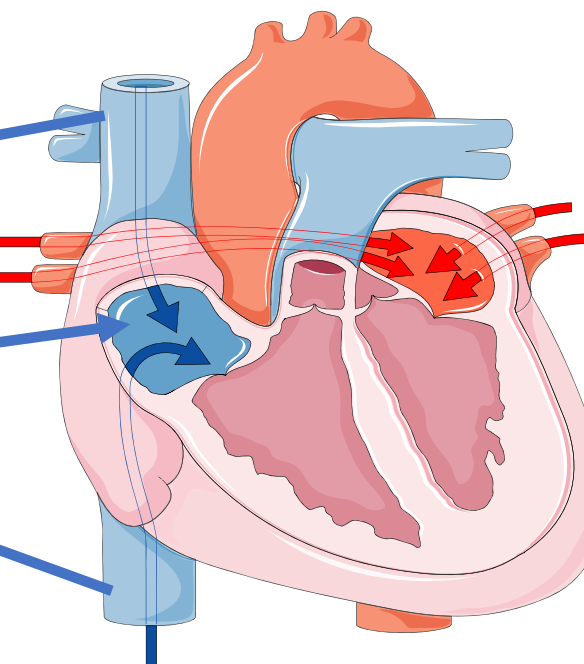
POD

## Loi de Poiseuille

Loi de l'écoulement d'un liquide visqueux dans un tube

$$\text{Débit (Q)} = \Delta P / \text{Résistances}$$

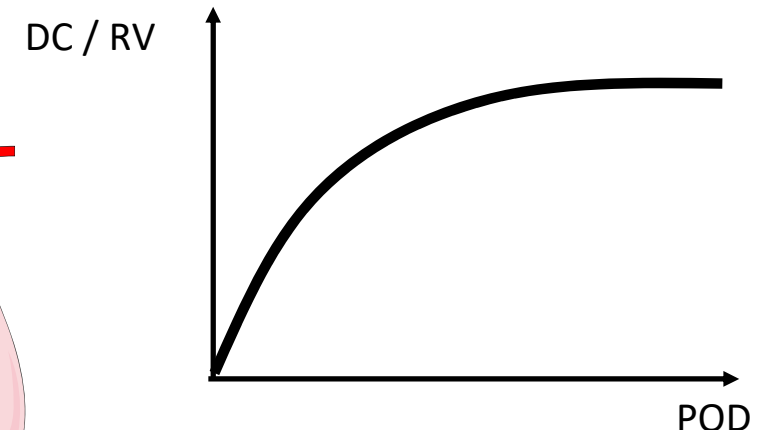
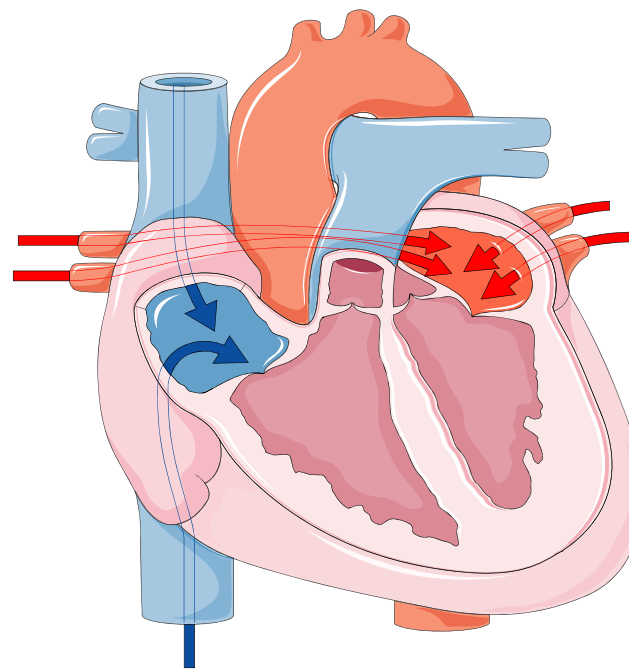
$$RV = (PSM - POD) / \text{Résistances}$$



# Retour Veineux – Théorie de Guyton

Comment le retour veineux est-il généré?

POD  
=  
Pression qui s'oppose au retour veineux



POD  
=  
2 visions non antagonistes

# Retour Veineux – Théorie de Guyton

Comment le retour veineux est-il généré?

Pression veineuse systémique

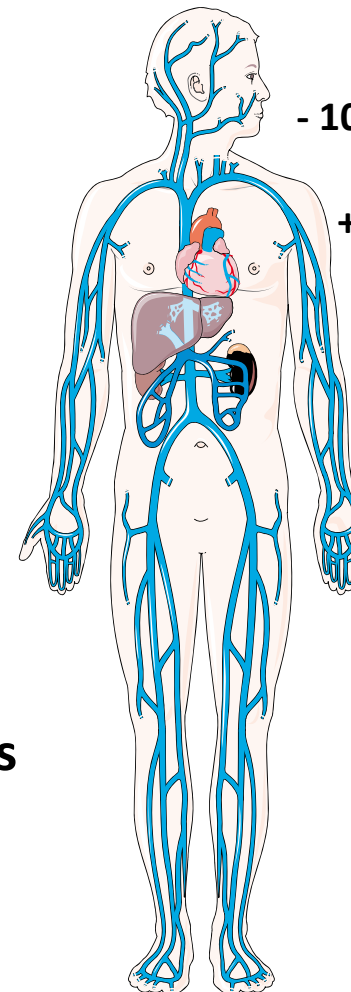
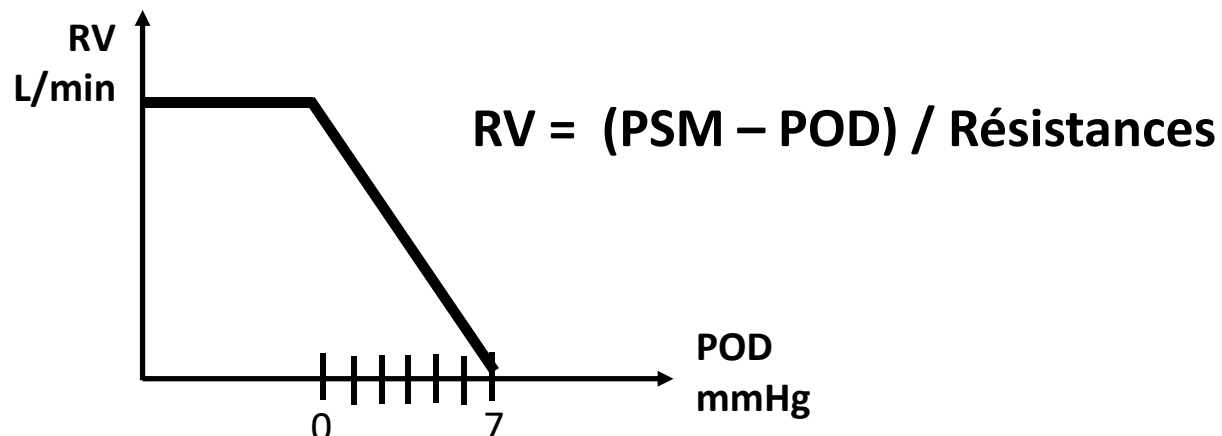
Pression motrice nécessaire pour permettre le RV

Résulte de la force de recul élastiques des parois veineuses

Expérience chez le chien

$$PSM = POD$$

$$RV = 0$$



Pression difficile à apprêhender

- 10 mmHg

+ 6 mmHg

+ 22 mmHg

+ 40 mmHg

+ 90 mmHg

# Retour Veineux – Théorie de Guyton

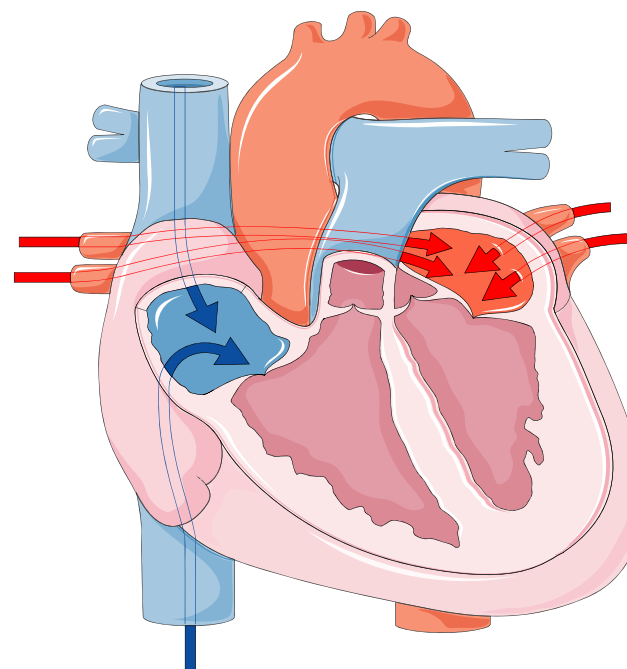
Comment le retour veineux est-il généré?

Cœur  
=

Objectif de vidanger le système veineux

Pressure veineuse systémique       $\neq$       POD

A chaque contraction : OD vidangée  
→ Bascule du sang à gauche  
→ VG : éjection dans le système à pression élevée  
→ Retour du sang dans le système veineux (PSM)

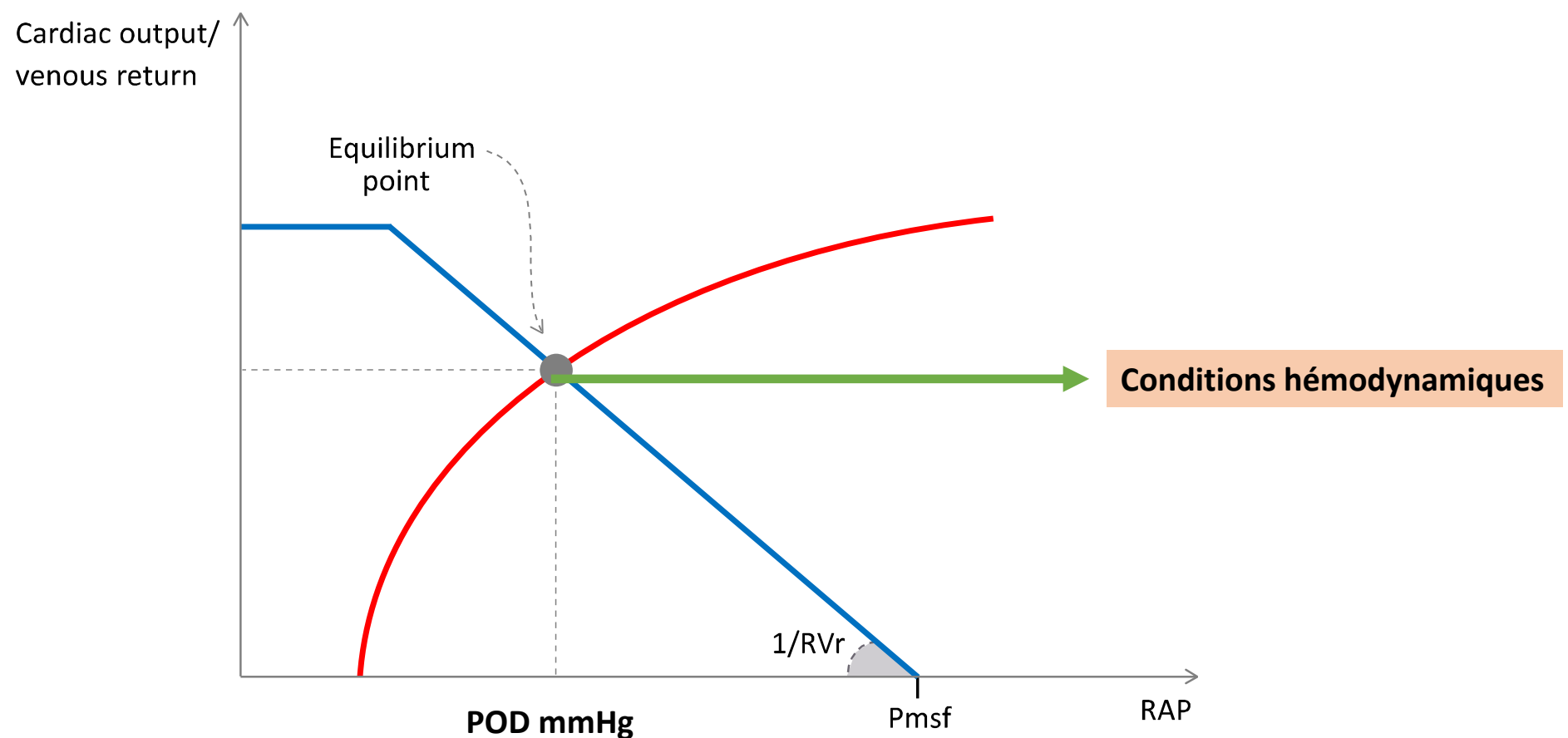


Cœur  
=

Objectif de vidanger le système veineux

# Retour Veineux – Théorie de Guyton

Comment le retour veineux est-il généré?

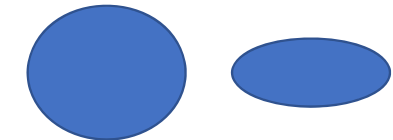


# Retour Veineux – Théorie de Guyton

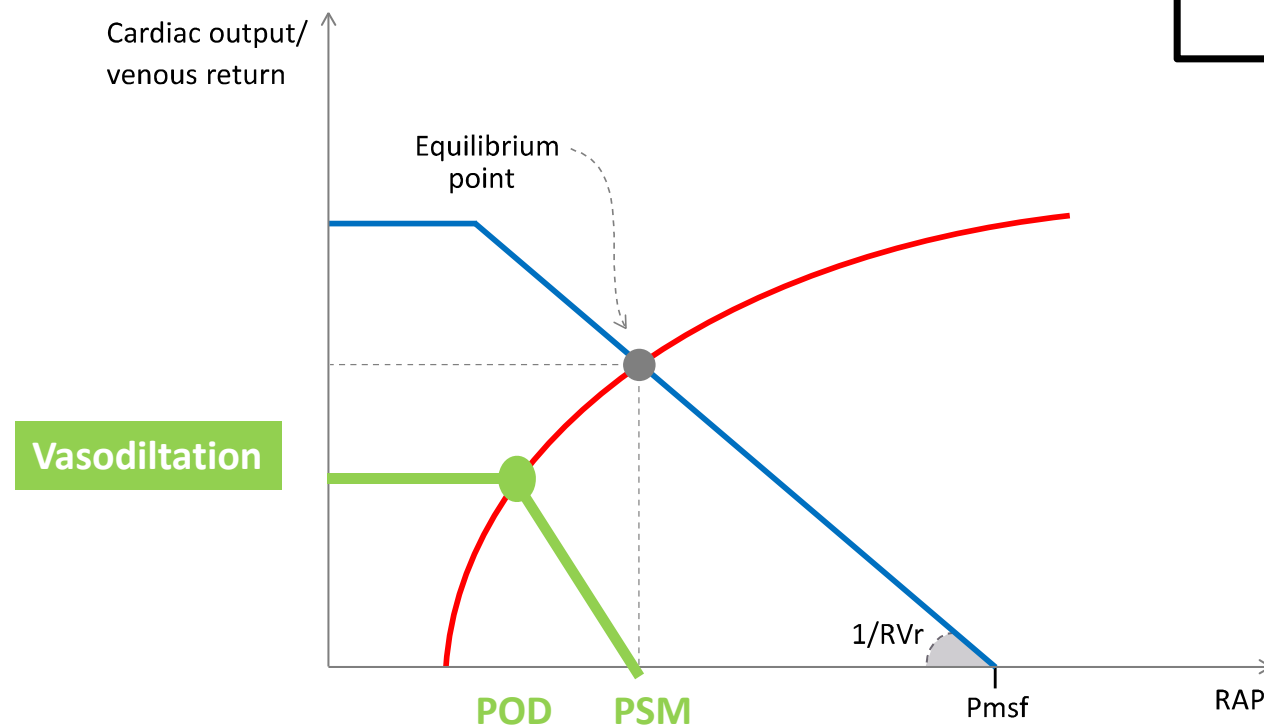
## Quels sont les déterminants du retour veineux ?

$$\text{Venous return} = (Pmsf - RAP)/RVr$$

Résistances = Inverse de la pente de la courbe du RV



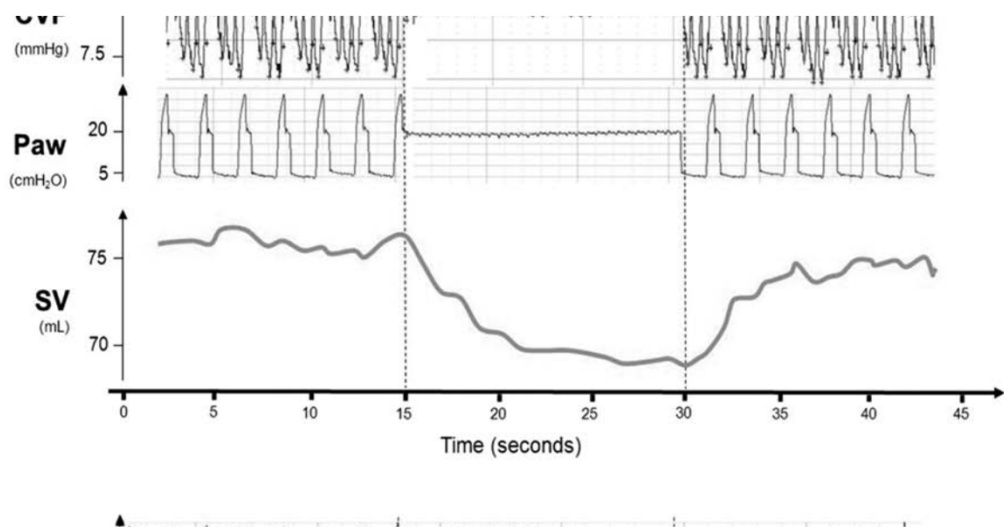
Plus le diamètre augmente  
Plus les résistances diminuent  
Plus la pente est forte



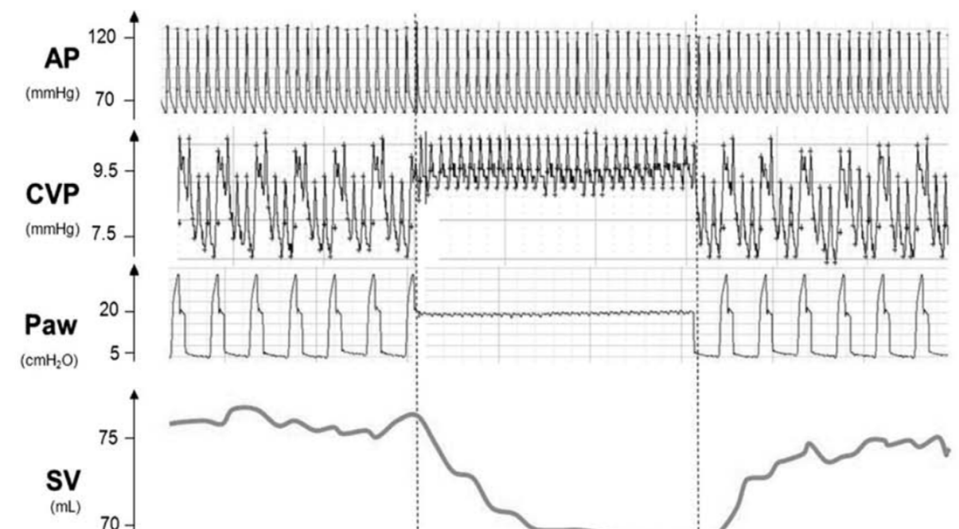
# Retour Veineux – Théorie de Guyton

## Comment estimer la PVS?

Méthode basée sur interactions cœur-poumons



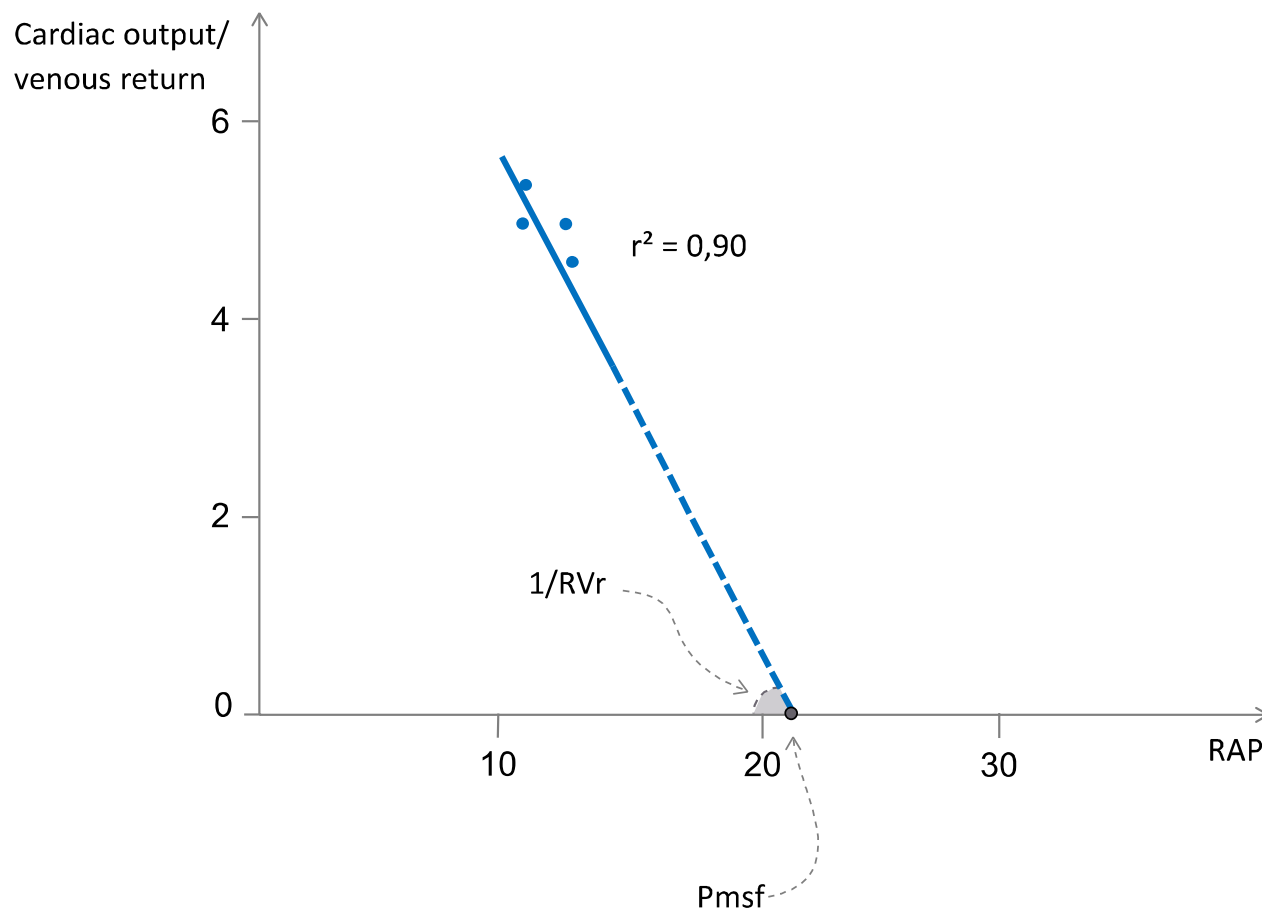
Pause télé-inspiratoire



Pause télé-expiratoire

# Retour Veineux – Théorie de Guyton

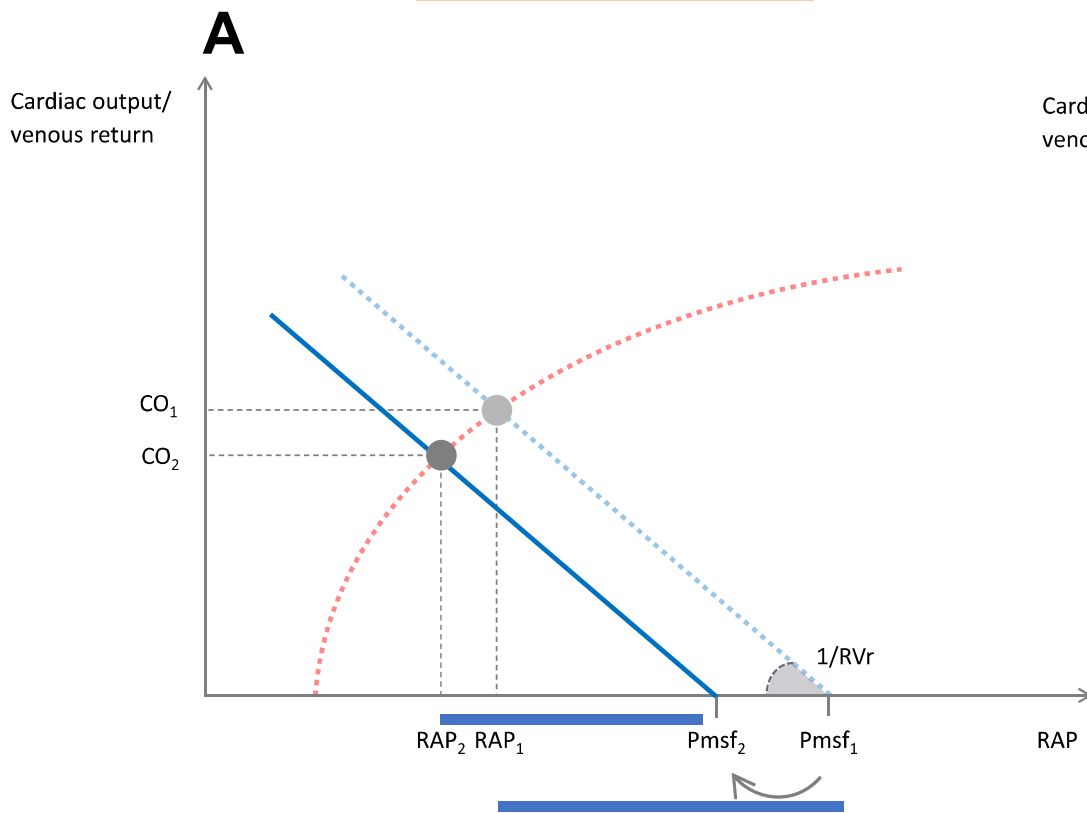
## Comment estimer la PVS?



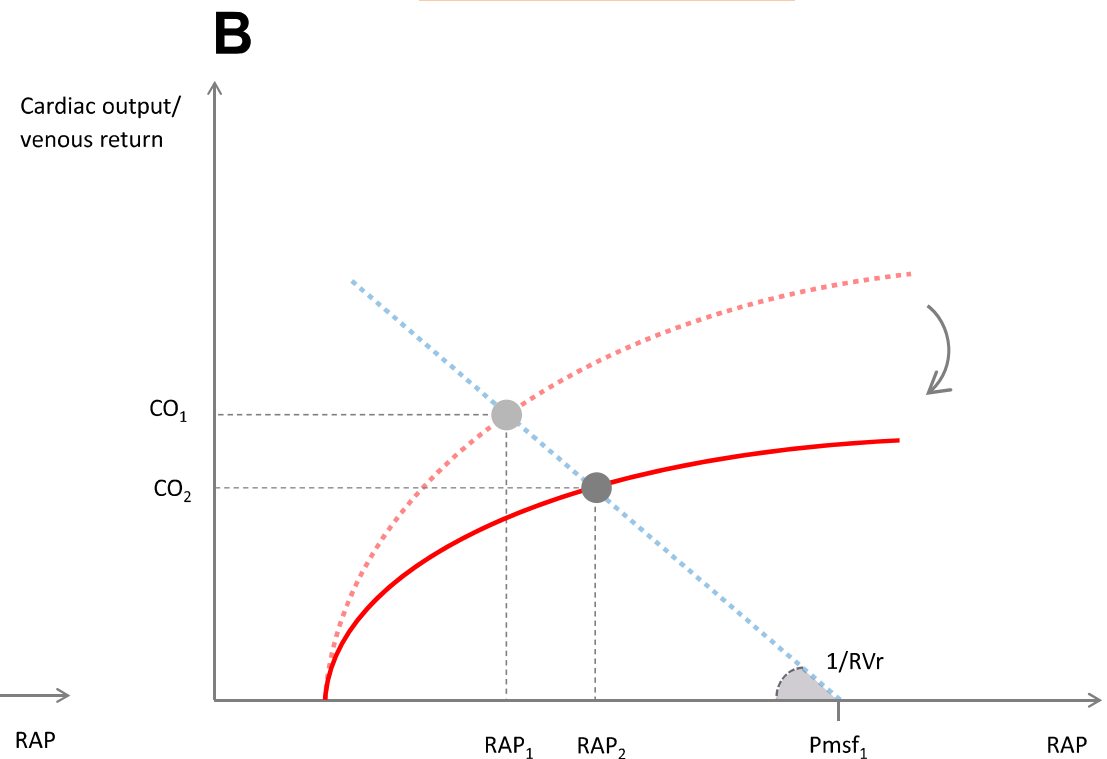
# Retour Veineux – Théorie de Guyton

## Situations pathologiques

Choc hypovolémique



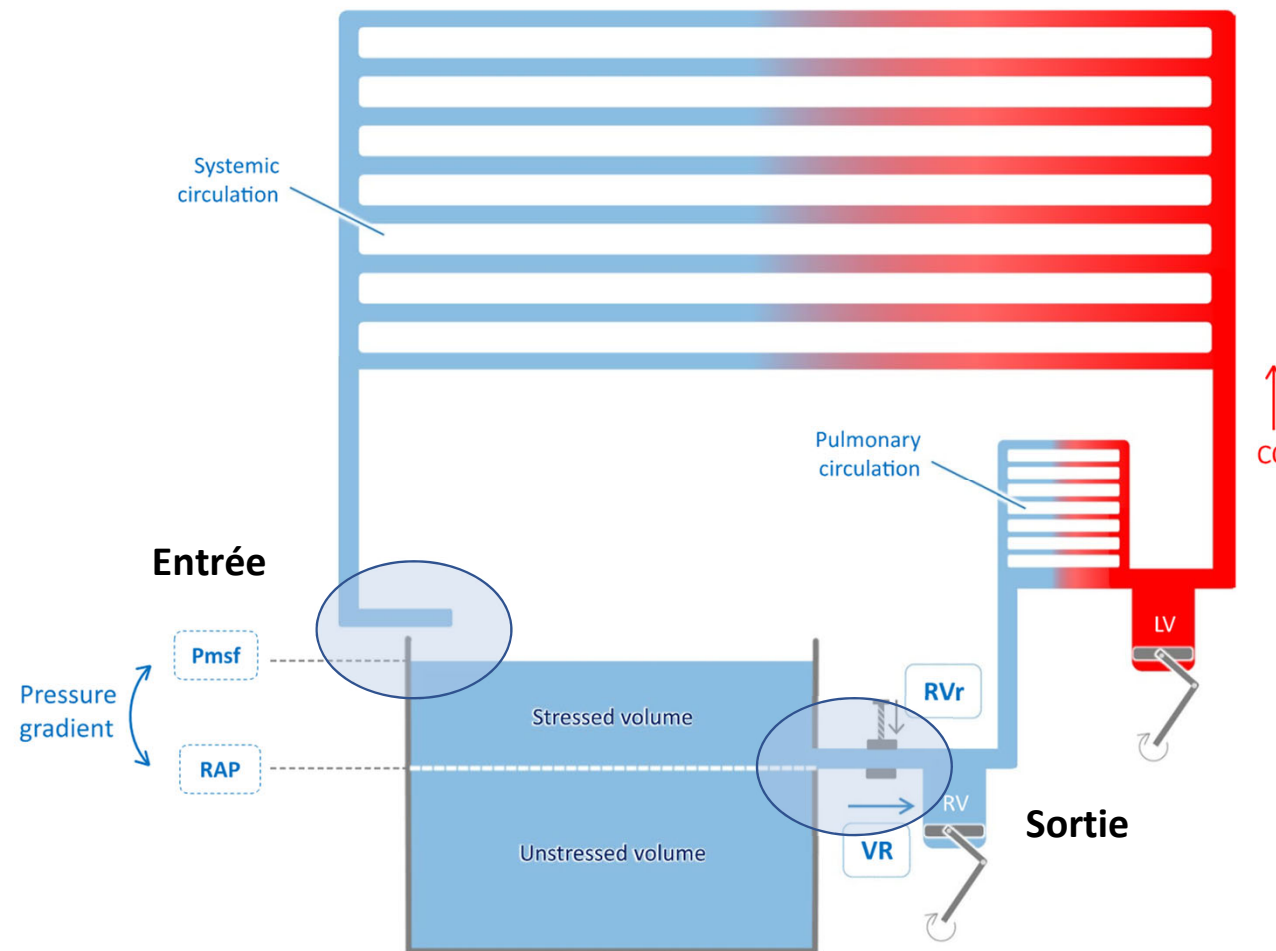
Choc cardiogénique



# Retour Veineux – Théorie de Guyton

Comment le retour veineux est-il généré?

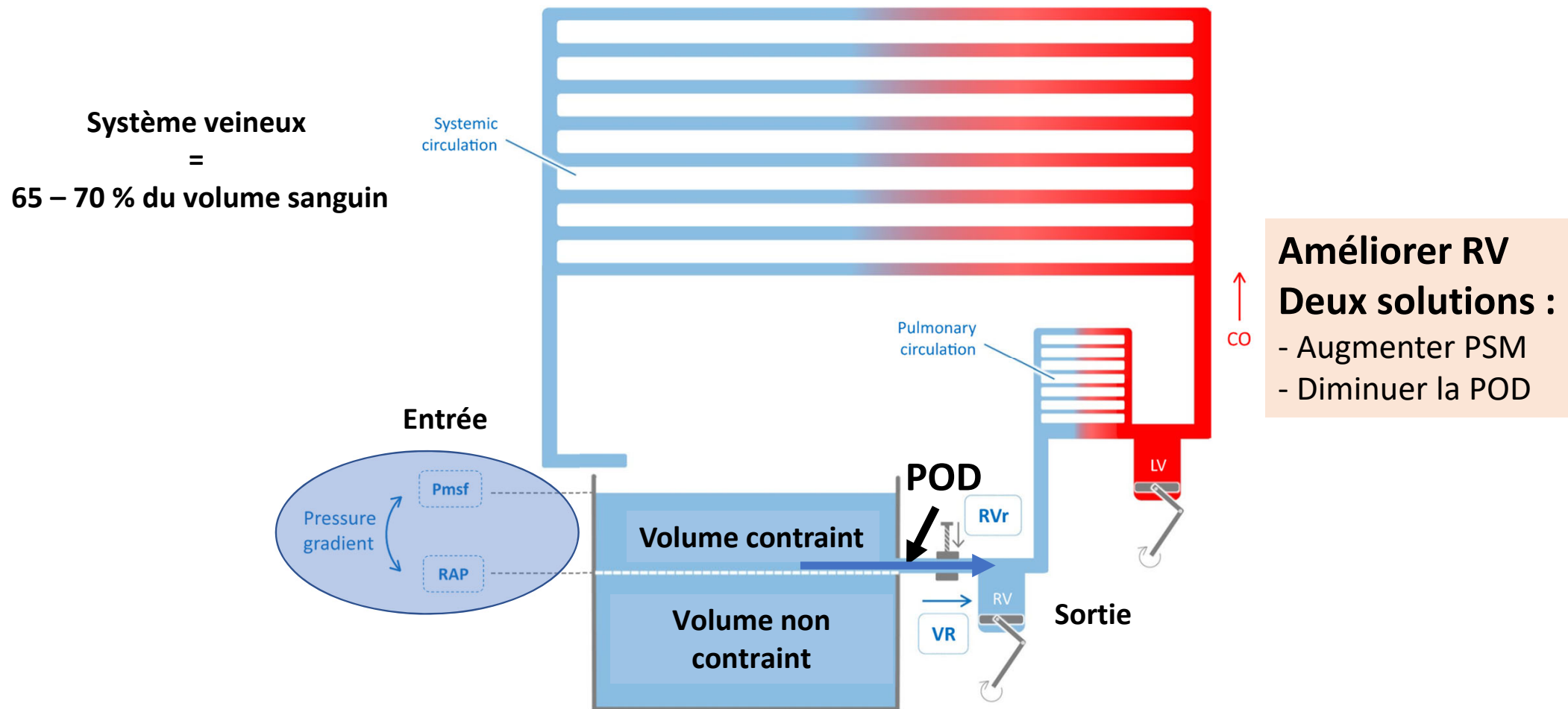
**PSM importante pour le retour dans l'OD et non la pression artérielle**



# Retour Veineux – Théorie de Guyton

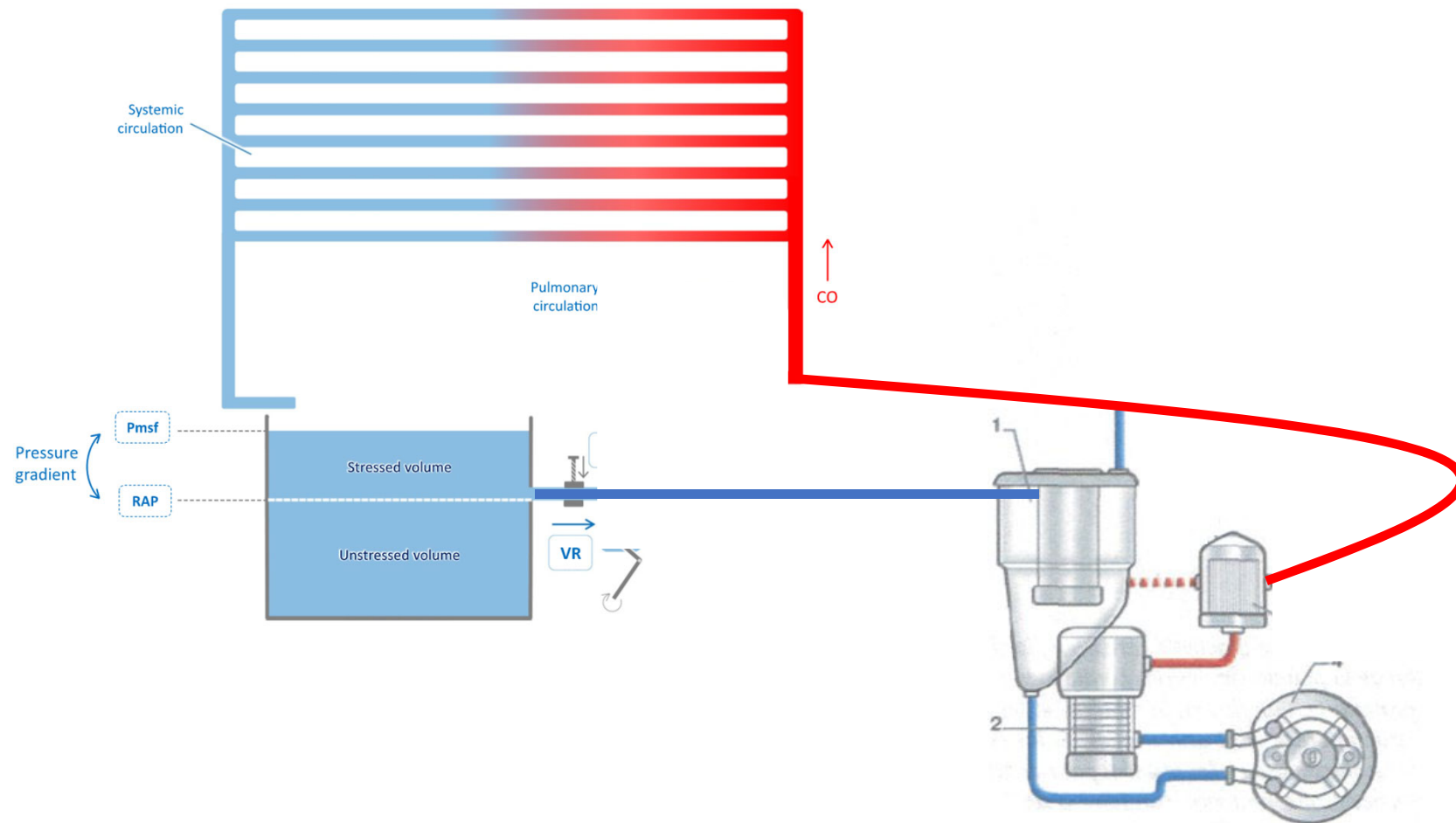
Comment le retour veineux est-il généré?

PSM importante pour le retour dans l'OD et non la pression artérielle



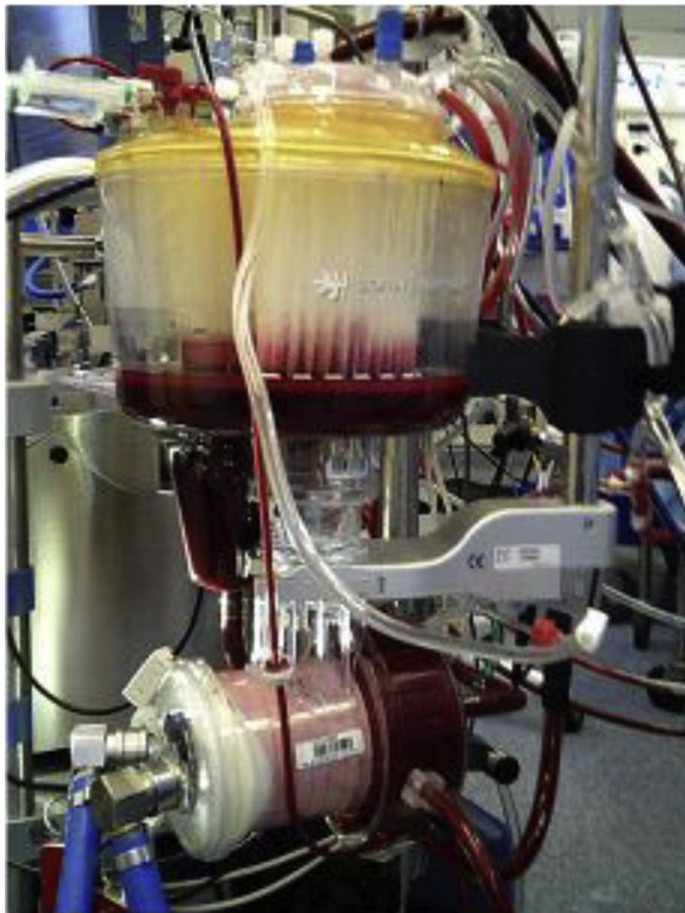
# Retour Veineux et CEC

## Drainage veineux en CEC



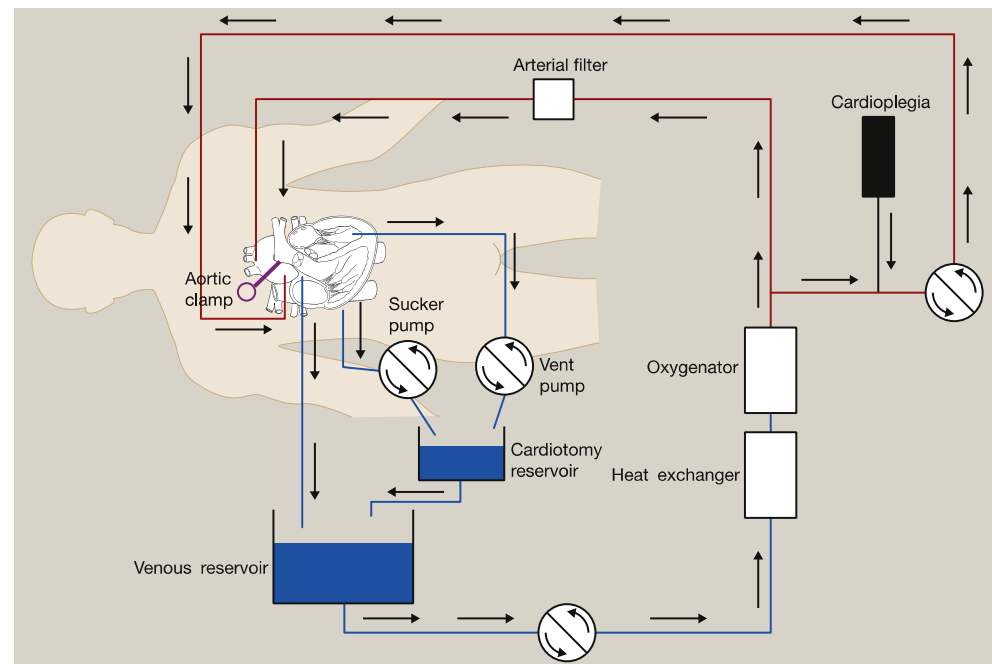
# Retour Veineux et CEC

## Drainage veineux en CEC



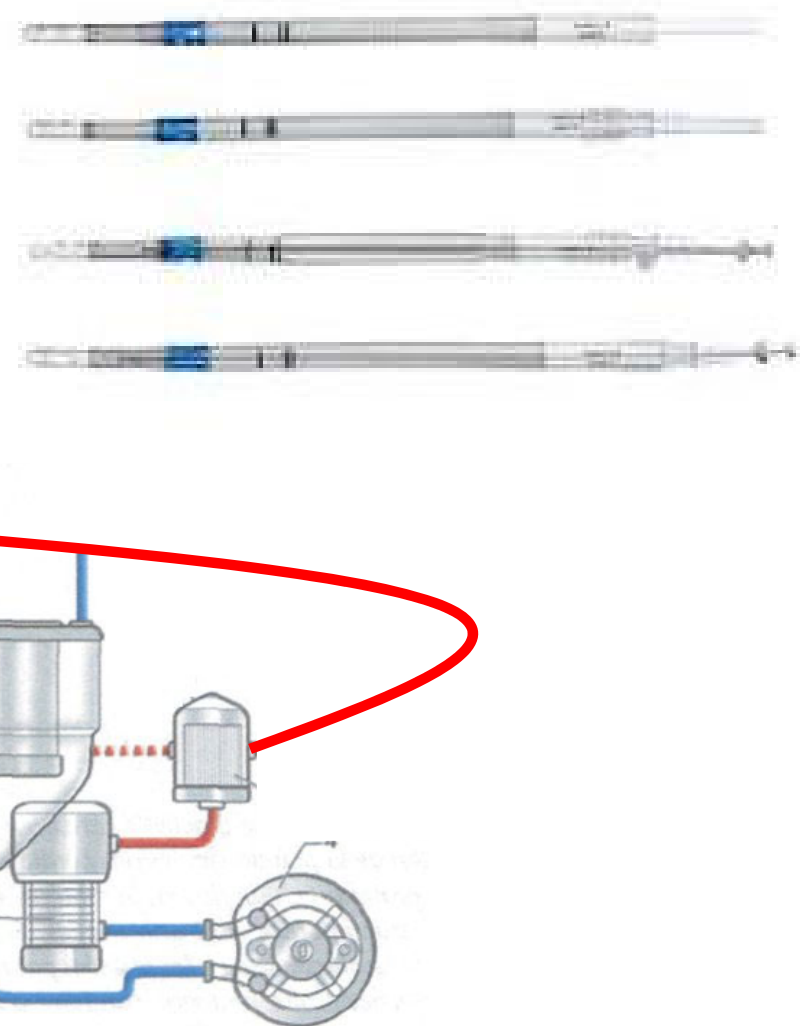
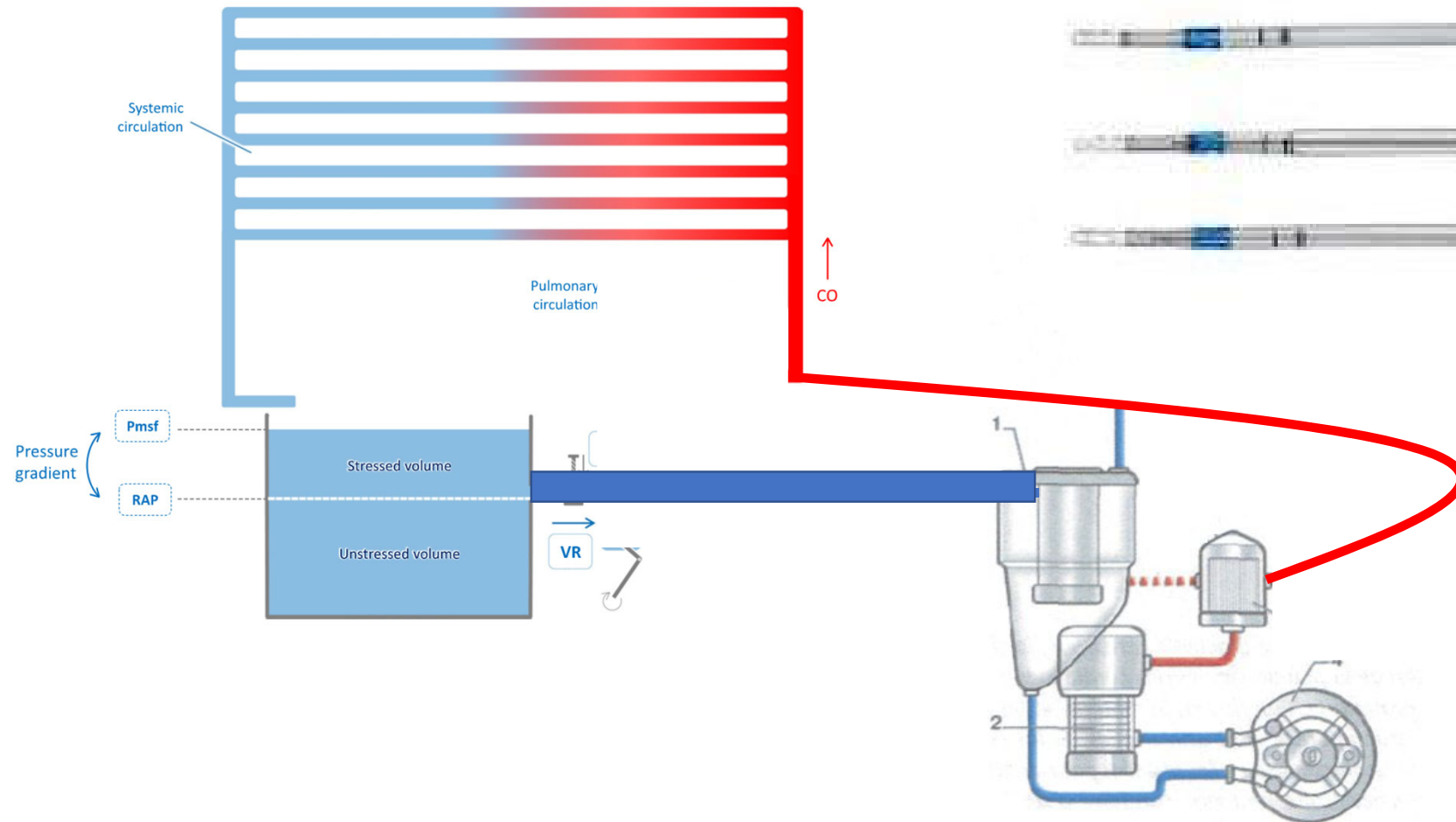
Interface sang / Air

Activation coagulation / Inflammation



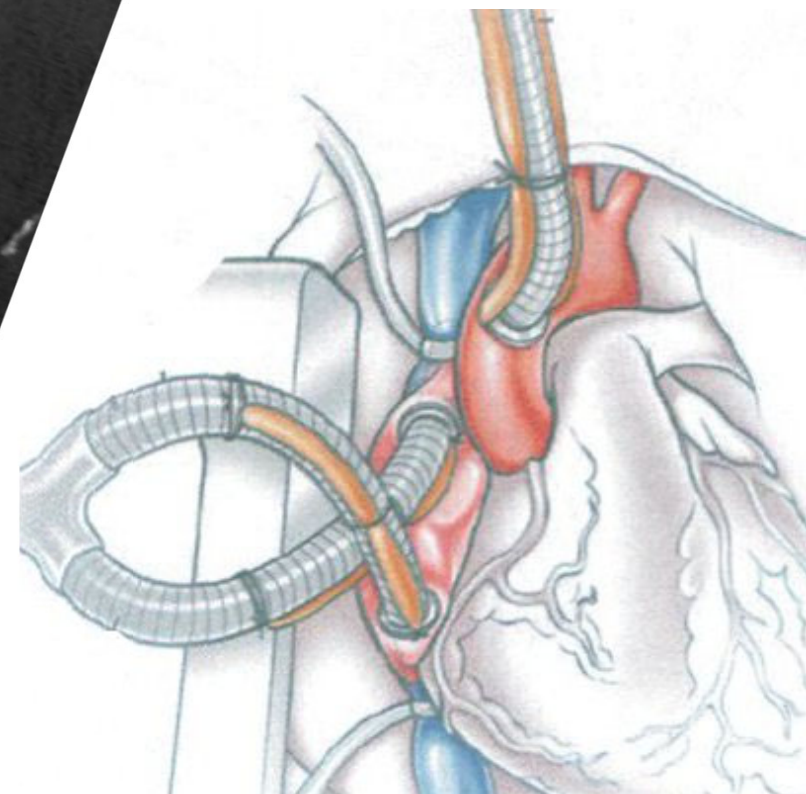
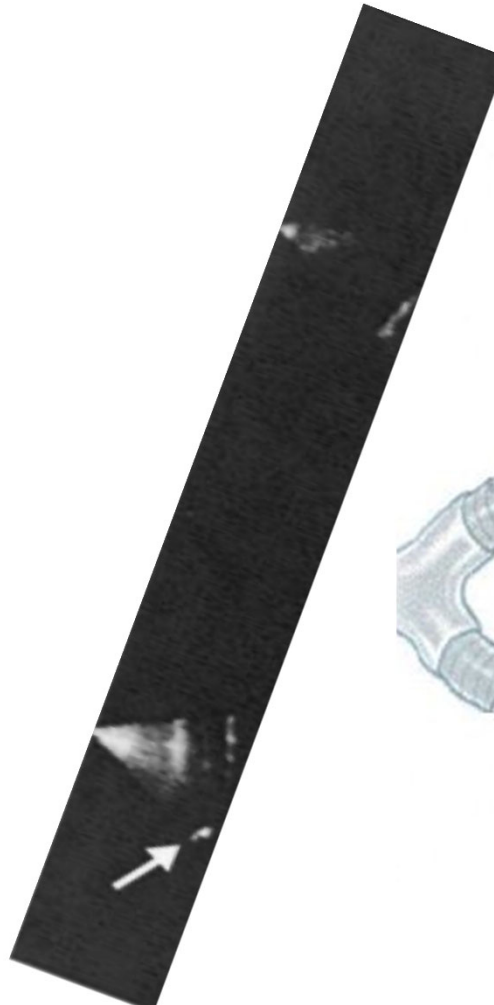
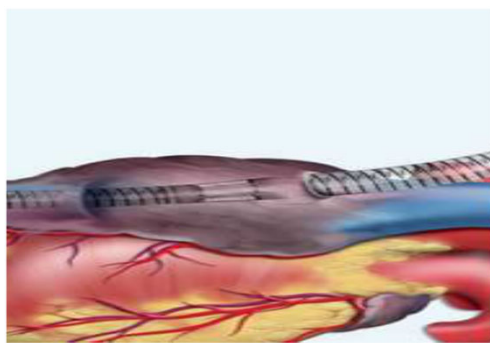
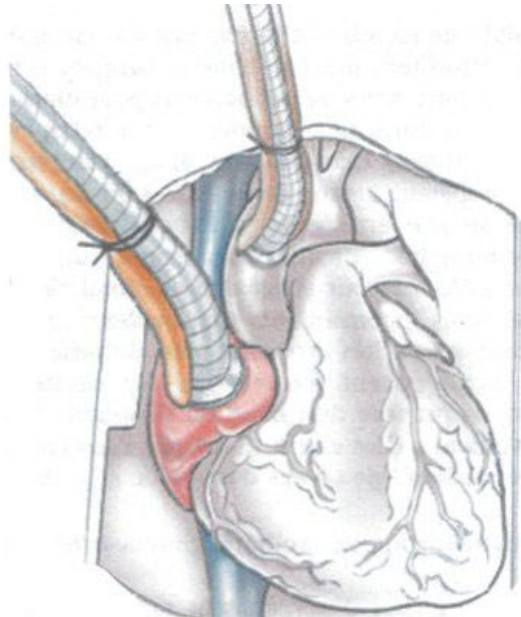
# Retour Veineux et CEC

## Drainage veineux en CEC



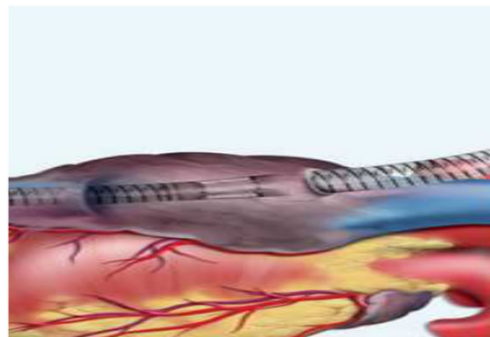
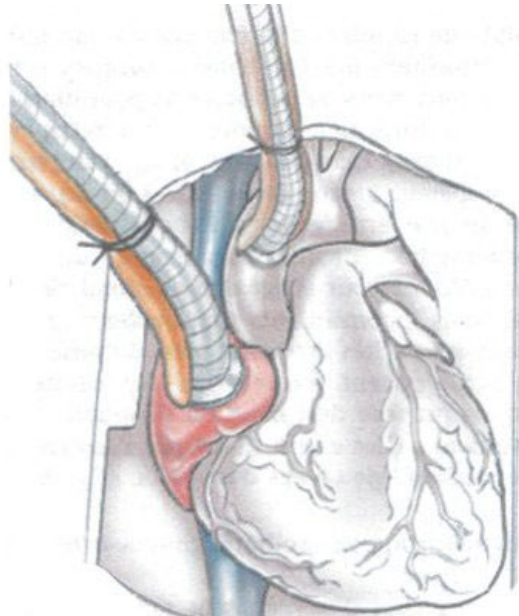
## Retour Veineux et CEC

### Drainage veineux en CEC



# Retour Veineux et CEC

## Drainage veineux en CEC

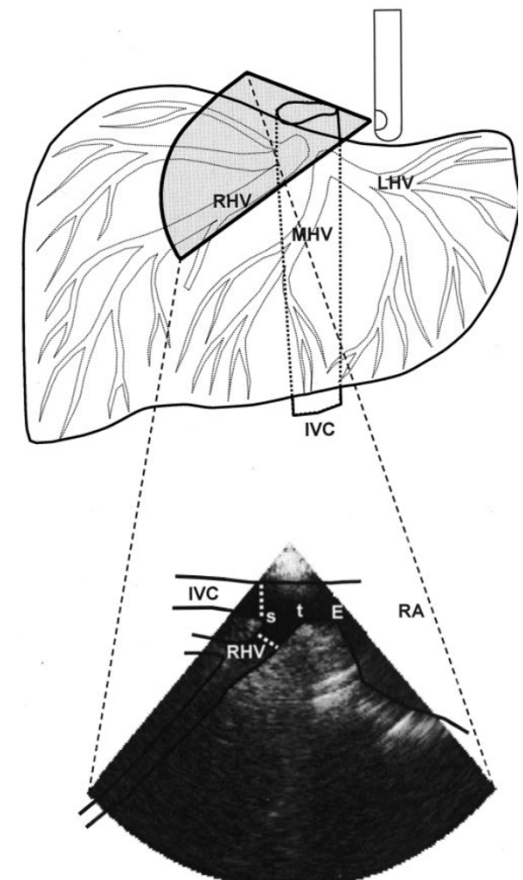


**Attention : risque d'obturation des veines hépatiques**

### Guiding Surgical Cannulation of the Inferior Vena Cava with Transesophageal Echocardiography

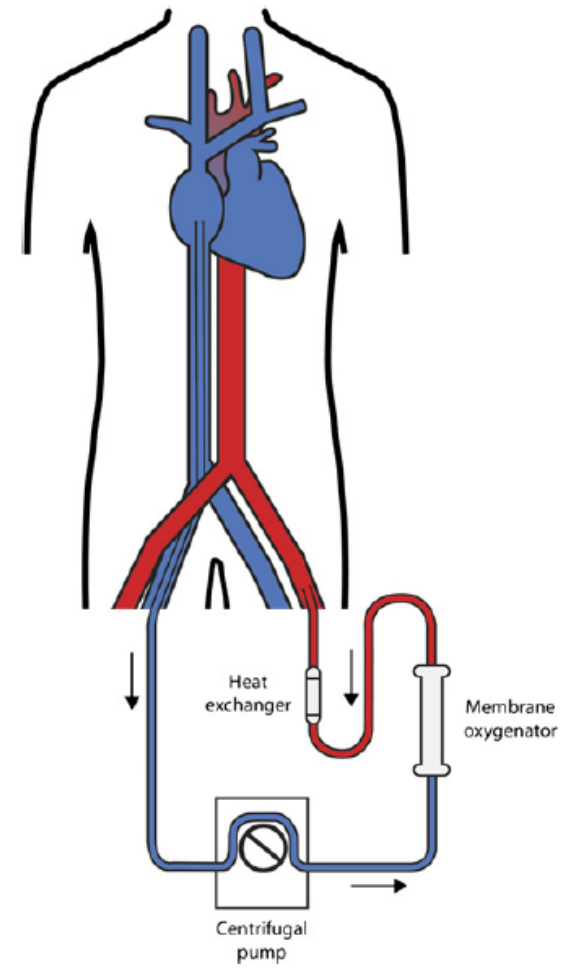
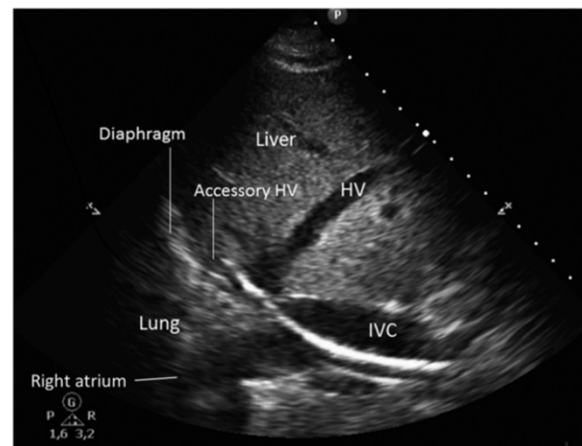
Idar Kirkeby-Garstad, MD\*, Arve Tromsdal, MD†, Olav F. M. Sellevold, MD, PhD\*,  
Mads Bjørngaard, MD\*, Lise K. Bjella, MD\*, Einar M. Berg, MD\*, Asbjørn Karevold, MD†,  
Rune Haaverstad, MD, PhD‡, Alexander Wahba, MD, PhD‡, Ole Tjomsland, MD, PhD‡,  
Rafael Astudillo, MD, PhD‡, Arne Krogstad, CCP‡, and Roar Stenseth, MD, PhD\*

Departments of \*Anaesthesia, †Cardiology, and ‡Surgery, St. Elisabeth Heart Centre, University Hospital of Trondheim, Norway



# Retour Veineux et CEC

## Drainage veineux en CEC



## Complication = thrombose

Thrombosis Research 212 (2022) 58–71



Contents lists available at ScienceDirect

Thrombosis Research

journal homepage: [www.elsevier.com/locate/thromres](http://www.elsevier.com/locate/thromres)



Review Article

Venous thromboembolic events in the setting of extracorporeal membrane oxygenation support in adults: A systematic review

Alexandra Abruzzo <sup>a</sup>, Vasavi Gorantla <sup>a</sup>, Sneha E. Thomas <sup>b,\*</sup>

<sup>a</sup> Department of Anatomical Sciences, St. George's University School of Medicine, Grenada

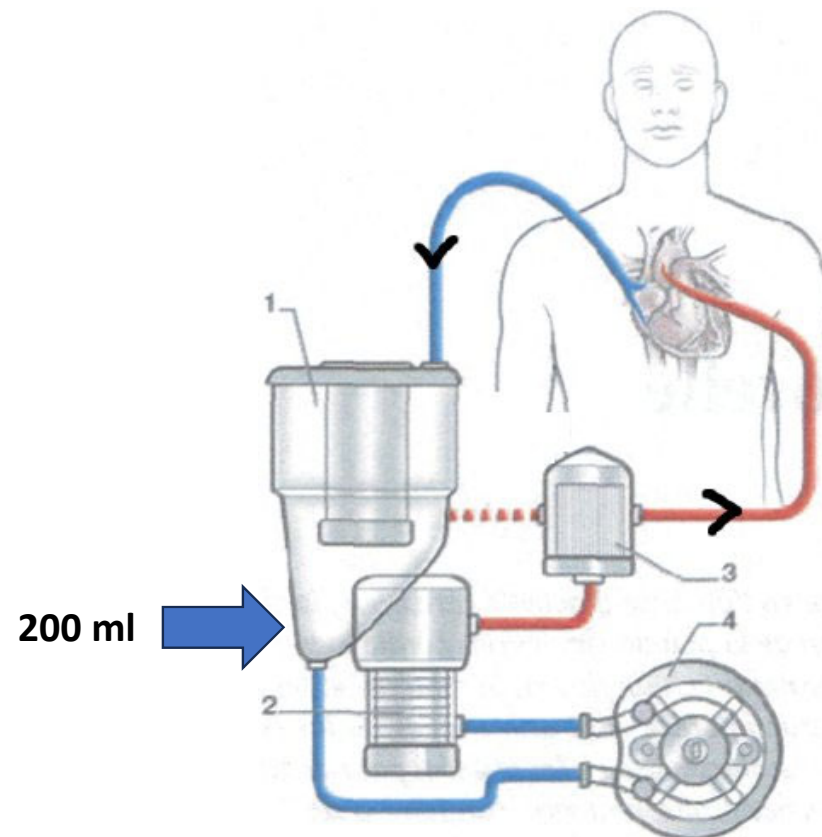
<sup>b</sup> Department of Internal Medicine, University of Maryland Medical Center MTC, Baltimore, USA



## Retour Veineux et CEC

### Drainage veineux en CEC

Comment optimiser le retour veineux ?



Impact direct sur le Débit et  
donc sur PAM

## Retour Veineux et CEC

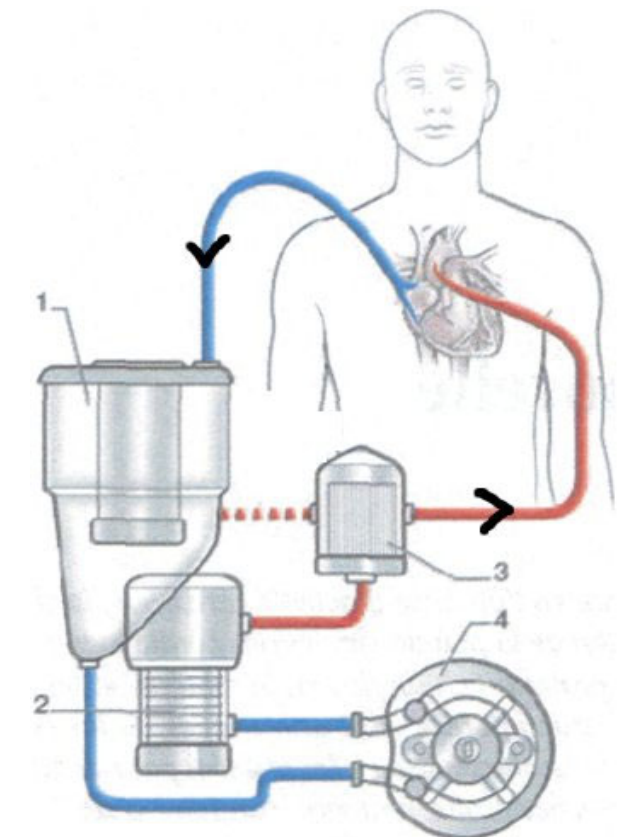
Comment améliorer le retour veineux ?

Le cœur est-il bien drainé?

ETO / Champ Opératoire / PVC

### Drainage veineux dans le réservoir :

- Hauteur patient / réservoir : 30 – 70 cm
- Taille des canules
- Ligne veineuse : coudure / air (air block)
- Prise d'air au niveau de l'OD
- Position des canules : double canulation = meilleur drainage si luxation du cœur
- Collapsus des parois de l'OD autour de la canule



# Retour Veineux et CEC

## Drainage veineux en CEC

### Le cœur est-il bien drainé?

Gravity Venous Drainage and the 3/8-Inch Venous Line:  
What Would Poiseuille Do?

Bharat Datt, MSc, CCP, CPC, FPP;\* Kamal K. Pourmoghadam, MD;†  
Hamish M. Munro, MD, FRCA;‡ William M. DeCampli, MD, PhD‡‡

$$Q = \frac{\pi r^4 \Delta P}{8\eta l}$$

$Q$  = Flow

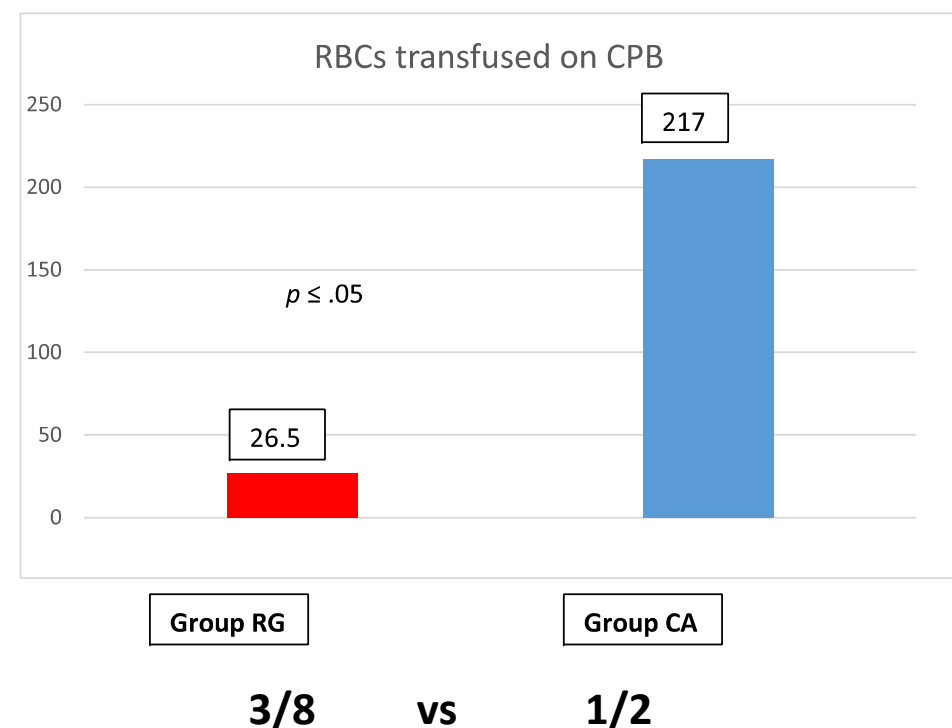
$r$  = radius

$\Delta P$  = height differential

$\eta$  = viscosity

$l$  = length

Figure 3. Poiseuille's law.



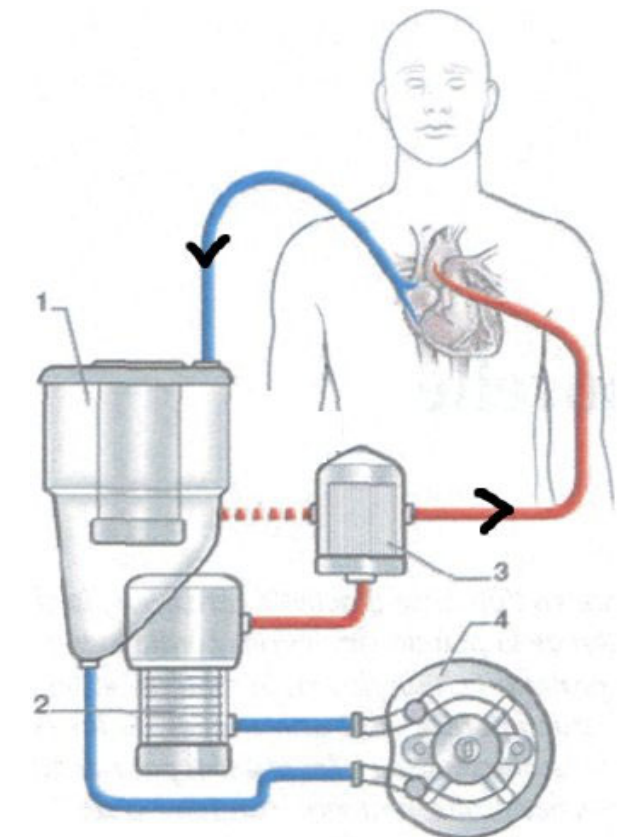
## Retour Veineux et CEC

Comment améliorer le retour veineux ?

Le cœur est-il bien drainé?

### Drainage veineux dans le réservoir :

- Hauteur patient / réservoir : 30 – 70 cm
- Taille des canules
- Ligne veineuse : coudure / air (air block)
- Prise d'air au niveau de l'OD
- Position des canules : double canulation = meilleur drainage si luxation du cœur
- Collapsus des parois de l'OD autour de la canule



# Retour Veineux et CEC

## Comment améliorer le retour veineux ?

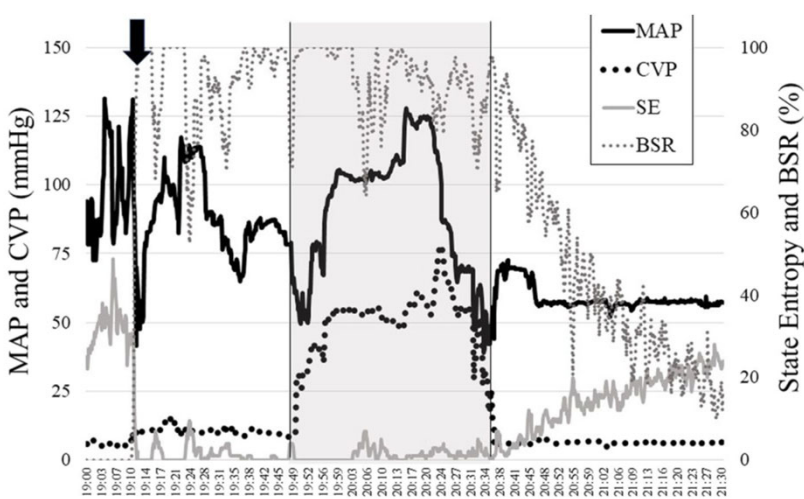
Le cœur est-il bien drainé?

### S'aider de la PVC et de l'ETO

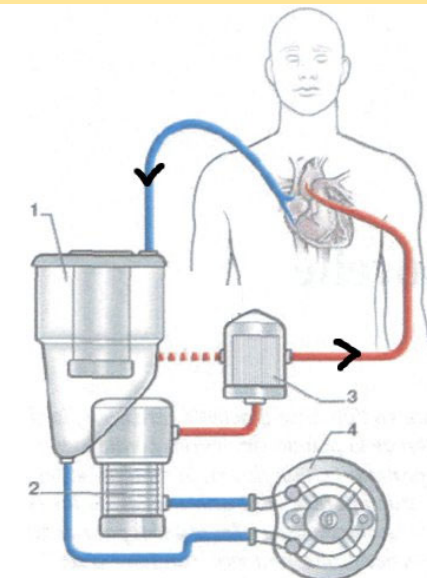
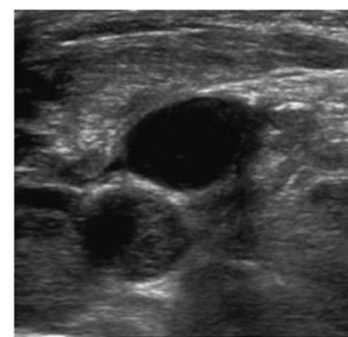
Venous cannula occlusion  
during cardiopulmonary bypass recognized  
by ultrasonography of the internal jugular vein

Soshi Narasaki, Hirotugu Miyoshi\*, Ryuji Nakamura, Ayako Sumii, Tomoyuki Watanabe, Sachiko Otsuki and Yasuo M. Tsutsumi

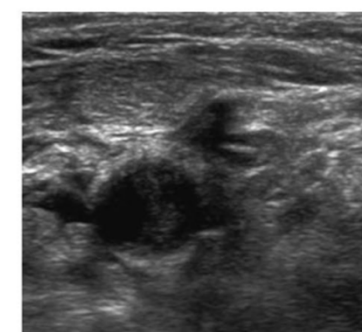
JA Clinical Reports



A. Before adjustment of inflow conduit

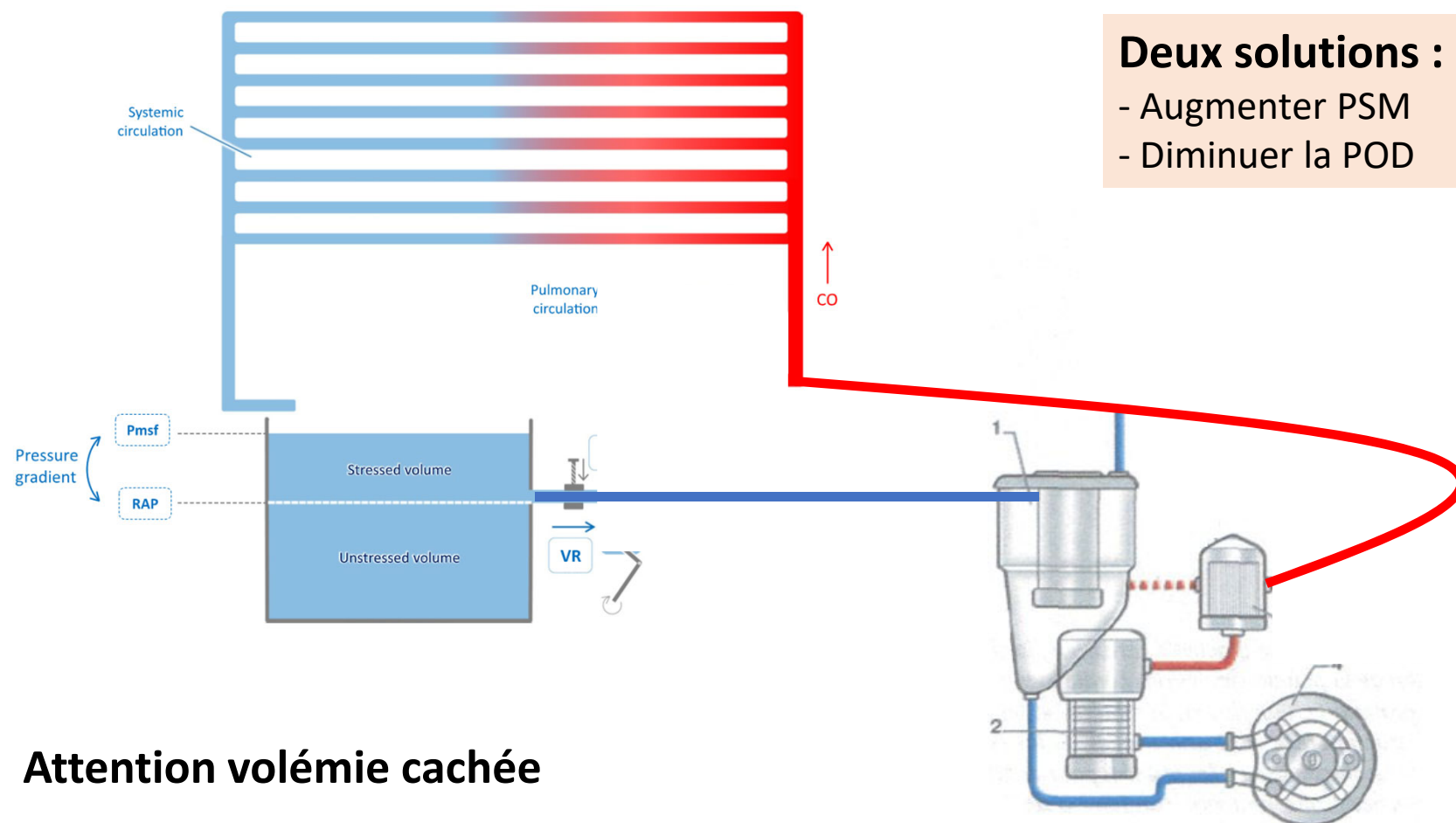


B. Afore adjustment of inflow conduit



# Retour Veineux et CEC

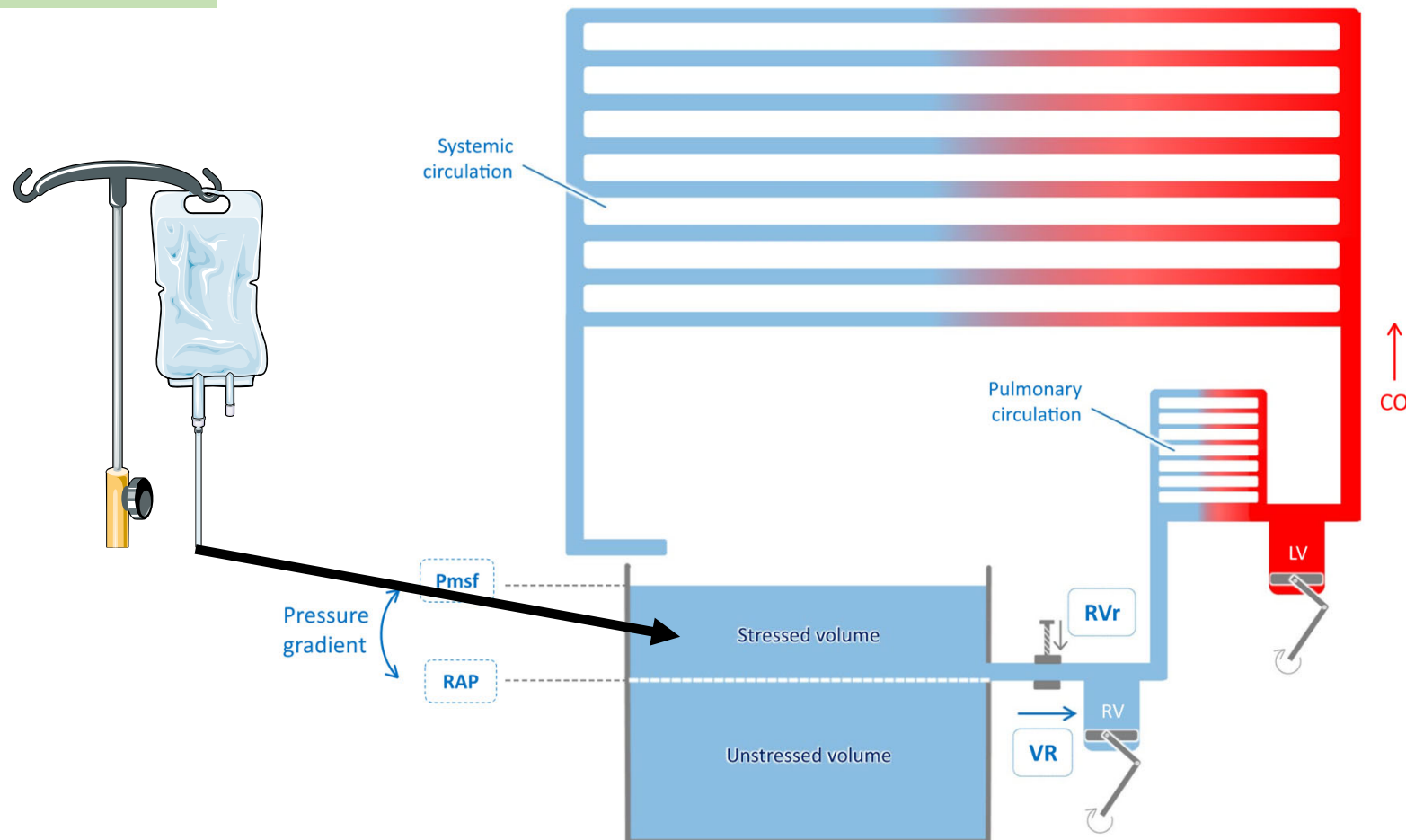
## Drainage veineux en CEC



# Retour Veineux – Théorie de Guyton

Comment améliorer le retour veineux ?

## Remplissage vasculaire



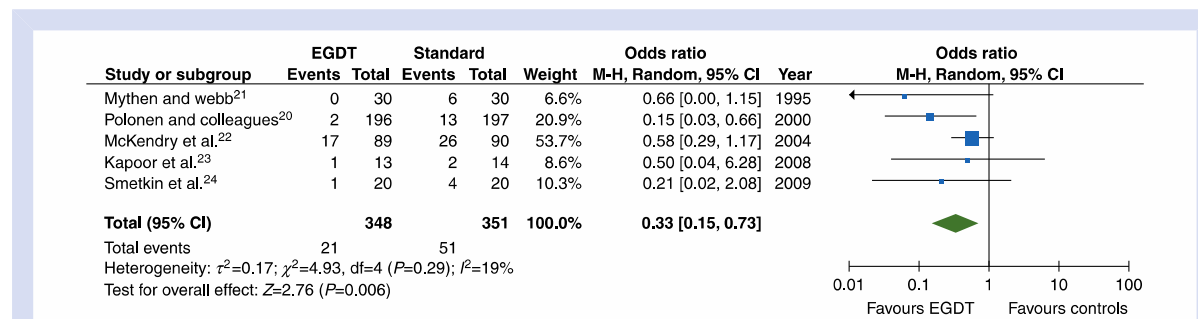
# Retour Veineux et CEC

## Drainage veineux

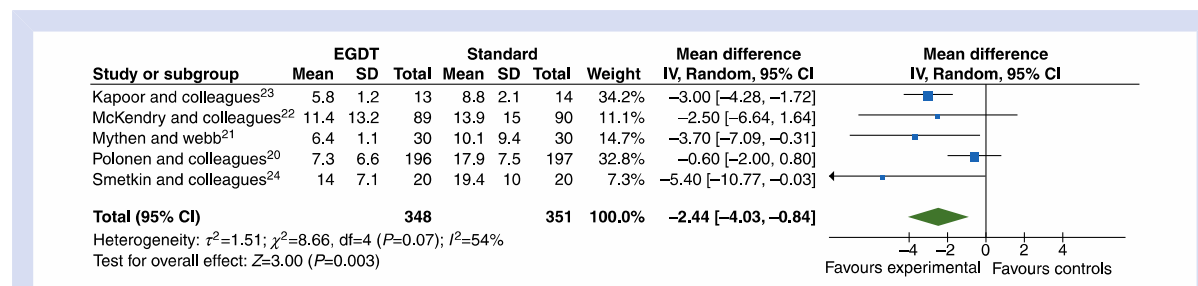
### REVIEW ARTICLES

## Goal-directed therapy in cardiac surgery: a systematic review and meta-analysis

H. D. Aya, M. Cecconi\*, M. Hamilton and A. Rhodes



**Fig 3** Forest plot showing the effect of early goal-directed therapy (EGDT) on postoperative complications rate vs control group. M-H, Mantel–Haenszel.



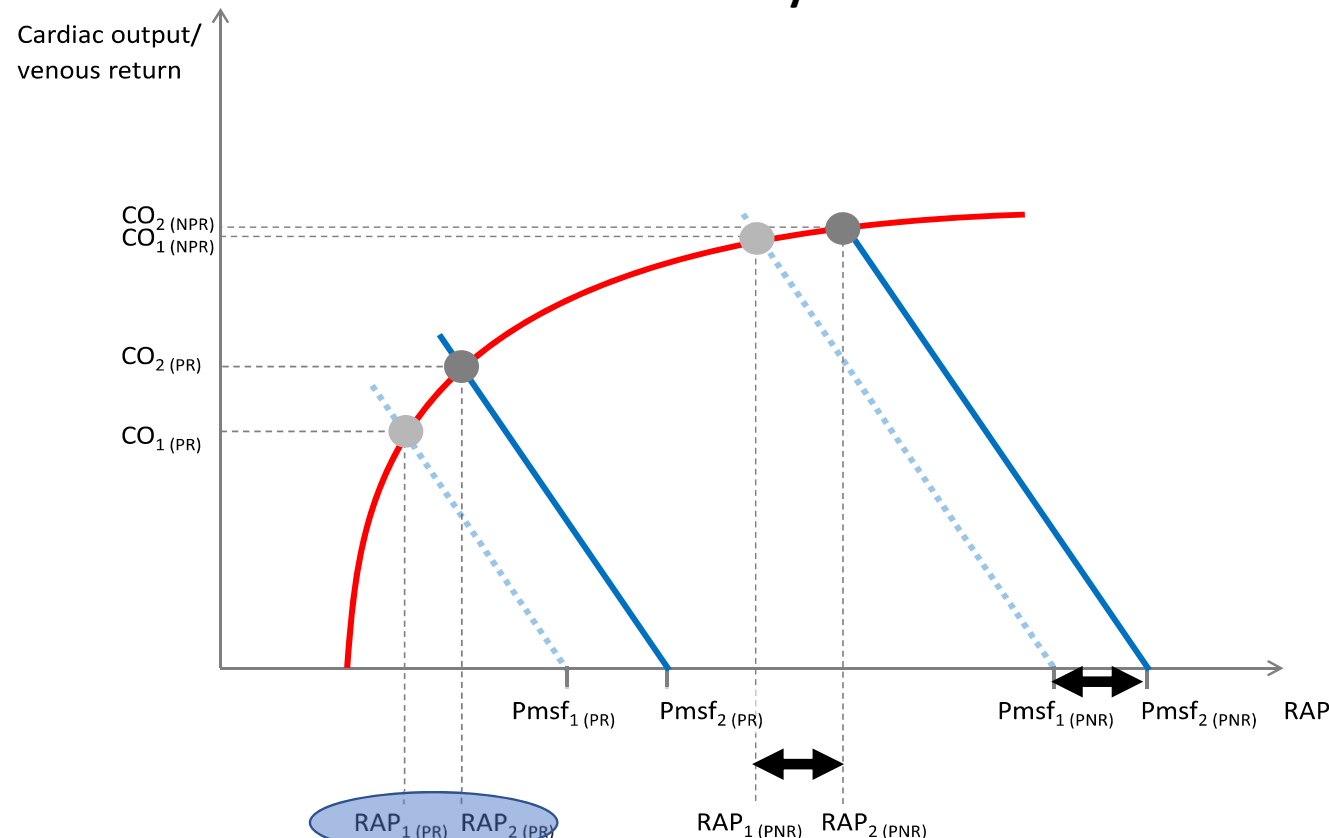
**Fig 4** Forest plot showing the effect of early goal-directed therapy (EGDT) on hospital length of stay (LOS) vs control group. IV, inverse of variance. Data obtained by direct contact with author.

# Retour Veineux – Théorie de Guyton

Comment améliorer le retour veineux ?

## Remplissage vasculaire

Intérêt d'analyser évolution PVC durant le remplissage

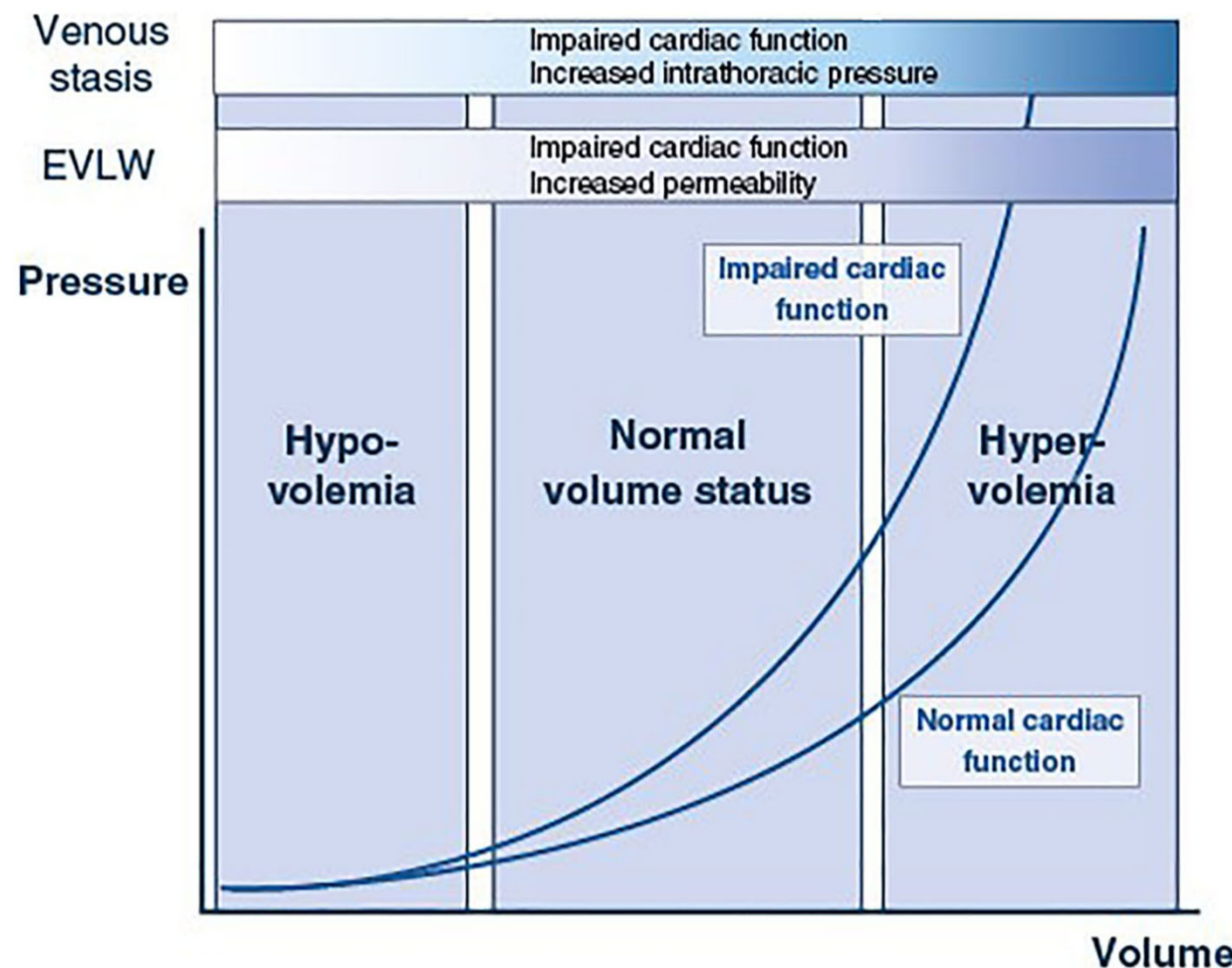


Précharge dépendance

Pas de Précharge dépendance

## Retour Veineux – Théorie de Guyton

Comment améliorer le retour veineux ?

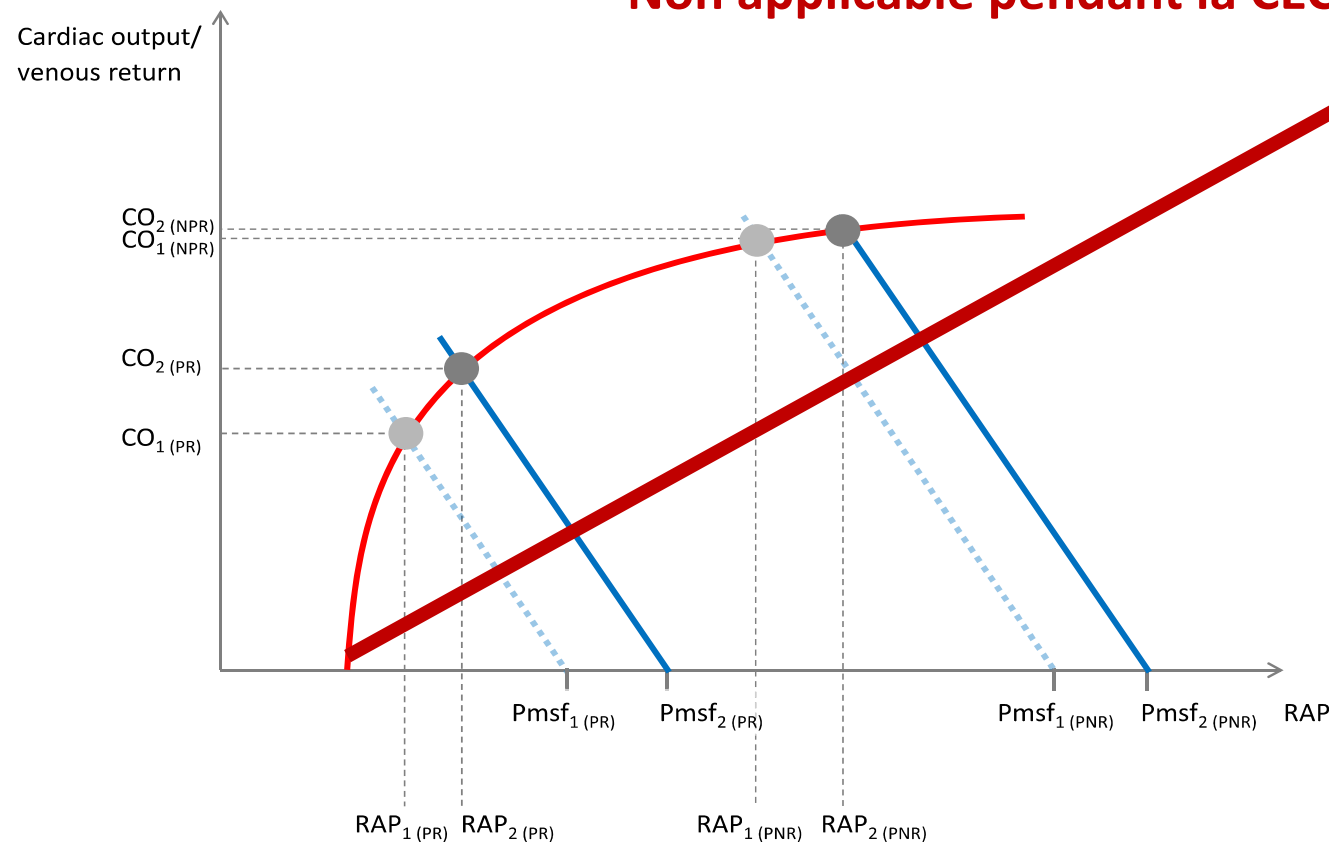


# Retour Veineux – Théorie de Guyton

Comment améliorer le retour veineux ?

## Remplissage vasculaire

Non applicable pendant la CEC



Remplissage vasculaire = pas une solution systématique

# Retour Veineux – Théorie de Guyton

## Comment améliorer le retour veineux ?

RESEARCH

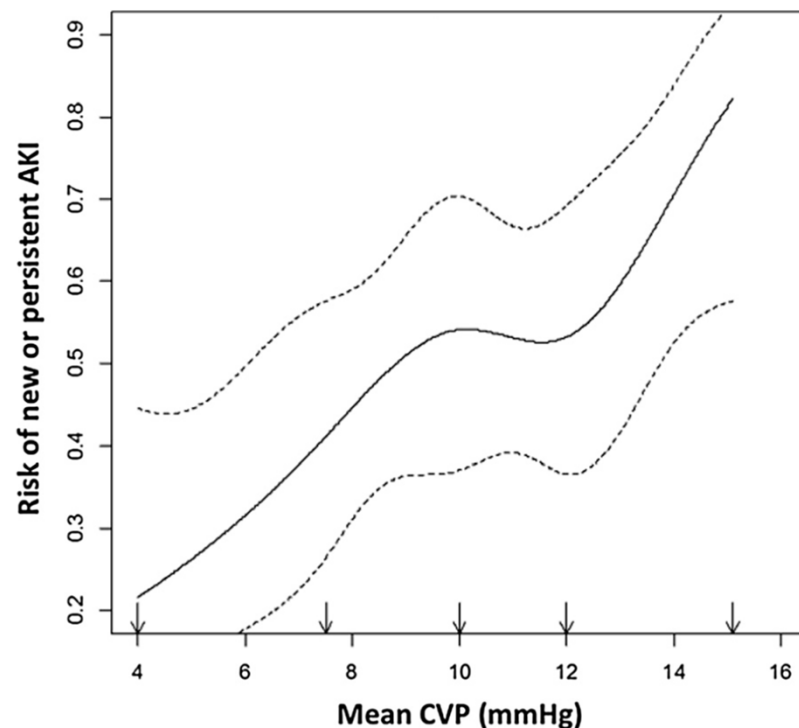
Open Access

Association between systemic hemodynamics and septic acute kidney injury in critically ill patients: a retrospective observational study



CRITICAL CARE

Matthieu Legrand<sup>1,2\*</sup>, Claire Dupuis<sup>1</sup>, Christelle Simon<sup>1</sup>, Etienne Gayat<sup>1,3</sup>, Joaquim Mateo<sup>1</sup>, Anne-Claire Lukaszewicz<sup>1,2,4</sup> and Didier Payen<sup>1,2,4</sup>



N = 137 patients

## Congestion veineuse

Legrand et al. Critical Care 2013, 17:R278

# Retour Veineux – Théorie de Guyton

## Comment améliorer le retour veineux ?

Research

Open Access

### A positive fluid balance is associated with a worse outcome in patients with acute renal failure

Didier Payen<sup>1</sup>, Anne Cornélie de Pont<sup>2</sup>, Yasser Sakr<sup>3</sup>, Claudia Spies<sup>4</sup>, Konrad Reinhart<sup>3</sup>, Jean Louis Vincent<sup>5</sup> for the Sepsis Occurrence in Acutely Ill Patients (SOAP) Investigators

## FRD de mortalité

### Hazard ratios: results of multivariate Cox regression analysis for 60-day mortality in critically ill patients with acute renal failure

Characteristic	Hazard ratio	95% CI	P value
Age	1.02	1.01–1.03	<0.001
SAPS II (per point)	1.03	1.02–1.04	<0.001
Heart failure	1.38	1.05–1.81	0.02
Medical admission	1.68	1.35–2.08	<0.001
Mean fluid balance, L/24 hours	1.21	1.13–1.28	<0.001
Mechanical ventilation	1.55	1.14–2.11	<0.001
Liver cirrhosis	2.73	1.88–3.95	<0.001

CI, confidence interval; SAPS II, Simplified Acute Physiology Score II.

# Retour Veineux – Théorie de Guyton

## Comment améliorer le retour veineux ?

Research Article

### The Effect of Fluid Overload on Attributable Morbidity after Cardiac Surgery: A Retrospective Study

Vildan Koc, Laura Delmas Benito, Eldert de With, and E. Christiaan Boerma 

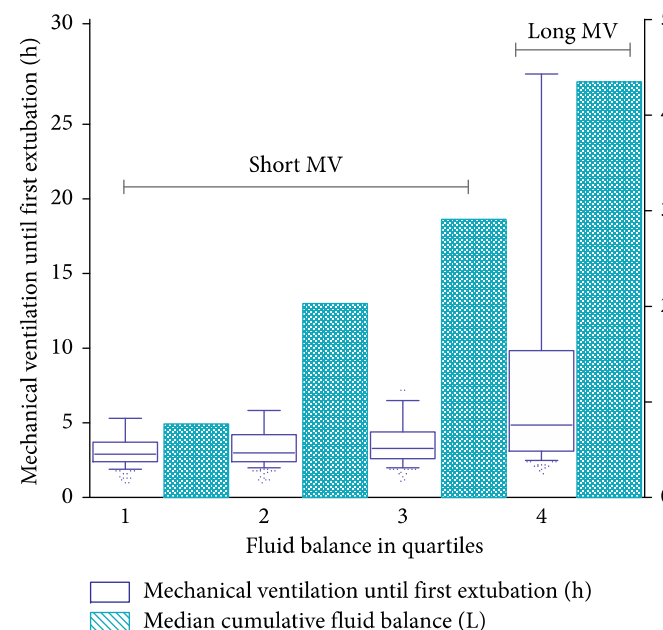


FIGURE 1: Fluid balance and duration of mechanical ventilation.

**Balance hydrique**  
=

**Augmentation durée de séjour et ventilation mécanique**

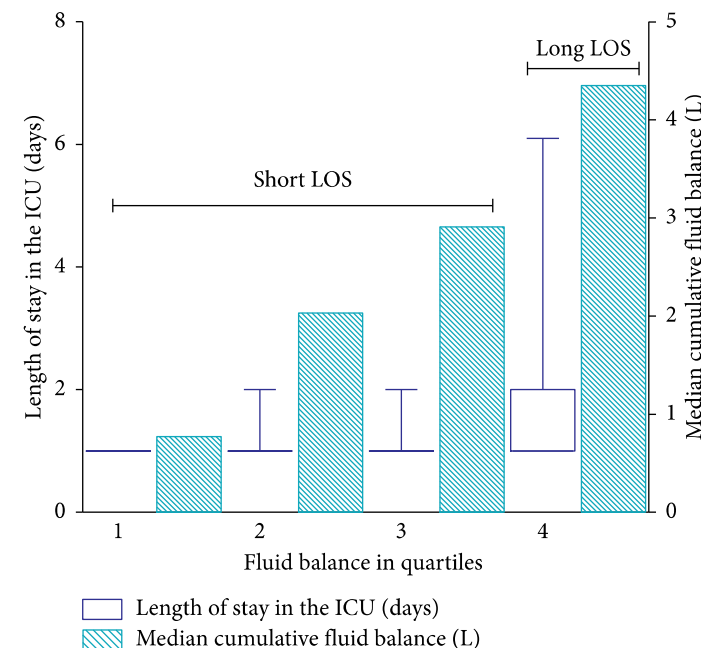


FIGURE 2: Fluid balance and length of stay (LOS) in the ICU.

# Retour Veineux – Théorie de Guyton

## Comment améliorer le retour veineux ?

Intraoperative fluid balance and cardiac surgery-associated acute kidney injury: a multicenter prospective study

Henrique Palomba <sup>ID a</sup>, Ricardo E. Tremi <sup>ID b</sup>, Túlio Caldonazo <sup>ID c</sup>,  
Henrique T. Katayama <sup>ID d</sup>, Breno C. Gomes <sup>ID e</sup>, Luiz M.S. Malbouisson <sup>ID d</sup>,  
João Manoel Silva Junior <sup>ID d,\*</sup>

Brazilian Journal of ANESTHESIOLOGY

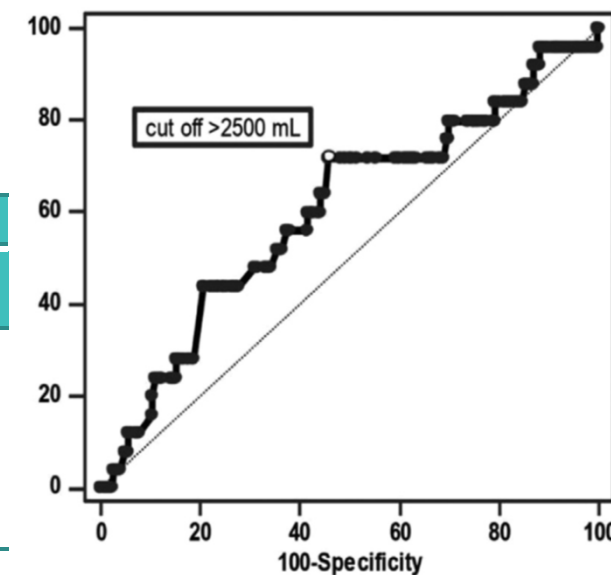
N = 360

**Table 2** Outcomes summary.

	Original Cohort			Matched Cohort			
	RFB (n = 257)	LFB (n = 329)	p-value	RFB (n = 180)	LFB (n = 180)	RR (95% CI)	p-value
CSA-AKI (%)	209 (37.9%)	207 (35%)	0.32	61 (33.9%)	53 (29.4%)	1.15 (0.85–1.56)	0.36 <sup>a</sup>
Creatinine (mg.dL <sup>-1</sup> ) median (IQR) <sup>c</sup>	1 (0.9–2.2)	1.3 (0.8–2.1)	0.56	1.3 (1.2–2.4)	1.4 (1.3–2.7)		0.24 <sup>b</sup>
Urinary output (mL) median (IQR) <sup>d</sup>				650 (30–2765)	1337.5 (1000–2235)		0.001 <sup>b</sup>
In-hospital mortality	53 (9.0%)	66 (12%)	0.10	7 (3.9%)	18 (10.0%)	2.6 (1.10–6.0)	0.02 <sup>a</sup>
Cardiovascular complications, n (%)	190 (34.4%)	270 (45.7%)	< 0.001	63 (35.0%)	96 (53.3%)	1.52 (1.19–1.94)	0.0006 <sup>a</sup>
ICU-LOS (d), median (IQR)	2 (1–4)	2 (1–4)	0.59	3 (1–4)	2 (1–4)	–	0.29 <sup>b</sup>
H-LOS (d), median (IQR)	17 (11–26)	16 (9–25)	0.30	15 (9–23.75)	22 (13–30.75)	–	0.01 <sup>b</sup>

Etude observationnelle, prospective, multicentrique

Liberal vs restrictif  
Score de propension



# Retour Veineux – Théorie de Guyton

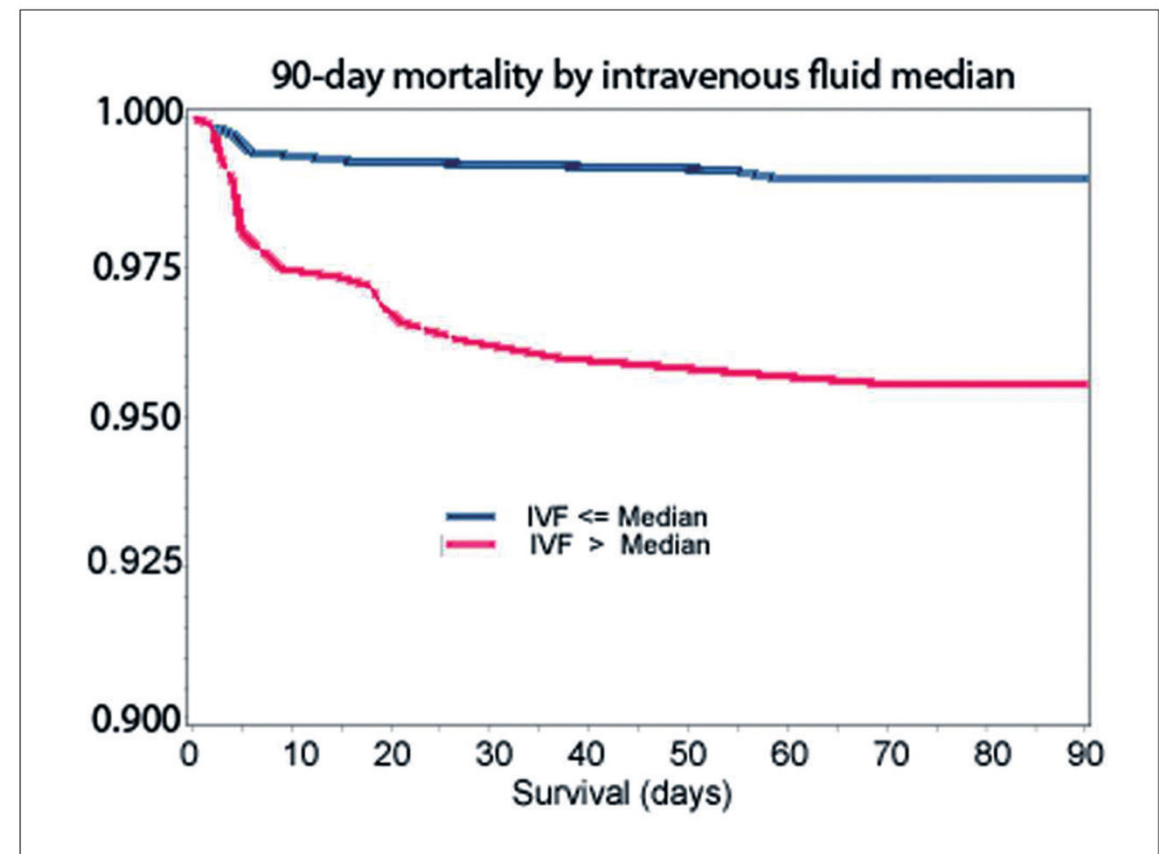
## Comment améliorer le retour veineux ?

**High volumes of intravenous fluid during cardiac surgery are associated with increased mortality**

A. Pradeep<sup>1</sup>, S. Rajagopalam<sup>2</sup>, H.K. Kolli<sup>1</sup>, N. Patel<sup>1</sup>, R. Venuto<sup>1</sup>, J. Lohr<sup>1</sup>, N.D. Nader<sup>1</sup>

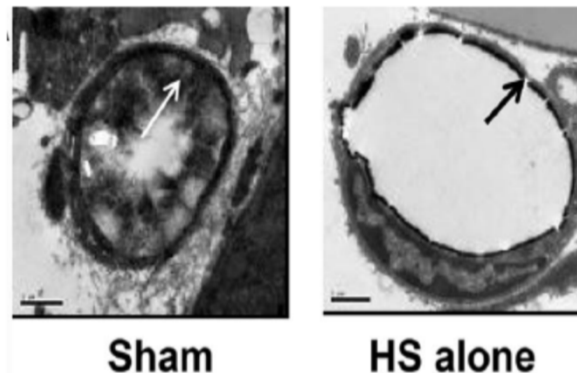
<sup>1</sup>University at Buffalo (SUNY); <sup>2</sup>Med. Data Analytics, Buffalo, NY

**Etude rétrospective  
N = 1358**



## Retour Veineux et CEC Drainage veineux

Stress (*chirurgie ou trauma*)  
TNF  $\alpha$  (*Inflammation*)  
ANP (*Hypervolémie aiguë*)  
Ischémie-reperfusion  
Oxydation LDL cholestérol



→ Lésions du glycocalyx

Fuite capillaire de type 2 avec anomalies de l'endothélium

*Modifications du pouvoir d'expansion volémique des cristalloïdes et des colloïdes et majoration de l'œdème interstitiel*



→ **Œdèmes périphériques**

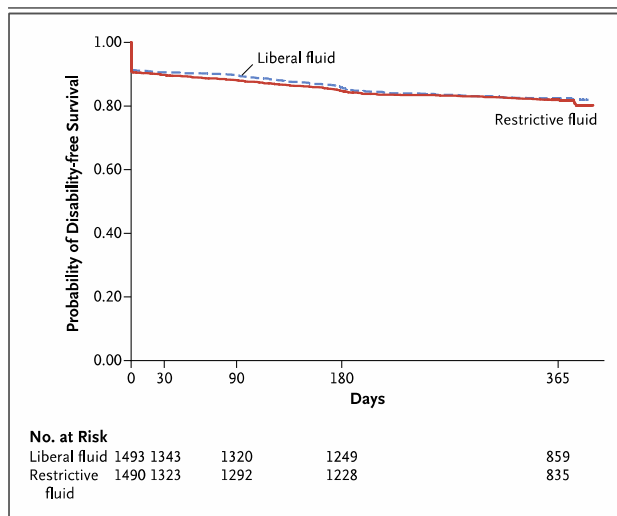
# Retour Veineux – Théorie de Guyton

## Comment améliorer le retour veineux ?

ORIGINAL ARTICLE

### Restrictive versus Liberal Fluid Therapy for Major Abdominal Surgery

P.S. Myles, R. Bellomo, T. Corcoran, A. Forbes, P. Peyton, D. Story, C. Christophi, K. Leslie, S. McGuinness, R. Parke, J. Serpell, M.T.V. Chan, T. Painter, S. McCluskey, G. Minto, and S. Wallace, for the Australian and New Zealand College of Anaesthetists Clinical Trials Network and the Australian and New Zealand Intensive Care Society Clinical Trials Group\*



**Figure 1.** Probability of Freedom from Death or Persistent Disability 1 Year after Surgery.

Outcome	Restrictive Fluid (N=1490)	Liberal Fluid (N=1493)	Hazard or Risk Ratio (95% CI)†	P Value
<b>Secondary outcomes§</b>				
Composite septic outcome or death — no./total no. (%)¶	323/1481 (21.8)	295/1487 (19.8)	1.10 (0.96–1.27)	0.19
Surgical-site infection — no./total no. (%)	245/1481 (16.5)	202/1487 (13.6)	1.22 (1.03–1.45)	0.02
Sepsis — no./total no. (%)	157/1481 (10.6)	129/1487 (8.7)	1.22 (0.98–1.52)	0.08
Anastomotic leak — no./total no. (%)	49/1481 (3.3)	35/1487 (2.4)	1.41 (0.92–2.16)	0.12
Pneumonia — no./total no. (%)	54/1481 (3.6)	57/1487 (3.8)	0.95 (0.66–1.37)	0.79
Acute kidney injury — no./total no. (%)**	124/1443 (8.6)	72/1439 (5.0)	1.71 (1.29–2.27)	<0.001

NS

# Retour Veineux – Théorie de Guyton

# Comment améliorer le retour veineux ?

BJA

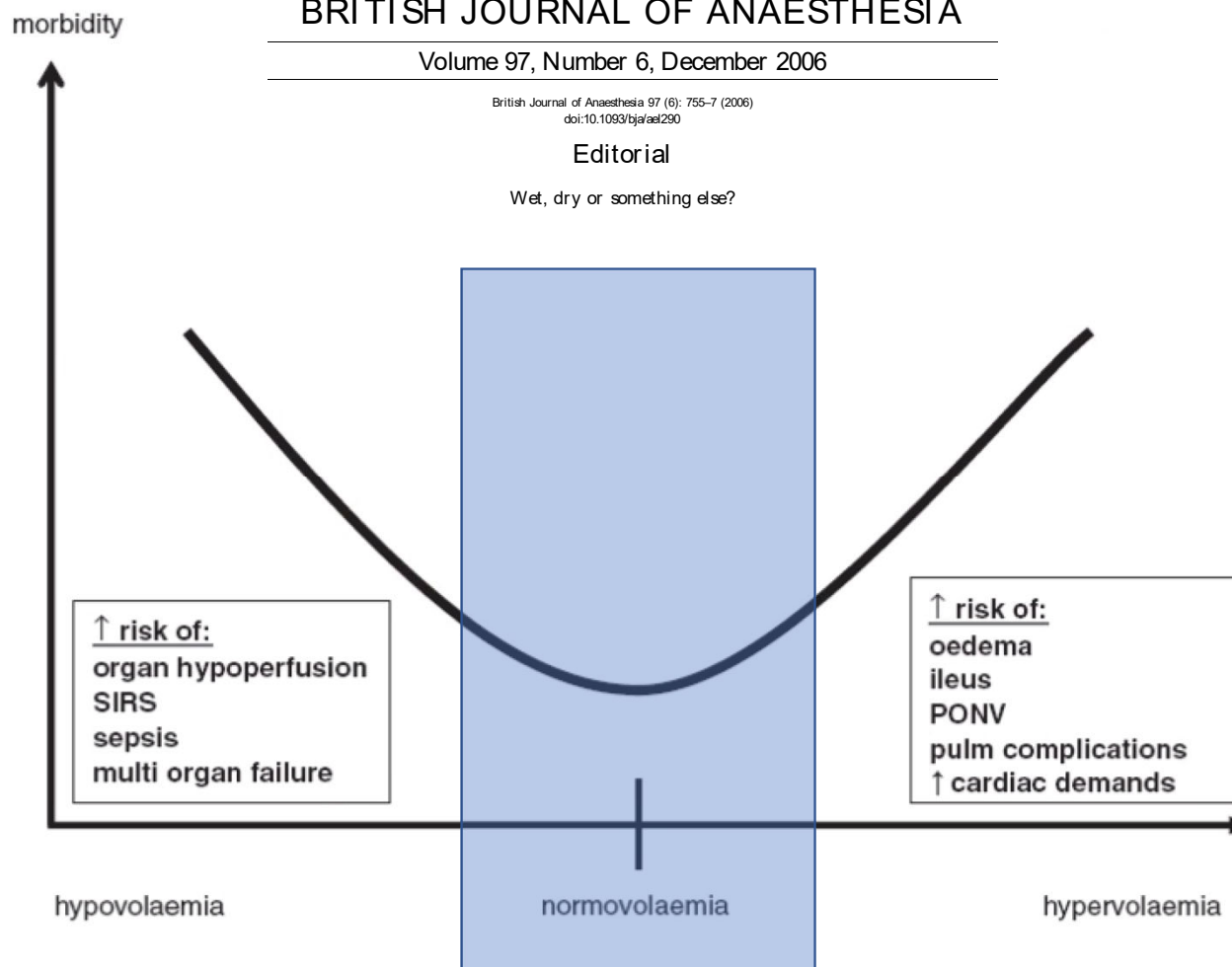
"I would have everie man write what he knowes and no more." —Montaigne

BRITISH JOURNAL OF ANAESTHESIA

Volume 97, Number 6, December 2006

British Journal of Anaesthesia 97 (6): 755–7 (2006);  
doi:10.1093/bja/ael290

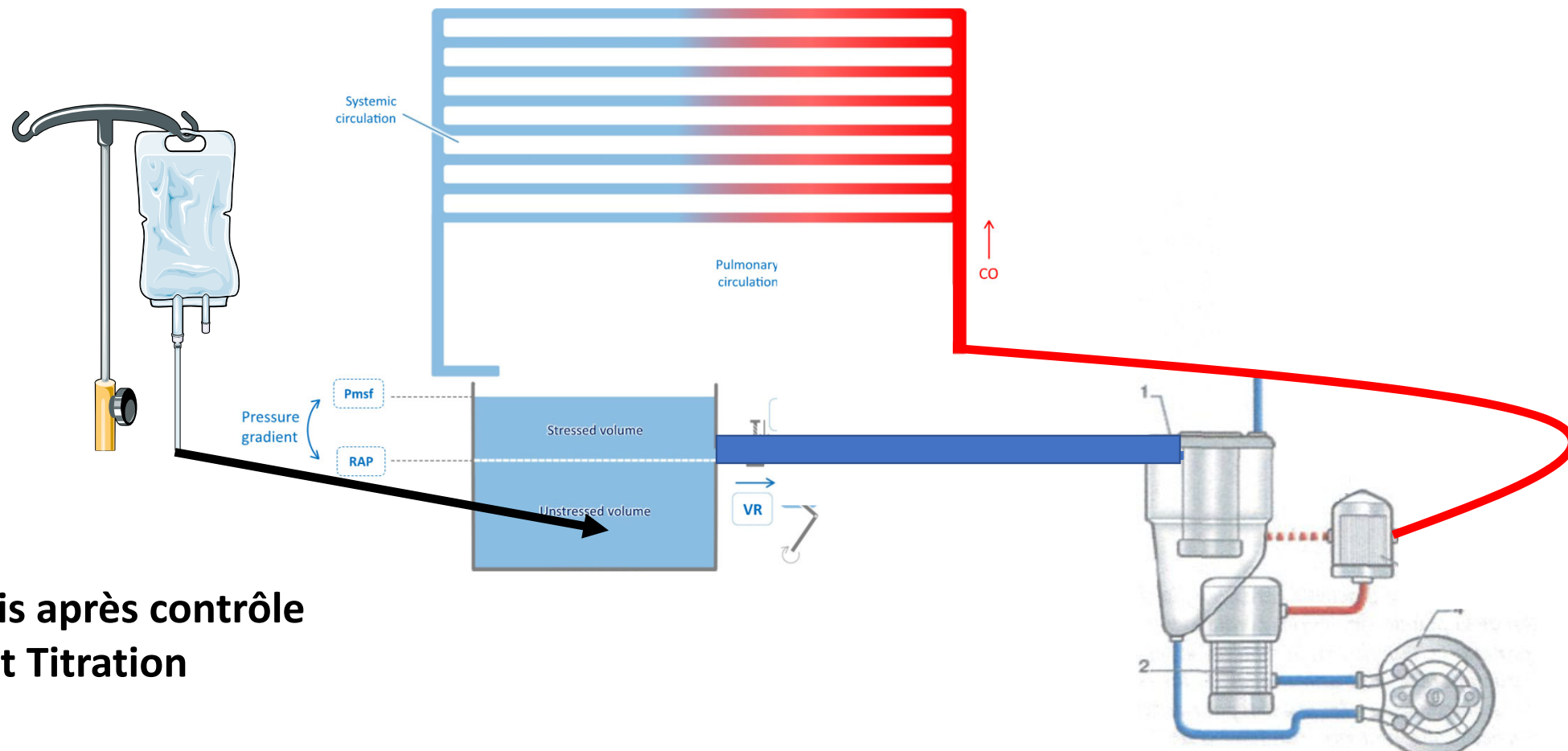
Wet, dry or something else?



# Retour Veineux et CEC

## Drainage veineux en CEC

### Remplissage vasculaire

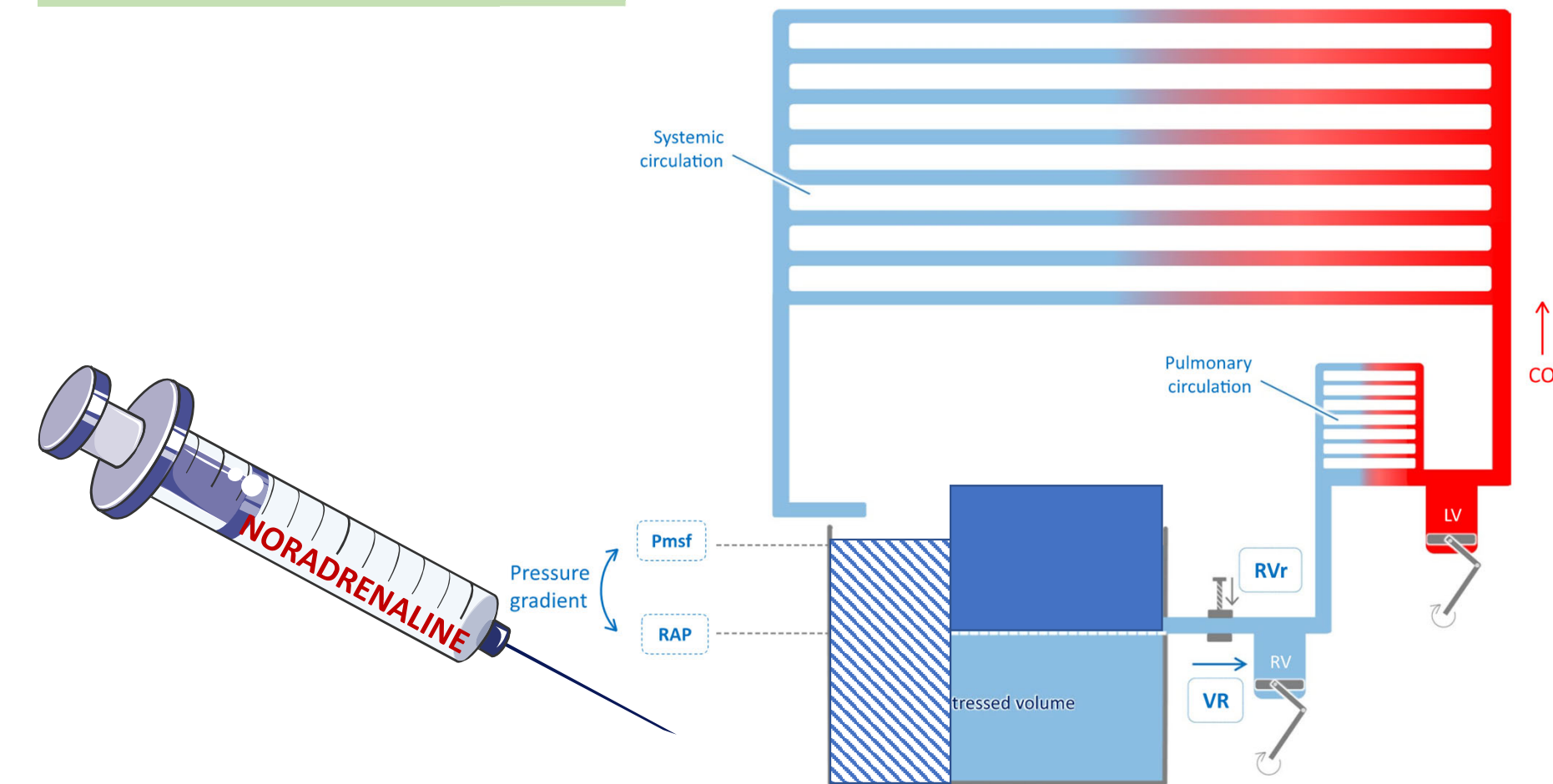


Oui mais après contrôle  
Et Titration

# Retour Veineux – Théorie de Guyton

Comment améliorer le retour veineux ?

Revisiter le rôle des vasopresseurs

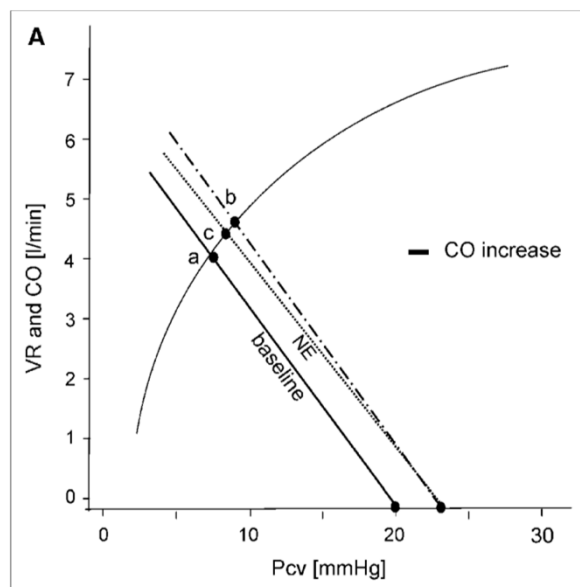


# Retour Veineux – Théorie de Guyton

## Comment améliorer le retour veineux

### Cardiac Output Response to Norepinephrine in Postoperative Cardiac Surgery Patients: Interpretation With Venous Return and Cardiac Function Curves\*

Jacinta J. Maas, MD<sup>1</sup>; Michael R. Pinsky, MD, MCCM<sup>2</sup>; Rob B. de Wilde, PhD<sup>1</sup>; Evert de Jonge, MD, PhD<sup>1</sup>; Jos R. Jansen, MS, PhD<sup>1</sup>



Patients with CO increase after NE Group A ( $n = 6$ )

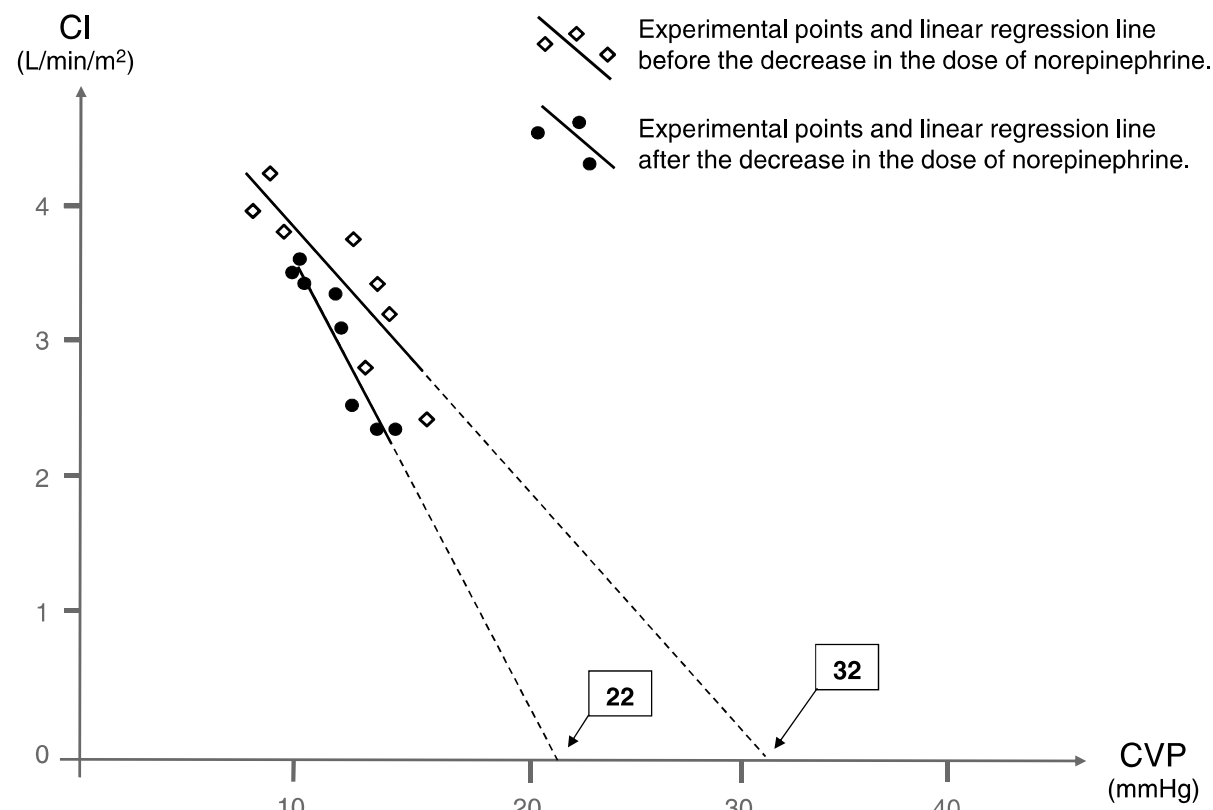
MAP (mm Hg)	$81.65 \pm 13.67$	$98.41 \pm 10.68$	$85.14 \pm 19.27$	0.010
HR (min <sup>-1</sup> )	$73.2 \pm 17.0$	$72.7 \pm 16.1^h$	$73.0 \pm 16.1$	0.419
CO (L·min <sup>-1</sup> )	$4.06 \pm 0.93$	$4.31 \pm 0.86^d$	$4.16 \pm 0.80$	0.004
SV (mL)	$57.5 \pm 16.9$	$61.4 \pm 16.8$	$59.2 \pm 17.1$	0.001
PCV (mm Hg)	$7.57 \pm 2.30$	$8.03 \pm 2.68^e$	$7.37 \pm 2.25$	0.064
PMSF (mm Hg)	$19.80 \pm 5.27$	$23.57 \pm 4.62$	$19.22 \pm 4.40$	0.014
PVR (mm Hg)	$12.23 \pm 4.36$	$15.55 \pm 4.34$	$11.85 \pm 4.02$	0.024
RVR (mm Hg·min·L <sup>-1</sup> )	$2.97 \pm 0.57$	$3.58 \pm 0.64^{cf}$	$2.82 \pm 0.73$	0.026
RSYS (mm Hg·min·L <sup>-1</sup> )	$18.83 \pm 5.01$	$21.54 \pm 4.36^g$	$18.97 \pm 5.07$	0.022
RVR/RSYS (%)	$16.7 \pm 6.0$	$17.1 \pm 4.3$	$15.2 \pm 3.4$	0.355
SVV (%)	$14.4 \pm 4.2^a$	$11.9 \pm 2.7^b$	$14.9 \pm 3.7^a$	0.009

# Retour Veineux – Théorie de Guyton

## Comment améliorer le retour veineux ?

Effects of norepinephrine on mean systemic pressure and venous return in human septic shock\*

Romain Persichini, MD; Serena Silva, MD; Jean-Louis Teboul, MD, PhD; Mathieu Jozwiak, MD; Denis Chemla, MD, PhD; Christian Richard, MD; Xavier Monnet, MD, PhD



# Retour Veineux – Théorie de Guyton

## Comment améliorer le retour veineux ?

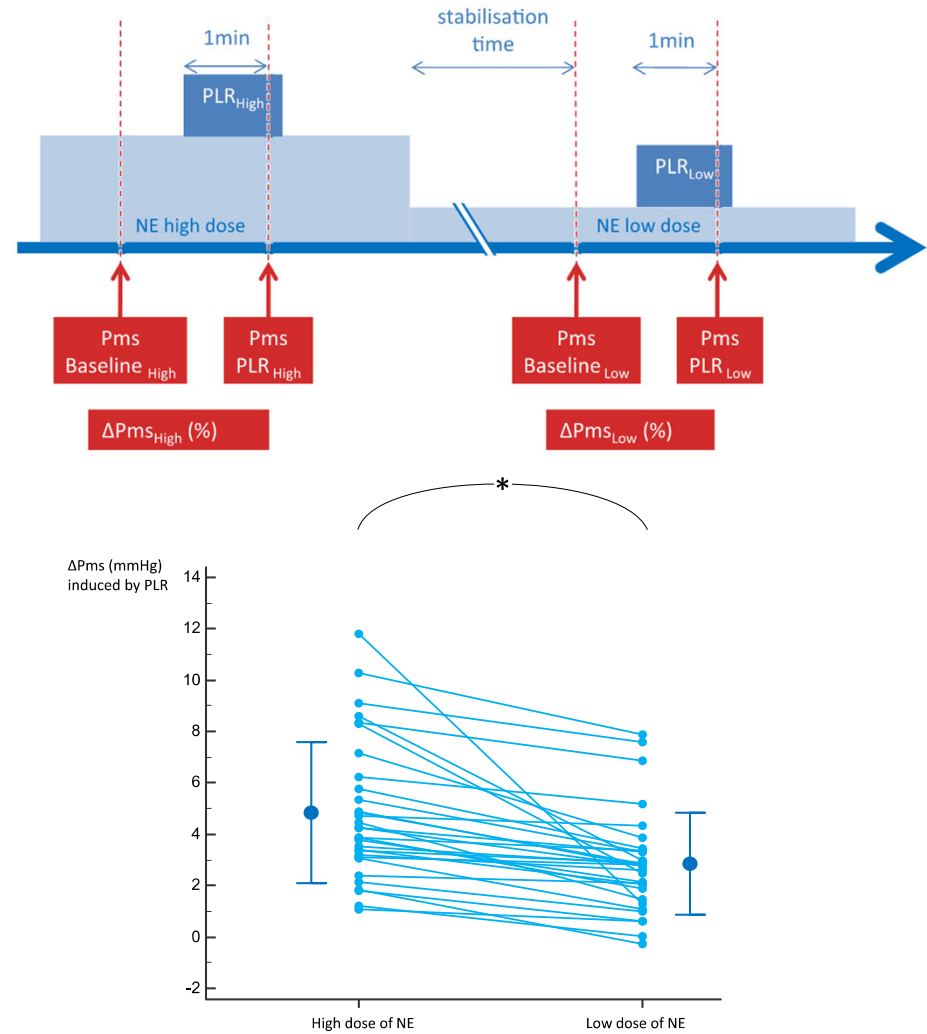
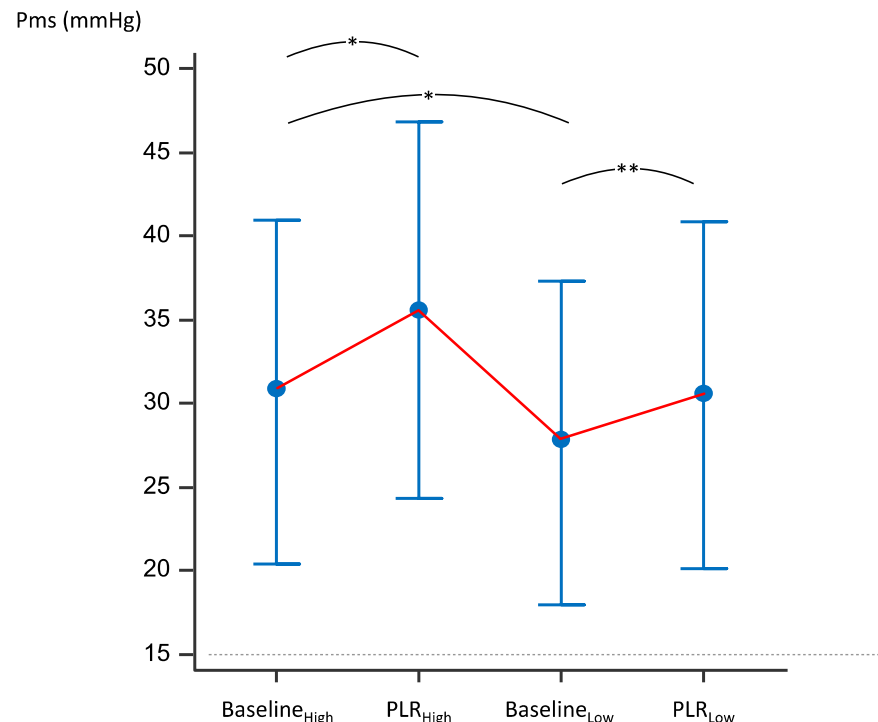
RESEARCH

Open Access



### Norepinephrine potentiates the efficacy of volume expansion on mean systemic pressure in septic shock

Imane Adda\*, Christopher Lai, Jean-Louis Teboul, Laurent Guerin, Francesco Gavelli and Xavier Monnet



# Retour Veineux – Théorie de Guyton

## Comment améliorer le retour veineux ?

JAMA | Original Investigation | CARING FOR THE CRITICALLY ILL PATIENT

### Effect of Individualized vs Standard Blood Pressure Management Strategies on Postoperative Organ Dysfunction Among High-Risk Patients Undergoing Major Surgery A Randomized Clinical Trial

Emmanuel Futier, MD, PhD; Jean-Yves Lefrant, MD, PhD; Pierre-Gregoire Guinot, MD, PhD; Thomas Godet, MD, PhD; Emmanuel Lorne, MD; Philippe Cuvillon, MD, PhD; Sébastien Bertran, MD; Marc Leone, MD, PhD; Bruno Pastene, MD; Vincent Piriou, MD, PhD; Serge Mollieux, MD, PhD; Jacques Albanese, MD, PhD; Jean-Michel Julia, MD; Benoit Tavernier, MD, PhD; Etienne Imhoff, MD; Jean-Etienne Bazin, MD, PhD; Jean-Michel Constantin, MD, PhD; Bruno Pereira, PhD; Samir Jaber, MD, PhD; for the INPRESS Study Group

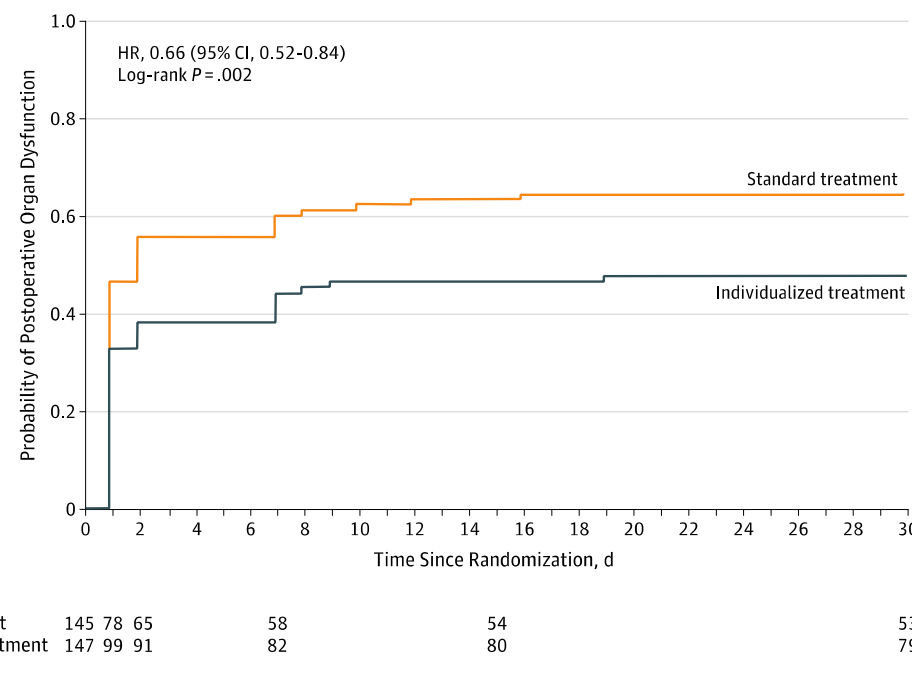
**298 patients randomisés**

Pour tous : Optimisation du VES avec monitorage

Table 2. Clinical Management of Patients During the Intervention Period, Including During Surgery and for 4 Hours Following Surgery<sup>a</sup>

Variable	Individualized Treatment (n = 147)	Standard Treatment (n = 145)	P Value
Cumulative volume of crystalloid, median (IQR), mL	2275 (1600-3000)	2500 (1825-3225)	.09
During surgery	1500 (1000-2000)	2000 (1500-2500)	<.001
During 4 h following surgery	750 (500-1000)	600 (500-1000)	.54

Figure 3. Kaplan-Meier Estimates of the Probability of Postoperative Organ Dysfunction by Day 30 After Surgery



# Retour Veineux – Théorie de Guyton

## Comment améliorer le retour veineux ?

RESEARCH

Open Access



### Effects of very early start of norepinephrine in patients with septic shock: a propensity score-based analysis

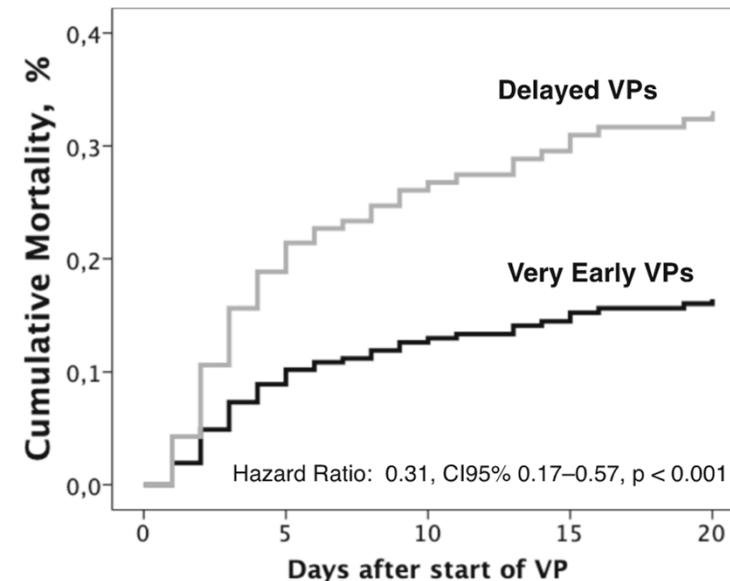
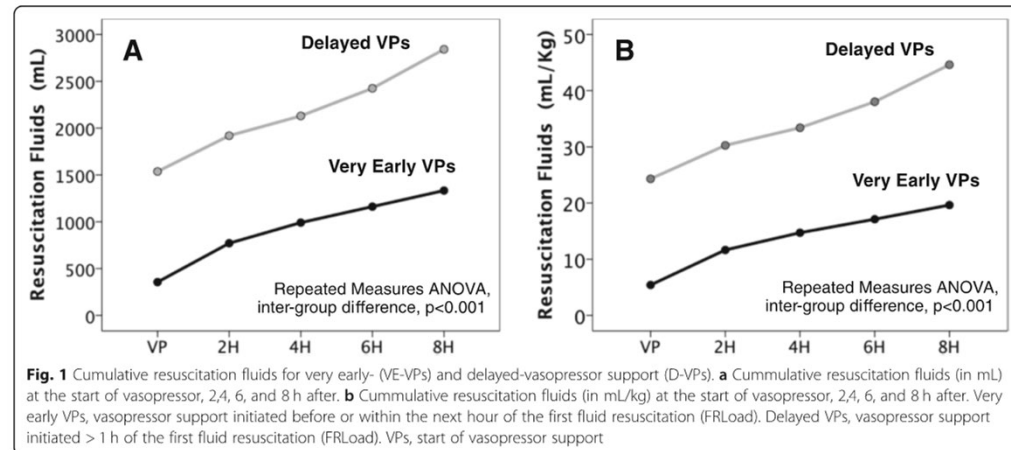
Gustavo A. Ospina-Tascón<sup>1,2\*</sup>, Glenn Hernandez<sup>3</sup>, Ingrid Alvarez<sup>1</sup>, Luis E. Calderón-Tapia<sup>1</sup>, Ramiro Manzano-Nunez<sup>1</sup>, Alvaro I. Sánchez-Ortiz<sup>1</sup>, Egardo Quiñones<sup>1</sup>, Juan E. Ruiz-Yucuma<sup>1</sup>, José L. Aldana<sup>1,2</sup>, Jean-Louis Teboul<sup>4</sup>, Alexandre Biasi Cavalcanti<sup>5</sup>, Daniel De Backer<sup>6</sup> and Jan Bakker<sup>3,7,8,9</sup>

### Etude prospective – Score de propension

N = 93 / Groupe

**Table 2** Multivariate Cox regression for 28-day mortality (propensity-matched population:  $n = 186$ )

	HR	95% CI	p
Net fluid balance	1.00	1.00–1.00	< 0.001
Steroids use*	4.66	1.94–11.18	0.001
Hyperlactatemia**	3.61	1.41–9.22	0.007
VE-VPs	0.31	0.17–0.57	< 0.001



# Retour Veineux – Théorie de Guyton

## Comment améliorer le retour veineux ?

### ORIGINAL ARTICLE

#### Preload dependency determines the effects of phenylephrine on cardiac output in anaesthetised patients

A prospective observational study

Olivier Rebet, Olivier Andremont, Jean-Louis Gérard, Jean-Luc Fellahi, Jean-Luc Hanouz  
and Marc-Olivier Fischer

**Bolus de Néo : 50 à 150 µg**

PAS < 90 mmHg ou PAM < 60 mmHg

2 groupes : précharge dépendance

**Table 3 Effect of phenylephrine on haemodynamic values in the preload-dependent and independent groups**

	Preload-dependent ( <i>n</i> = 27)		<i>P</i> value	Preload-independent ( <i>n</i> = 23)		<i>P</i> value
	Before phenylephrine	After phenylephrine		Before phenylephrine	After phenylephrine	
HR (min <sup>-1</sup> )	79 (17)	72 (16)	<0.0001	62 (14)	56 (14)	0.001
SAP (mmHg)	78 (9)	108 (15)	<0.0001	89 (15)	119 (20)	<0.001
MAP (mmHg)	57 (6)	78 (12)	<0.0001	60 (8)	80 (14)	<0.001
DAP (mmHg)	46 (7)	62 (12)	<0.0001	45 (9)	64 (15)	<0.001
PPV (%)	17 (15; 19)	14 (12; 16)	<0.0003	8 (7; 11)	8 (6; 11)	0.85
CI (l min <sup>-1</sup> m <sup>-2</sup> )	2.1 (1.8; 3.5)	2.1 (1.8; 3.3)	0.168	2.3 (1.9; 3.7)	1.8 (1.5; 2.7)	0.0001
SV (ml)	49 (41; 67)	53 (41; 69)	0.191	65 (44; 81)	56 (39; 66)	<0.001
Peak velocity (cm s <sup>-1</sup> )	50 (41; 71)	45 (40; 65)	<0.001	56 (40; 72)	48 (34; 62)	<0.001
FTc (ms)	294 (47)	306 (56)	0.031	319 (87)	304 (87)	0.0005
SVRI (dyn s cm <sup>-5</sup> m <sup>-2</sup> )	2019 (1255; 2540)	2781 (1907; 3854)	0.0001	1809 (1394; 2445)	3067 (2587; 3689)	<0.0001

Values are mean (SD) or median (25th; 75th). CI, cardiac index; DAP, diastolic arterial pressure; FTc, flow time corrected; HR, heart rate; MAP, mean arterial pressure; PPV, pulse pressure variations; SAP, systolic arterial pressure; SV, stroke volume; SVRI, systemic vascular resistance index.

# Retour Veineux – Théorie de Guyton

## Comment améliorer le retour veineux ?

British Journal of Anaesthesia 107 (2): 209–17 (2011)  
Advance Access publication 3 June 2011 · doi:10.1093/bja/aer150

### NEUROSCIENCES AND NEUROANAESTHESIA

#### Effect of phenylephrine and ephedrine bolus treatment on cerebral oxygenation in anaesthetized patients

L. Meng<sup>1\*</sup>, M. Cannesson<sup>1</sup>, B. S. Alexander<sup>1</sup>, Z. Yu<sup>2</sup>, Z. N. Kain<sup>1</sup>, A. E. Cerussi<sup>3</sup>, B. J. Tromberg<sup>3</sup> and W. W. Mantulin<sup>3</sup>

Baisse 20% de la TA

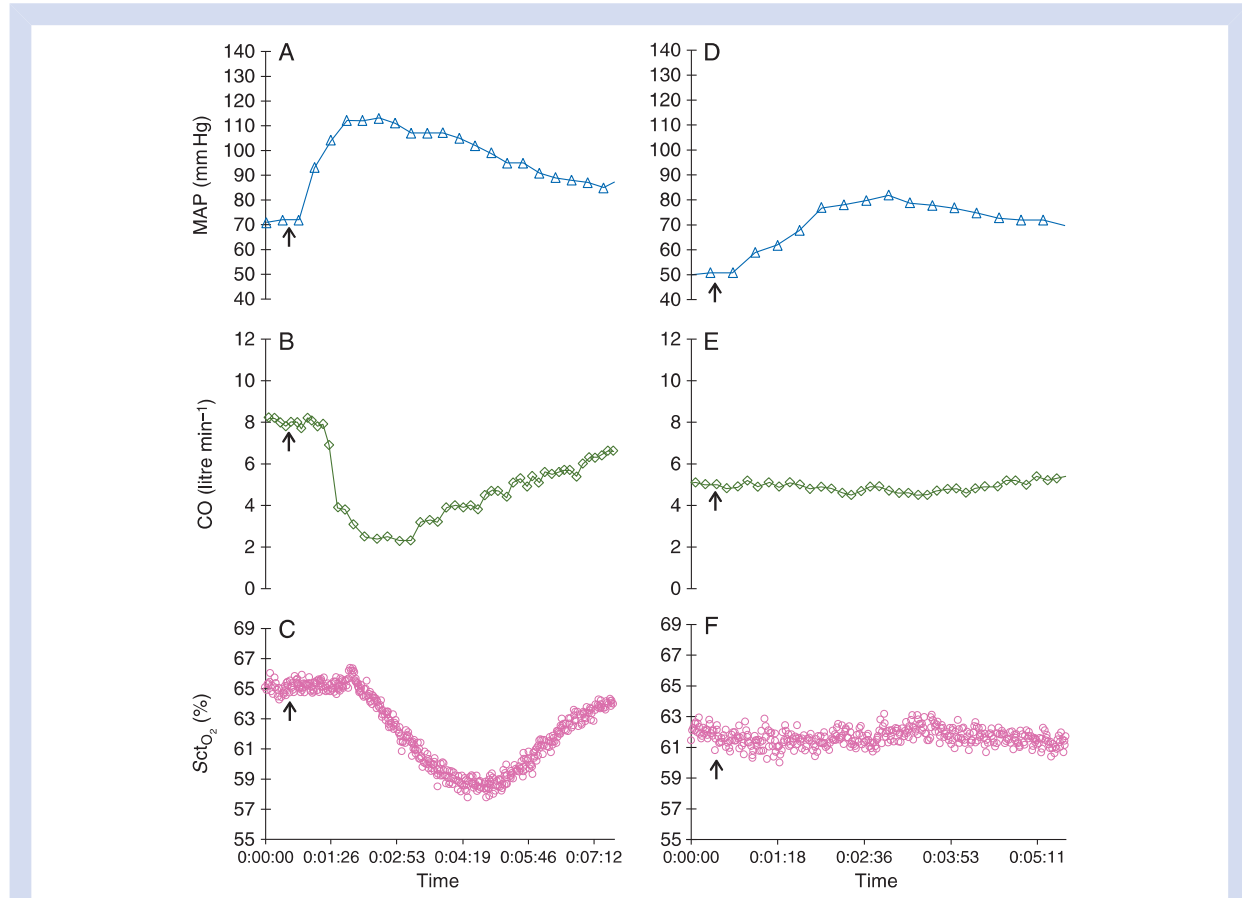
Bolus :

- Ephédrine : 5 à 20 mg
- Phénylephrine : 100 à 200 µg

BJA

### Bolus de Phenyléphrine

### Bolus d'Ephédrine



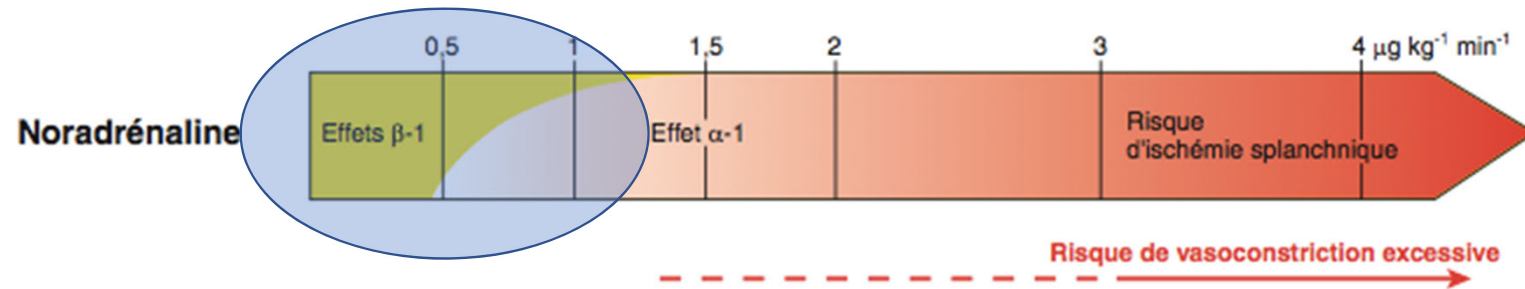
**Fig 1** Continuous MAP, CO, and Sct<sub>O<sub>2</sub></sub> recordings from two selected patients. (A–C) Recordings during phenylephrine treatment. (D–F) Recordings during ephedrine treatment. Both agents were given during the first treatment. Vertical arrows indicate the drug administration time.

# Retour Veineux – Théorie de Guyton

## Comment améliorer le retour veineux

### Revisiter le rôle de la Noradrénaline

Réduction du volume non-contraint → Augmentation PVS

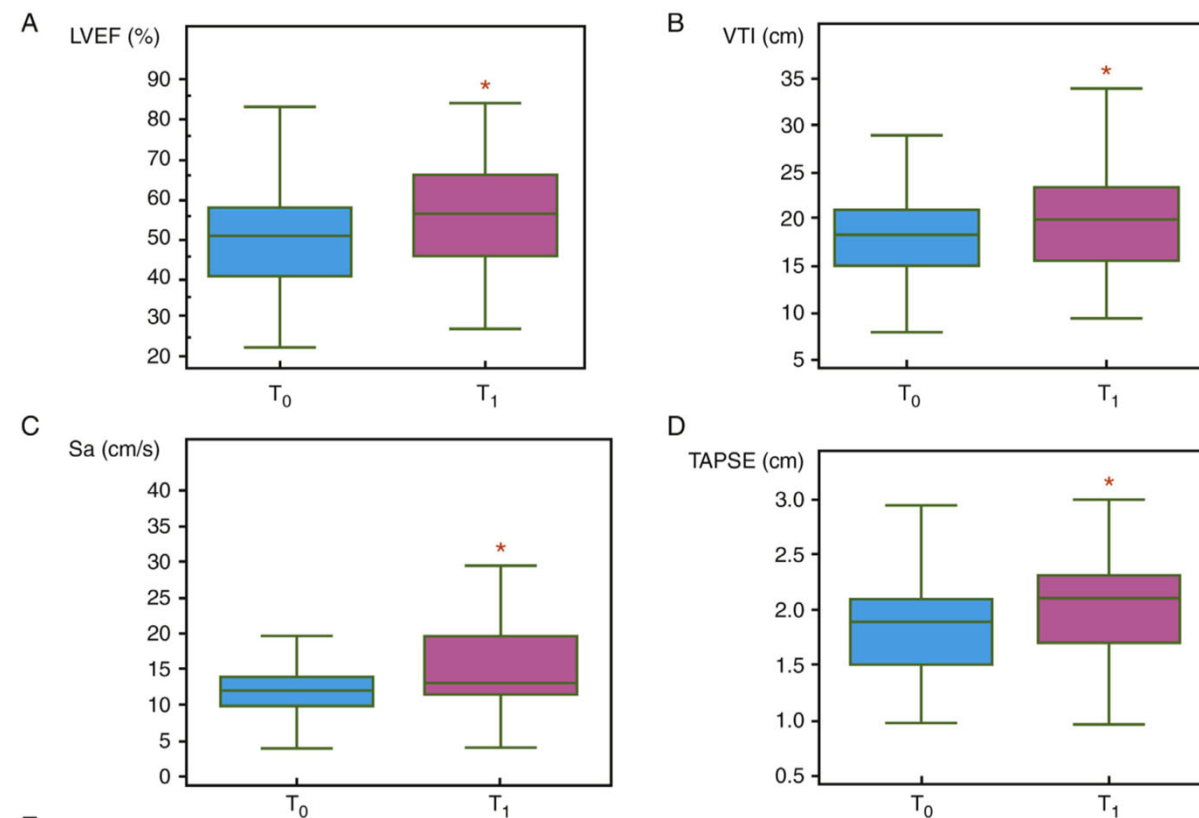


# Retour Veineux – Théorie de Guyton

## Comment améliorer le retour veineux

Norepinephrine exerts an inotropic effect during the early phase of human septic shock

O. Hamzaoui<sup>1,\*</sup>, M. Jozwiak<sup>2</sup>, T. Geffraaud<sup>2</sup>, B. Sztrymf<sup>1</sup>, D. Prat<sup>1</sup>, F. Jacobs<sup>1</sup>, X. Monnet<sup>2</sup>, P. Trouiller<sup>1</sup>, C. Richard<sup>2</sup> and J.L. Teboul<sup>2</sup>



# Retour Veineux – Théorie de Guyton

## Comment améliorer le retour veineux ?

### Cardiac Output Response to Norepinephrine in Postoperative Cardiac Surgery Patients: Interpretation With Venous Return and Cardiac Function Curves\*

Jacinta J. Maas, MD<sup>1</sup>; Michael R. Pinsky, MD, MCCM<sup>2</sup>; Rob B. de Wilde, PhD<sup>1</sup>;  
Evert de Jonge, MD, PhD<sup>1</sup>; Jos R. Jansen, MS, PhD<sup>1</sup>

NAD pour augmentation de + 20 mmHg de PAS  
N = 16 patients

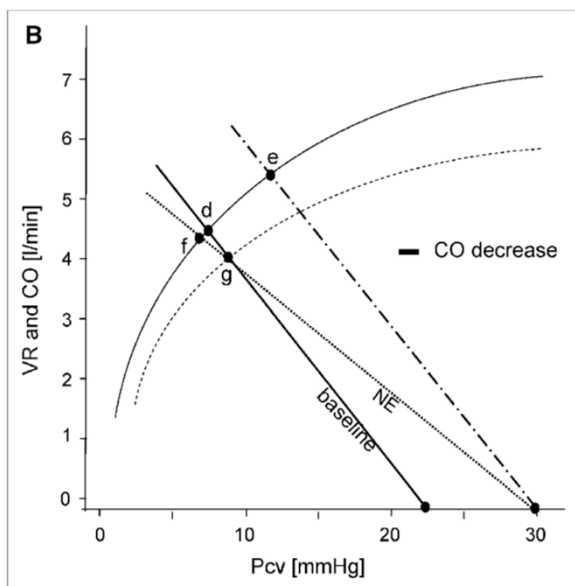
	Baseline-1	NE	Baseline-2	p
All patients (n = 16)				
MAP (mm Hg)	81.60±10.16	101.85±9.81	82.80±13.60	<0.001
HR (min <sup>-1</sup> )	74.4±14.0	70.1±13.8	75.7±14.1	0.003
CO (L·min <sup>-1</sup> )	4.30±0.78	4.09±0.67	4.44±0.80	0.043
SV (mL)	59.4±13.3	60.4±15.2	60.7±15.6	0.825
PCV (mm Hg)	7.61±2.07	8.55±2.35	7.58±2.13	<0.001
PMSF (mm Hg)	21.44±6.12	27.57±7.39	21.98±5.34	<0.001
PVR (mm Hg)	13.60±5.66	19.02±6.20	14.26±5.16	0.001
RVR (mm Hg·min·L <sup>-1</sup> )	3.14±0.94	4.72±1.64	3.22±0.99	<0.001
RSYS (mm Hg·min·L <sup>-1</sup> )	17.42±3.88	23.31±4.09	17.35±4.27	<0.001
RVR/RSYS (%)	19.0±7.9	20.4±6.6	19.2±6.9	0.305
SVV (%)	11.1±4.0	7.9±4.3	11.0±4.7	<0.001

# Retour Veineux – Théorie de Guyton

## Comment améliorer le retour veineux

### Cardiac Output Response to Norepinephrine in Postoperative Cardiac Surgery Patients: Interpretation With Venous Return and Cardiac Function Curves\*

Jacinta J. Maas, MD<sup>1</sup>; Michael R. Pinsky, MD, MCCM<sup>2</sup>; Rob B. de Wilde, PhD<sup>1</sup>; Evert de Jonge, MD, PhD<sup>1</sup>; Jos R. Jansen, MS, PhD<sup>1</sup>



Patients with CO decrease after NE Group B ( $n = 10$ )

MAP (mm Hg)	$82.52 \pm 8.10$	$103.91 \pm 9.19$	$82.22 \pm 9.21$	<0.001
HR ( $\text{min}^{-1}$ )	$75.1 \pm 12.8$	$68.6 \pm 12.9^h$	$77.3 \pm 13.4$	0.002
CO ( $\text{L} \cdot \text{min}^{-1}$ )	$4.46 \pm 0.64$	$3.96 \pm 0.52^d$	$4.61 \pm 0.74$	0.002
SV (mL)	$60.5 \pm 11.6$	$59.8 \pm 15.1$	$61.6 \pm 15.5$	0.558
PCV (mm Hg)	$7.57 \pm 1.93$	$8.86 \pm 2.22^e$	$7.65 \pm 2.06$	<0.001
PMSF (mm Hg)	$22.40 \pm 6.11$	$29.97 \pm 7.88$	$23.51 \pm 4.94$	0.005
PVR (mm Hg)	$14.77 \pm 5.52$	$21.10 \pm 6.38$	$15.86 \pm 4.54$	0.010
RVR ( $\text{mm Hg} \cdot \text{min} \cdot \text{L}^{-1}$ )	$3.29 \pm 1.00$	$5.41 \pm 1.68^{cf}$	$3.48 \pm 0.93$	0.001
RSYS ( $\text{mm Hg} \cdot \text{min} \cdot \text{L}^{-1}$ )	$16.67 \pm 2.34$	$24.37 \pm 3.74^g$	$16.49 \pm 2.96$	<0.001
RVR/RSYS (%)	$20.3 \pm 7.8$	$22.3 \pm 7.2$	$21.5 \pm 6.4$	0.478
SVV (%)	$9.1 \pm 2.4^a$	$5.3 \pm 2.9^b$	$8.7 \pm 3.6^a$	<0.001

# Retour Veineux – Théorie de Guyton

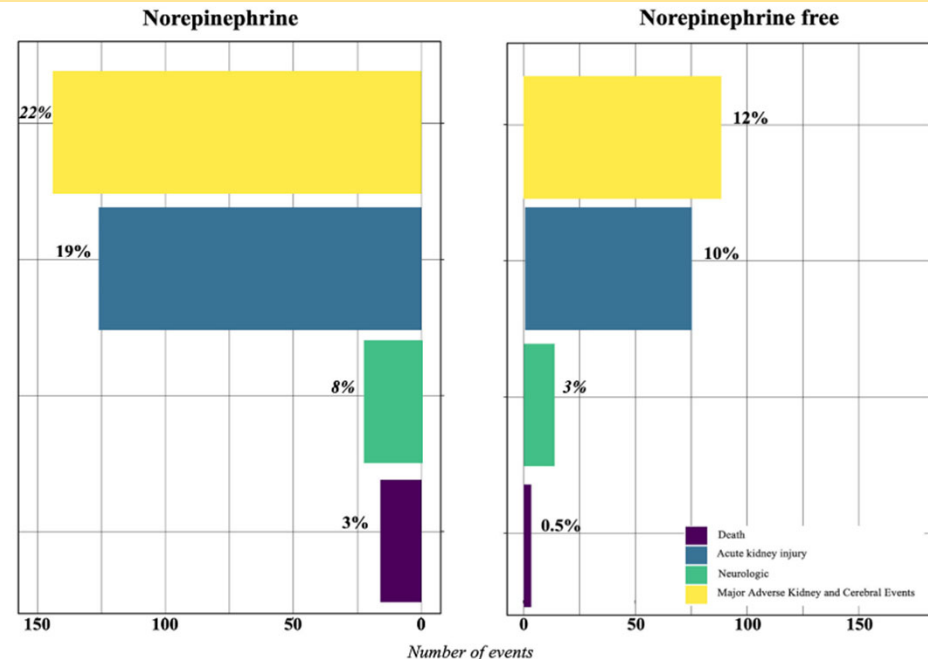
## Comment améliorer le retour veineux

Original Article

Epidemiology, risk factors and outcomes of norepinephrine use in cardiac surgery with cardiopulmonary bypass: a multicentric prospective study



Pierre-Grégoire Guinot <sup>a,b,\*</sup>, Bastien Durand <sup>a</sup>, Emmanuel Besnier <sup>c</sup>, Paul-Michel Mertes <sup>d</sup>, Chloe Bernard <sup>e</sup>, Maxime Nguyen <sup>a,b</sup>, Vivien Berthoud <sup>a</sup>, Osama Abou-Arab <sup>f</sup>, Belaid Bouhemad <sup>a,b</sup>, Collaborator study group<sup>1</sup>



**Table 2**

Vaso-active support during surgery and ICU course.

	Overall population N = 2541	Norepinephrine free N = 992	Norepinephrine N = 1549	p-value
Operating room				
Ephedrine	1405 (55)	466 (60.4)	446 (57.8)	0.31
Ephedrine total dose (mg)	15 [9,27]	12 [9,21]	18 [12,30]	0.88
Phenylephrine	604 (24)	215 (22)	389 (25)	0.05
Total dose (mg)	0.2 [0.1,0.4]	0.2 [0.1,0.3]	0.2 [0.1,0.4]	0.47
Norepinephrine	1227 (48)	0	1277 (82)	<0.0001
Median maximal dose ( $\mu\text{g}.\text{kg}^{-1}.\text{min}^{-1}$ )	0.17 [0.1, 0.28]		0.17 [0.11,0.28]	0.10
Dobutamine	256 (10)	45 (5)	211 (14)	0.0001
Median maximal dose ( $\mu\text{g}.\text{kg}^{-1}.\text{min}^{-1}$ )	7 [5,10]	5 [4,10]	7 [5,10]	0.98
Epinephrine	14 (1)	1 (0.2)	13 (1)	0.0001
Median maximal dose ( $\mu\text{g}.\text{kg}^{-1}.\text{min}^{-1}$ )	0.43 [0.18,0.64]	0.4 [0.4,0.4]	0.4 [0.16,0.67]	NA

Guinot PG, ACCPM, 2023

# Retour Veineux – Théorie de Guyton

## Comment améliorer le retour veineux ?

BJA

"I would have everie man write what he knowes and no more." —Montaigne  
BRITISH JOURNAL OF ANAESTHESIA

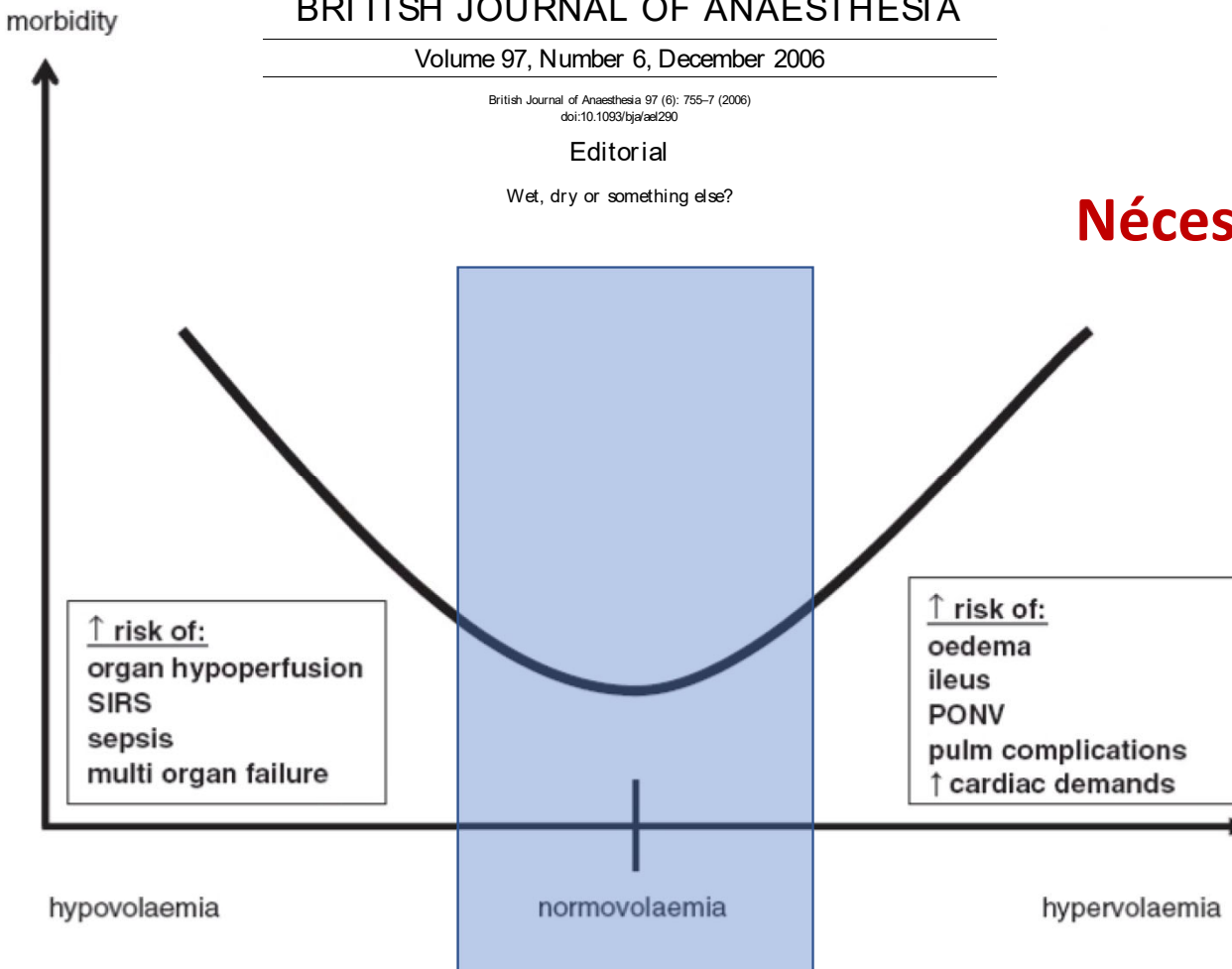
Volume 97, Number 6, December 2006

British Journal of Anaesthesia 97 (6): 755-7 (2006)  
doi:10.1093/bja/ael290

Editorial

Wet, dry or something else?

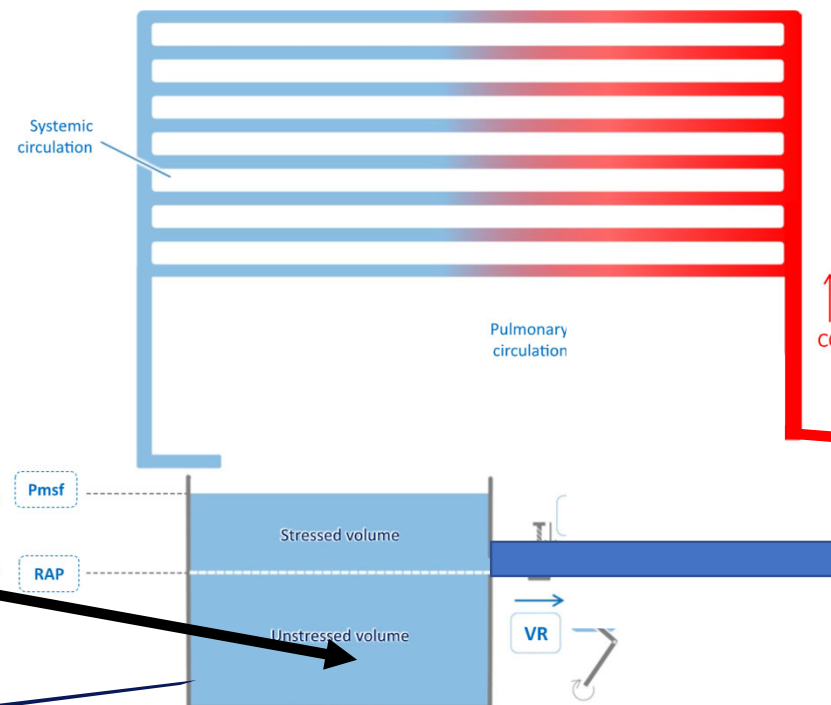
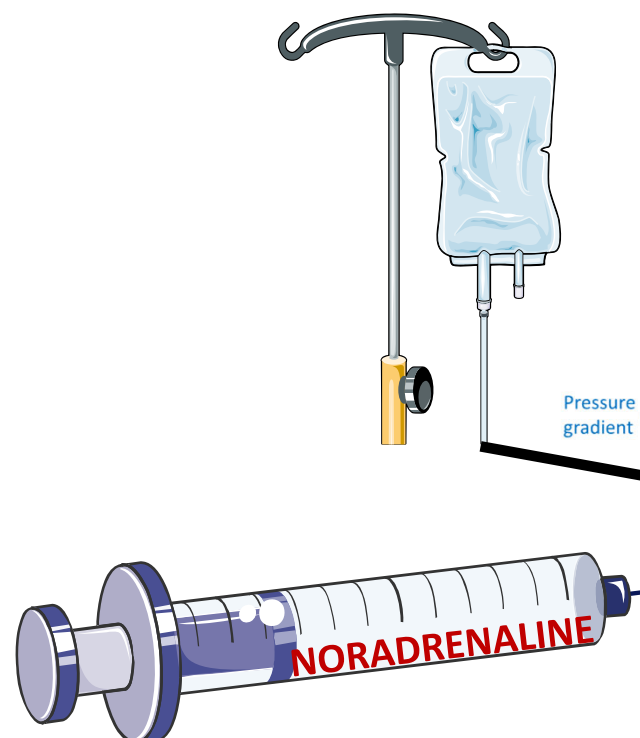
Nécessité de moniturer



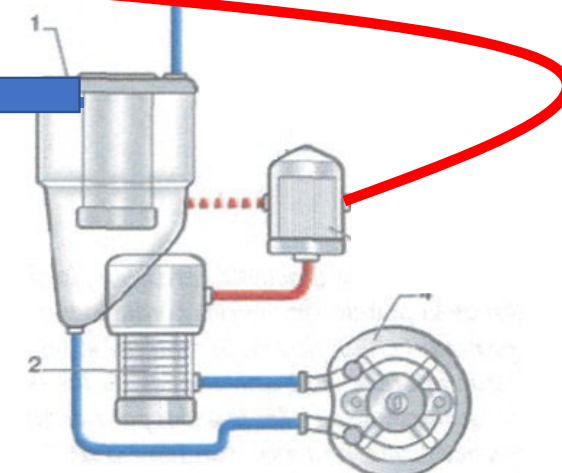
# Retour Veineux et CEC

## Drainage veineux en CEC

### Remplissage vasculaire



Pré-requis : maintenir le débit



# Retour Veineux – Théorie de Guyton

## Comment se guider?

### Comment se guider : rôle de la PVC

Should we measure the central venous pressure to guide fluid management? Ten answers to 10 questions

Daniel De Backer<sup>1\*</sup> and Jean-Louis Vincent<sup>2</sup>

**Table 1** The pros and cons of central venous pressure (CVP) for fluid management

	Pro	Con
Measurements	Easy to measure Minimal apparatus Cheap	Errors in measurements Influence of mechanical ventilation Influence of abdominal pressure
CVP for fluid responsiveness	The predictive value of extreme CVP values (CVP < 6–8 mmHg and CVP > 12–15 mmHg) is satisfactory [7, 8]	The predictive value for fluid responsiveness is lower with CVP than with dynamic indices
CVP as a safety value	During a fluid challenge, a given CVP value can be used as a safety value	This safety value should be individually determined as there is no predefined safe upper level of CVP
CVP as a target value	In circulatory failure, this population-based approach may be used to ensure that the majority of the patients achieve a satisfactory hemodynamic goal	In circulatory failure, a significant number of patients may be submitted to excessive fluid administration whereas other patients may require additional fluid administration  In patients without indices of hypoperfusion, this approach is not recommended as it could lead to unnecessary fluid administration [19]
Influence of mechanical ventilation	The CVP represents the back pressure of all extrathoracic organs	The CVP may fail to reflect intravascular pressure during mechanical ventilation
CVP can be used to evaluate the response to fluids	An increase in CVP indicates an increase in preload  An absence of change in CVP during fluid administration indicates that insufficient fluids were administered to manipulate preload	The increase in CVP indicates the increase in preload but does not indicate the response to fluids; in fluid responders the increase in CVP should be minimal (with a large increase in cardiac output) while in nonresponders the increase in CVP is larger

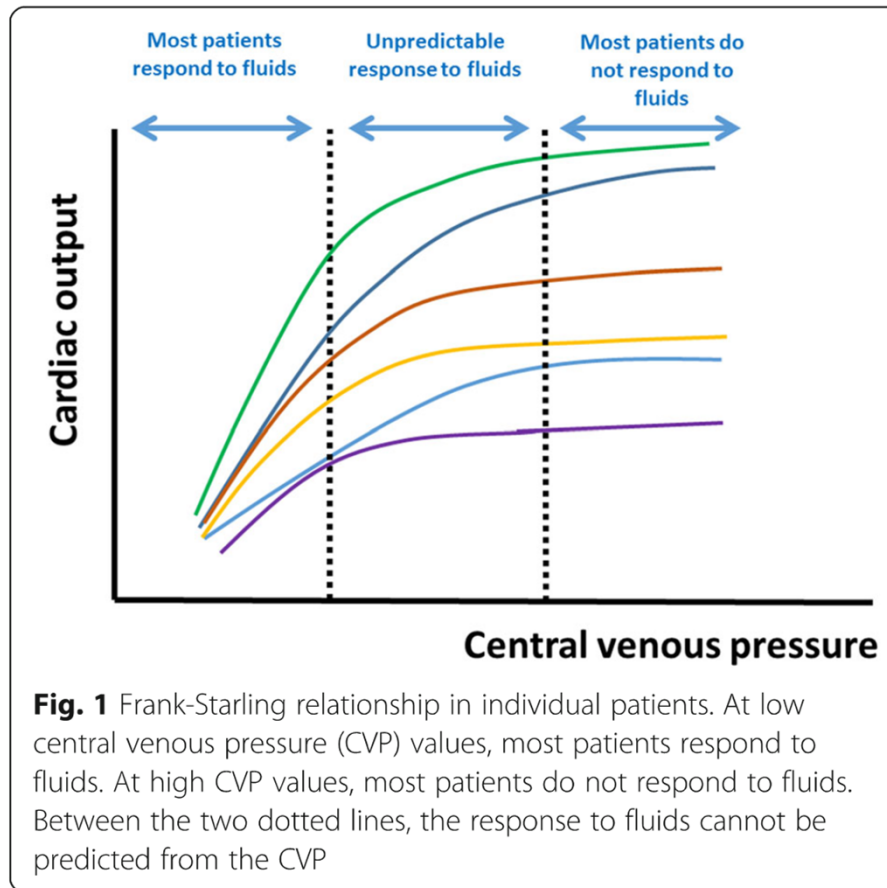
# Retour Veineux – Théorie de Guyton

## Comment se guider?

### Comment se guider : rôle de la PVC

Should we measure the central venous pressure to guide fluid management? Ten answers to 10 questions

Daniel De Backer<sup>1\*</sup> and Jean-Louis Vincent<sup>2</sup>



# Retour Veineux – Théorie de Guyton

## Comment se guider?

### Comment se guider : rôle de la PVC

Should we measure the central venous pressure to guide fluid management? Ten answers to 10 questions

Daniel De Backer<sup>1\*</sup> and Jean-Louis Vincent<sup>2</sup>

**Table 1** The pros and cons of central venous pressure (CVP) for fluid management

	Pro	Con
Measurements	Easy to measure Minimal apparatus Cheap	Errors in measurements Influence of mechanical ventilation Influence of abdominal pressure
CVP for fluid responsiveness	The predictive value of extreme CVP values (CVP < 6–8 mmHg and CVP > 12–15 mmHg) is satisfactory [7, 8]	The predictive value for fluid responsiveness is lower with CVP than with dynamic indices
CVP as a safety value	During a fluid challenge, a given CVP value can be used as a safety value	This safety value should be individually determined as there is no predefined safe upper level of CVP
CVP as a target value	In circulatory failure, this population-based approach may be used to ensure that the majority of the patients achieve a satisfactory hemodynamic goal	In circulatory failure, a significant number of patients may be submitted to excessive fluid administration whereas other patients may require additional fluid administration  In patients without indices of hypoperfusion, this approach is not recommended as it could lead to unnecessary fluid administration [19]
Influence of mechanical ventilation	The CVP represents the back pressure of all extrathoracic organs	The CVP may fail to reflect intravascular pressure during mechanical ventilation
CVP can be used to evaluate the response to fluids	An increase in CVP indicates an increase in preload  An absence of change in CVP during fluid administration indicates that insufficient fluids were administered to manipulate preload	The increase in CVP indicates the increase in preload but does not indicate the response to fluids; in fluid responders the increase in CVP should be minimal (with a large increase in cardiac output) while in nonresponders the increase in CVP is larger

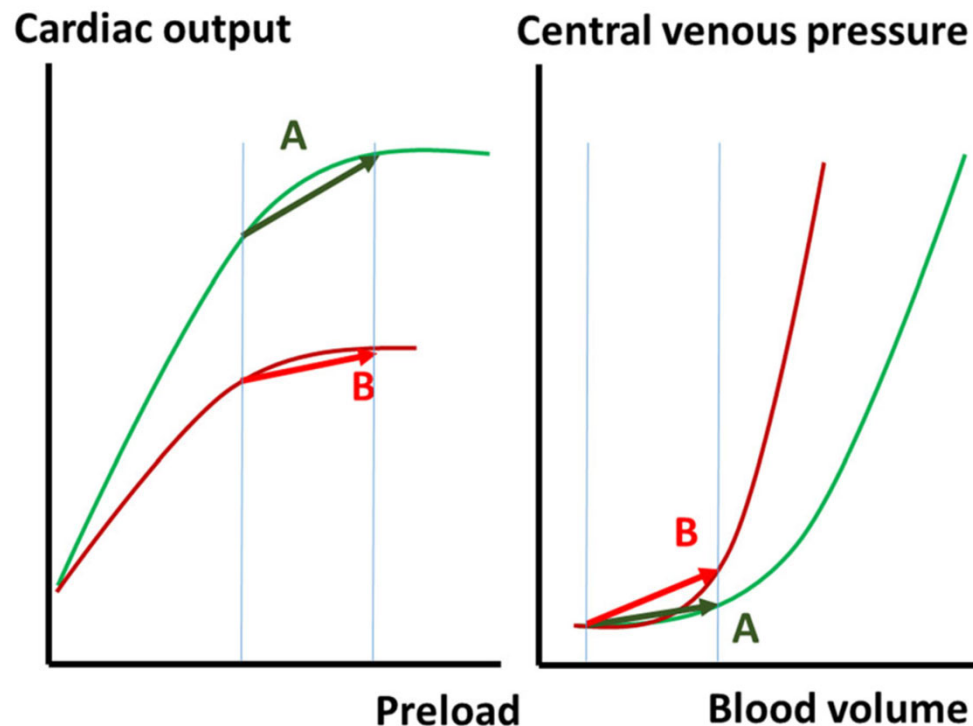
# Retour Veineux – Théorie de Guyton

## Comment se guider?

Comment se guider : rôle de la PVC

Should we measure the central venous pressure to guide fluid management? Ten answers to 10 questions

Daniel De Backer<sup>1\*</sup> and Jean-Louis Vincent<sup>2</sup>

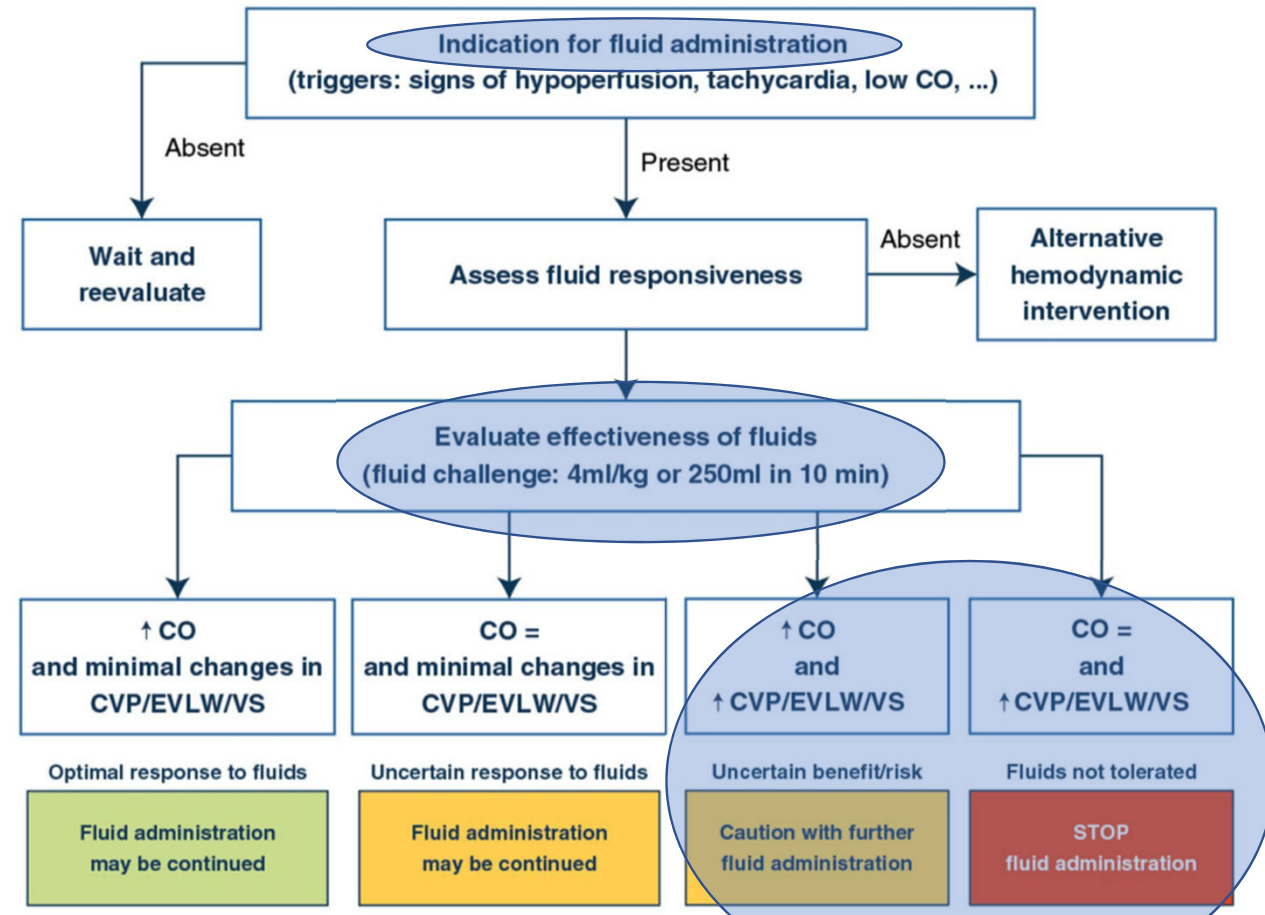


De Backer and Vincent *Critical Care* (2018) 22:43

# Retour Veineux – Théorie de Guyton

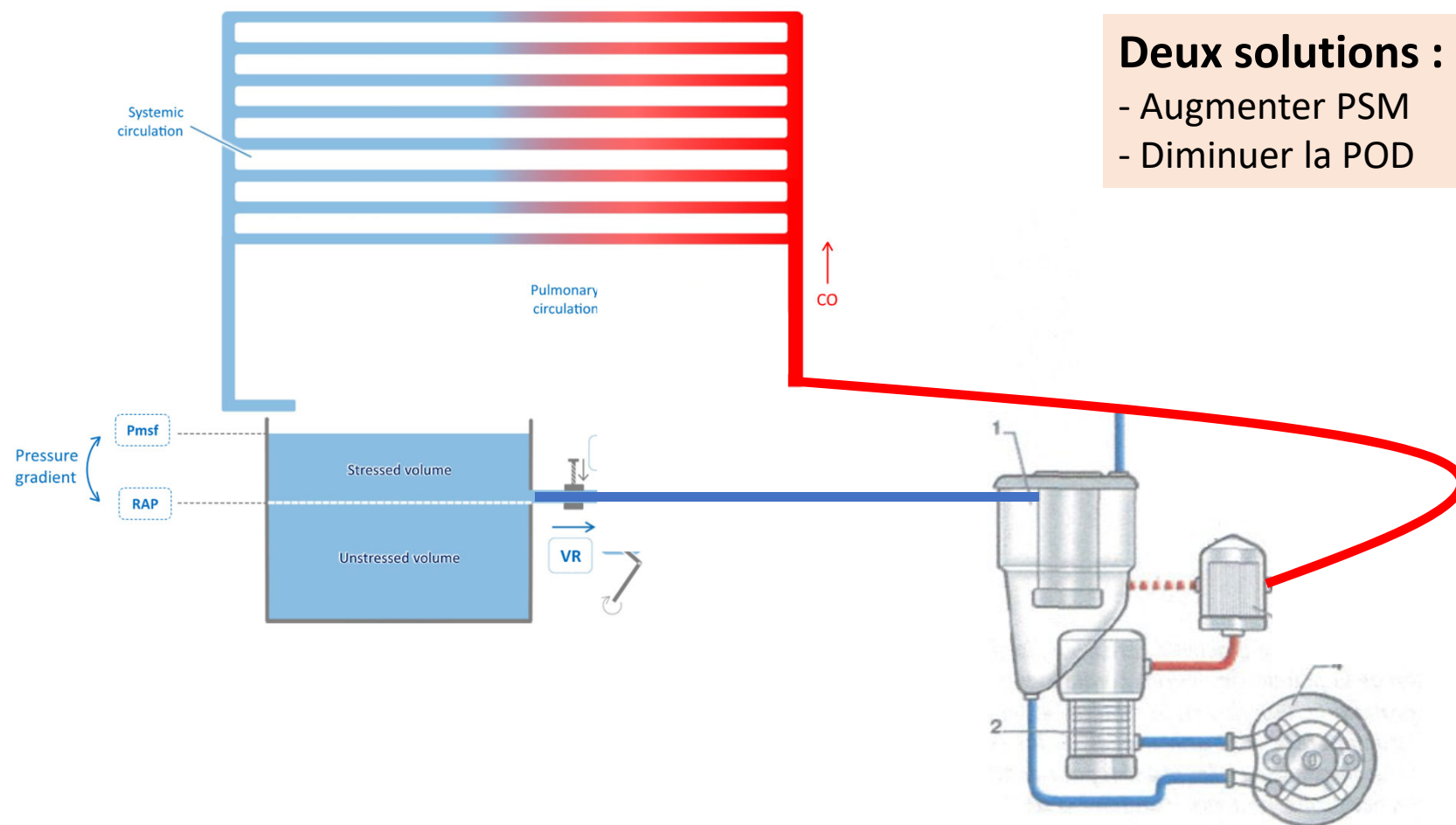
## Comment se guider?

### Comment réaliser un remplissage?



# Retour Veineux et CEC

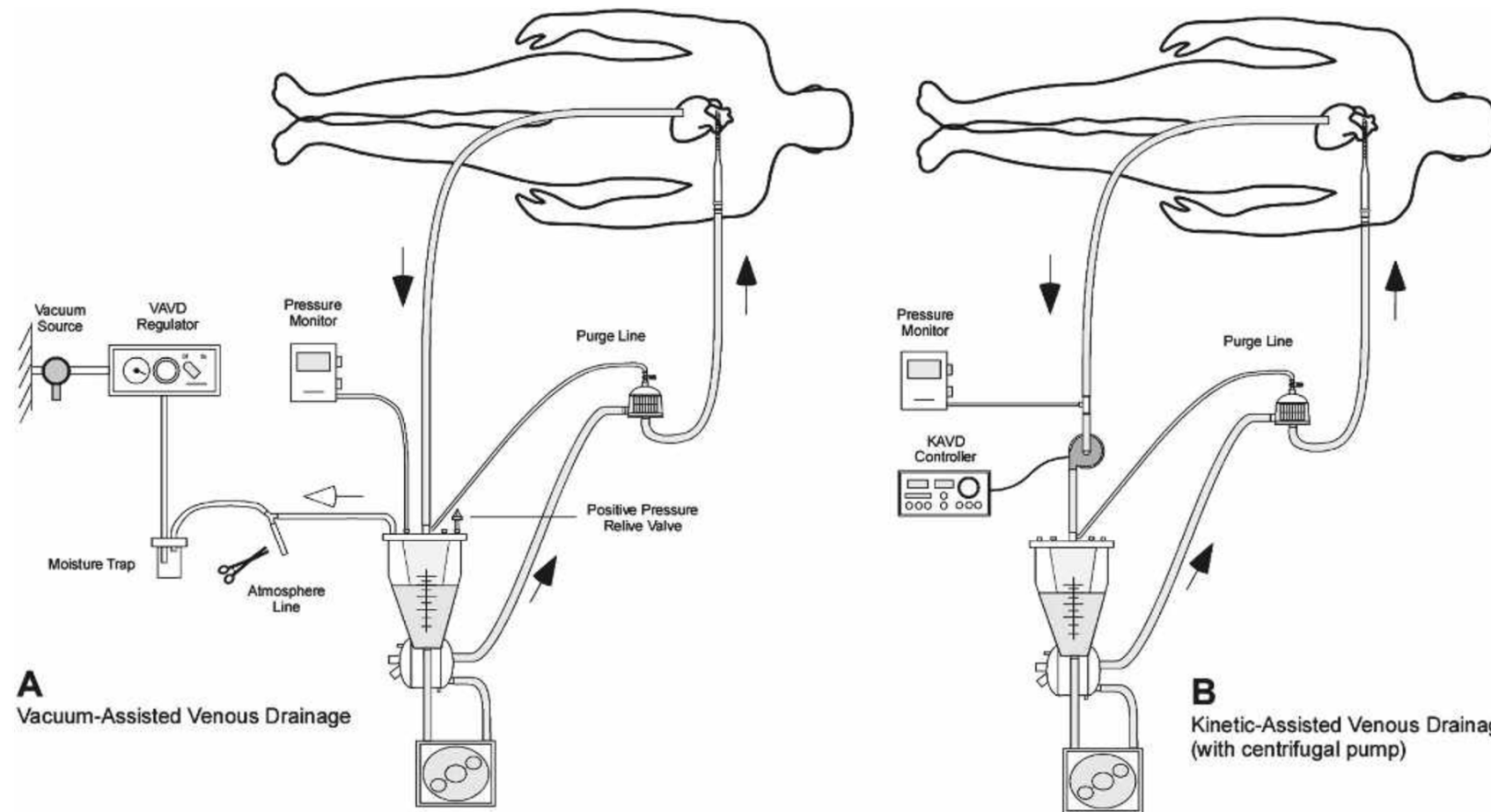
## Drainage veineux en CEC



# Retour Veineux et CEC

La CEC peut-elle être une solution pour améliorer le retour veineux?

## Drainage actif

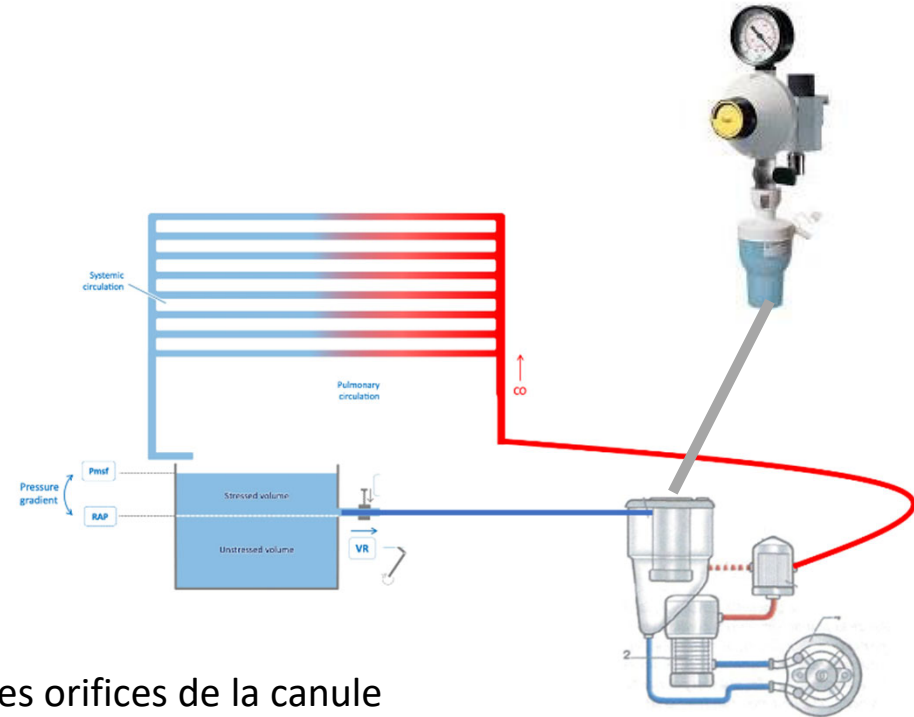


# Retour Veineux et CEC

## La CEC peut-elle être une solution pour améliorer le retour veineux?

### Drainage actif

- Pompe supplémentaire ou surveillance des pressions
- Aspiration d'air par les bourses autour de l'OD ou des veines caves
  - la pompe transforme les bulles en microbulles
  - risque d'embolies artérielles (passent le filtre)
- Stress de cisaillement supplémentaire : hémolyse
- Blocage possible du retour par aspiration des parois vasculaires dans les orifices de la canule
- Risque de mise en dépression de l'oxygénateur et de flux rétrograde vers le réservoir au sein de la machine; une valve de type pop-off empêche une dépression excessive.



# Retour Veineux et CEC

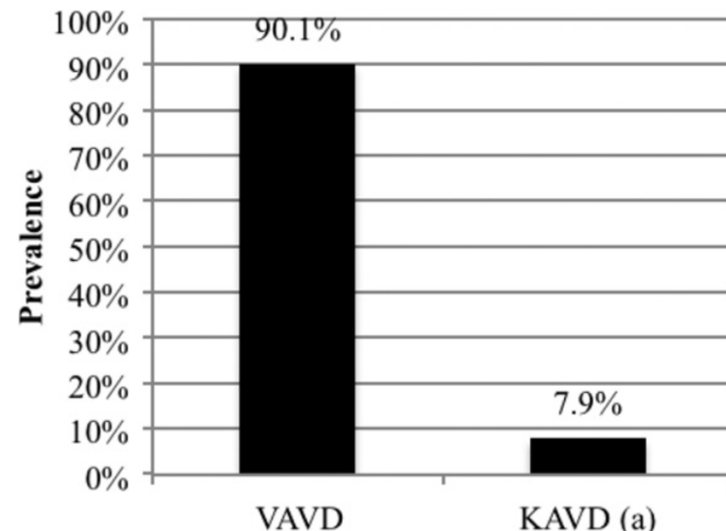
## La CEC peut-elle être une solution pour améliorer le retour veineux?

### Drainage actif

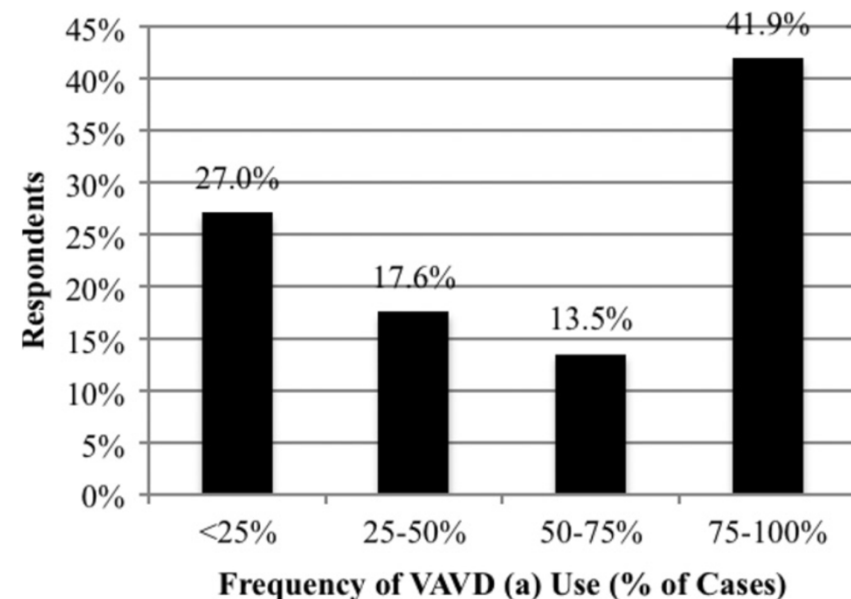
#### Vacuum-Assisted Venous Drainage: A 2014 Safety Survey

Rachel Gambino, BS; Bruce Searles, MS, CCP; Edward M. Darling, MS, CCP

*Department of Cardiovascular Perfusion, College of Health Professions, SUNY Upstate Medical University, Syracuse, New York*



**Figure 1.** The use of VAVD and KAVD reported by respondents in 2014. VAVD, vacuum-assisted venous drainage; KAVD, kinetic-assisted venous drainage.



**Figure 2.** The frequency of VAVD use reported by respondents. VAVD, vacuum-assisted venous drainage.

# Retour Veineux et CEC

## La CEC peut-elle être une solution pour améliorer le retour veineux?

Drainage actif

### Vacuum-assisted venous drainage in adult cardiac surgery: a propensity-matched study

Sizhe Gao<sup>a,†</sup>, Yongnan Li<sup>a,b,†</sup>, Xiaolin Diao<sup>c</sup>, Shujie Yan<sup>a</sup>, Gang Liu<sup>a</sup>, Mingyue Liu<sup>a</sup>, Qiaoni Zhang<sup>a</sup>, Wei Zhao<sup>c,\*\*</sup> and Bingyang Ji<sup>a,\*\*</sup>

Etude rétrospective

2004 patients

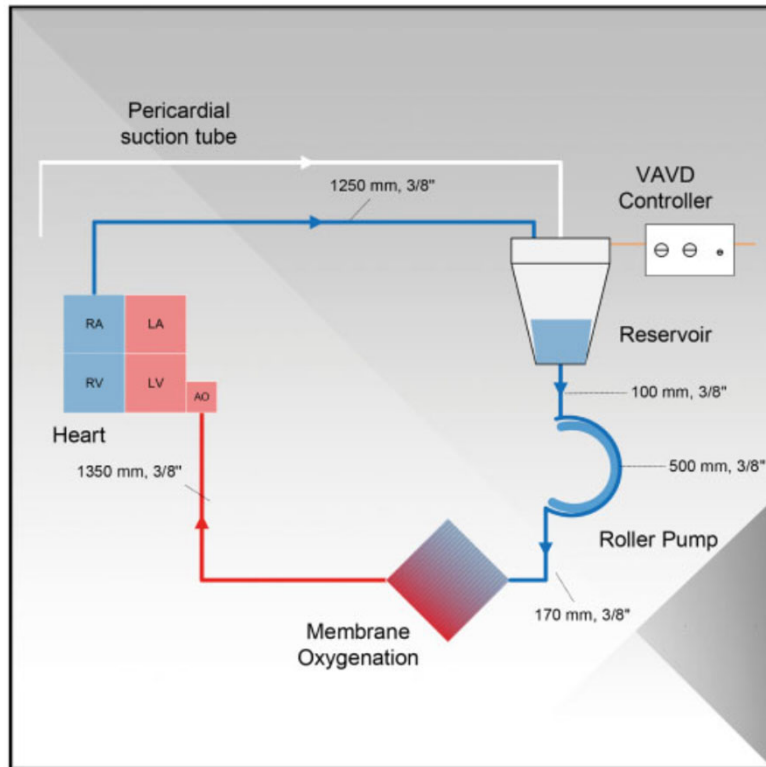


Table 3: Transfusion rate of patients between propensity-matched groups

Characteristics	Overall (n = 2004)	VAVD (n = 1002)	Gravity drainage (n = 1002)	Mean differences (95% CI)	P-value
RBC (%)	31.6 (633)	28.1 (282)	35 (351)	-6.9% (-11.0% to -2.8)	0.0009
FFP (%)	15.5 (310)	13 (130)	18 (180)	-5.0% (-8.1% to -1.8)	0.0020
Platelets (%)	0.9 (19)	0.1 (1)	1.8 (18)	-1.7% (-2.5% to -0.9%)	<0.0001

Réduction de la transfusion

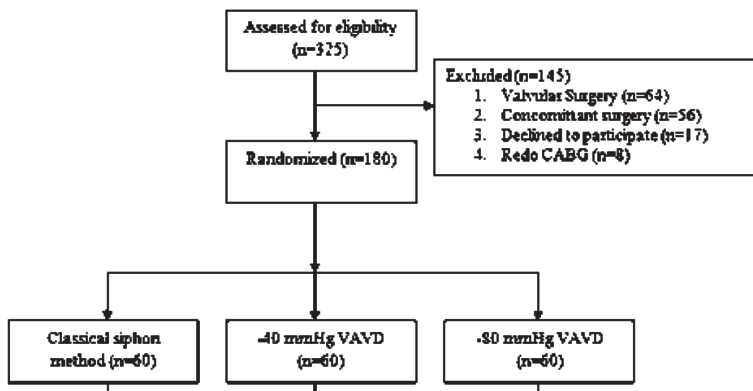
# Retour Veineux et CEC

## La CEC peut-elle être une solution pour améliorer le retour veineux?

### Drainage actif

#### Hemolysis at Different Vacuum Levels during Vacuum-Assisted Venous Drainage: A Prospective Randomized Clinical Trial

D. Gokselef<sup>1</sup> S. N. Omeroglu<sup>1</sup> O. O. Balkanay<sup>1</sup> E. S. Denli Yalvac<sup>1</sup> Z. Talas<sup>1</sup> A. Albayrak<sup>1</sup> G. Ipek<sup>1</sup>



### Randomisation

Passif VS -40mmHg VS -80mmHG

CI : Majoration de l'hémolyse à -80 mmHg

**Table 4** Hemolysis tests.

Test	Overall <i>n</i> = 162	Group 1 <i>n</i> = 55	Group 2 <i>n</i> = 55	Group 3 <i>n</i> = 52	<i>p</i>
Hct 0 (%)	40.6 ± 4.5	39.8 ± 4.7	40.9 ± 4.6	41.1 ± 4.3	0.28
Hct at 2 h	27.4 ± 2.9	27.9 ± 2.9	28.2 ± 2.9	26 ± 2.5	< 0.001
Hct at 24 h	28.7 ± 2.9	29 ± 2.7	29.6 ± 3	27.4 ± 2.5	< 0.001
Hct at 48 h	29.7 ± 2.8	29.9 ± 2.7	30.5 ± 3.1	28.7 ± 2.7	0.004
Hb 0 (g/dL)	13.5 ± 1.7	13.2 ± 1.8	13.5 ± 1.8	13.7 ± 1.6	0.43
Hb at 2 h	9.2 ± 1.1	9.3 ± 1.1	9.5 ± 1	8.6 ± 1	< 0.001
Hb at 24 h	9.4 ± 1.3	9.8 ± 1.1	9.8 ± 1.2	8.6 ± 1.2	< 0.001
Hb at 48 h	9.7 ± 1.3	10 ± 1.2	10 ± 1.3	9 ± 1.2	< 0.001
T. Bil 0 (mg/dL)	1.2 ± 0.2	1.1 ± 0.3	1.2 ± 0.3	1.2 ± 0.3	0.15
T. Bil at 2 h	1.4 ± 0.4	1.3 ± 0.4	1.4 ± 0.4	1.6 ± 0.5	0.01
T. Bil at 24 h	1.6 ± 0.5	1.4 ± 0.4	1.6 ± 0.4	1.9 ± 0.5	< 0.001
T. Bil at 48 h	1.7 ± 0.5	1.5 ± 0.4	1.6 ± 0.5	2 ± 0.4	< 0.001
LDH 0 (IU/L)	237 ± 77	234 ± 80	245 ± 81	231 ± 71	0.58
LDH at 2 h	346 ± 119	329 ± 111	339 ± 122	373 ± 122	0.14
LDH at 24 h	359 ± 136	331 ± 119	346 ± 139	402 ± 140	0.016
LDH at 48 h	375 ± 137	342 ± 120	359 ± 138	426 ± 144	0.003
PfHb 0 (mg/dL)	3.5 ± 1.8	3.5 ± 1.7	3.6 ± 2	3.3 ± 1.8	0.69
PfHb at 2 h	26.3 ± 15	19.9 ± 7.9	25.4 ± 15.3	33.9 ± 17.3	< 0.001
PfHb at 24 h	5.7 ± 3.3	5.2 ± 2.4	5.3 ± 2.8	6.8 ± 4.2	0.02
PfHb at 48 h	4.2 ± 2.2	4.2 ± 1.9	4.1 ± 2	4.5 ± 2.5	0.55
Hp 0 (mg/dL)	98 ± 55	101 ± 50	96 ± 59	96 ± 58	0.85
Hp at 2 h	78 ± 53	95 ± 49	87 ± 57	51 ± 44	< 0.001
Hp at 24 h	68 ± 48	90 ± 39	75 ± 47	38 ± 40	< 0.001
Hp at 48 h	76 ± 51	91 ± 45	83 ± 54	52 ± 38	< 0.001

# Retour Veineux et CEC

## La CEC peut-elle être une solution pour améliorer le retour veineux?

*Original Article*

### The effect of vacuum-assisted venous drainage on hemolysis during cardiopulmonary bypass

Sibel Aydin<sup>1</sup>, Davut Cekmecelioglu<sup>2,3</sup>, Serkan Celik<sup>2</sup>, Ismail Yerli<sup>1</sup>, Kaan Kirali<sup>2</sup>

**Table 4.** The evaluation of platelet, lactate hydrogenase, and haptoglobin values

	Group 1	Group 2	Control group	P
Plt ( $10^9$ per liter)				
Preoperative	$234.9 \pm 70.2$	$254.7 \pm 82.8$	$236.9 \pm 55.2$	0.629
Postop 24 <sup>th</sup> hour	$156.5 \pm 55.3$	$183.9 \pm 62.1$	$172.2 \pm 62.9$	0.367
Postop 48 <sup>th</sup> hour	$156.1 \pm 53.8$	$187.6 \pm 60.5$	$165.2 \pm 57.1$	0.136
MPV (f/dl)				
Preoperative	$8.6 \pm 1.1$	$8.6 \pm 1.2$	$8.9 \pm 1.1$	0.521
Postop 24 <sup>th</sup> hour	$8.9 \pm 1.4$	$8.9 \pm 1.1$	$9.3 \pm 1.2$	0.508
Postop 48 <sup>th</sup> hour	$8.9 \pm 1.1$	$8.9 \pm 1.3$	$9.4 \pm 1.2$	0.336
LDH (unit per liter)				
Preoperative	$191.5 \pm 43.8$	$196.4 \pm 35.7$	$223.9 \pm 85$	0.188
Postop 24 <sup>th</sup> hour	$439.5 \pm 143.1$	$419.2 \pm 148.6$	$411 \pm 100.3$	0.782
Postop 48 <sup>th</sup> hour	$353.1 \pm 126$	$339.1 \pm 102.1$	$341.1 \pm 87.7$	0.487
Hpt (mg/dL)				
Preoperative	$1.32 \pm 0.72$	$1.69 \pm 1.21$	$1.28 \pm 0.66$	0.298
Postop 24 <sup>th</sup> hour	$0.72 \pm 0.41$	$1.26 \pm 0.82$	$0.76 \pm 0.51$	0.6
Postop 48 <sup>th</sup> hour	$1.07 \pm 0.61$	$1.26 \pm 1.01$	$0.92 \pm 0.54$	0.336

3 groupes de 20 patients

**Drainage passif**

**Drainage actif – 40 mmHg**

**Drainage actif – 60 mmHg**

**Pas de différences sur les marqueurs de l'hémolyse**

# Retour Veineux et CEC

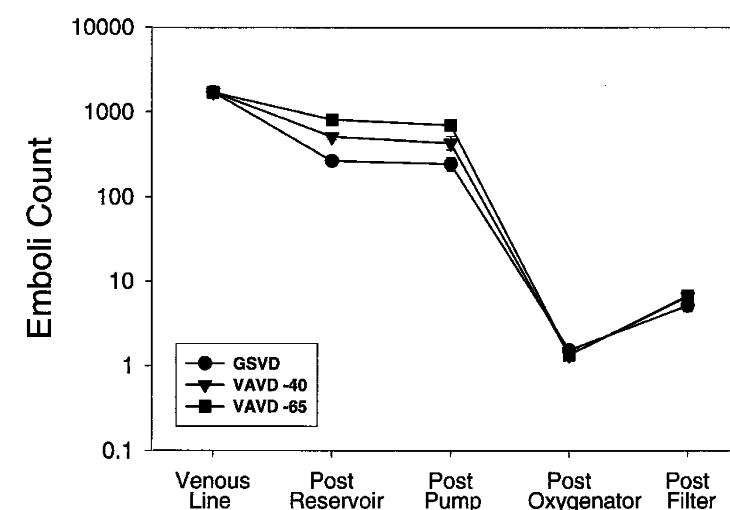
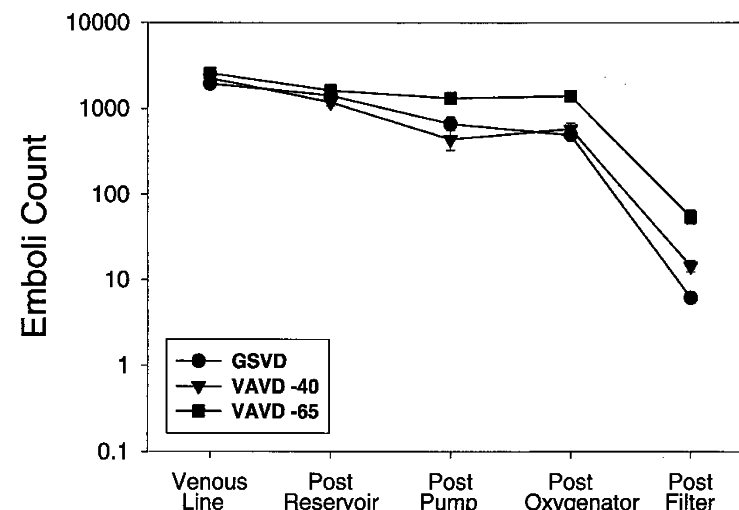
## La CEC peut-elle être une solution pour améliorer le retour veineux?

### Drainage actif

#### 'Does Vacuum-Assisted Venous Drainage Increase Gaseous Microemboli During Cardiopulmonary Bypass?

Timothy J. Jones, FRCS, Dwight D. Deal, BS, Jason C. Vernon, BS, Noel Blackburn, CCP, and David A., Stump, PhD

Department of Anesthesiology, Wake Forest University School of Medicine, Winston-Salem, North Carolina, and Department of Perfusion, Cleveland Clinic, Cleveland, Ohio



# Retour Veineux et CEC

## La CEC peut-elle être une solution pour améliorer le retour veineux?

Drainage actif

### Vacuum-assisted venous drainage in adult cardiac surgery: a propensity-matched study

Etude rétrospective

Sizhe Gao<sup>a,†</sup>, Yongnan Li<sup>a,b,†</sup>, Xiaolin Diao<sup>c</sup>, Shujie Yan<sup>a</sup>, Gang Liu<sup>a</sup>, Mingyue Liu<sup>a</sup>, Qiaoni Zhang<sup>a</sup>, Wei Zhao<sup>c,\*†</sup> and Bingyang Ji<sup>a,\*†</sup>

2004 patients

Table 4: Postoperative outcomes of patients between propensity-matched groups

Characteristics	Overall (n = 2004)	VAVD (n = 1002)	Gravity drainage (n = 1002)	Mean differences (95% CI)	P-value
ALT (IU/l), median (IQR)	21 (15)	21 (15)	21 (14)	2.9 (-3.7 to 9.5)	0.6120
AST (IU/l), median (IQR)	42 (33)	43 (36)	41.5 (31)	10.8 (-2.0 to 23.7)	0.0901
LDH (IU/l), median (IQR)	303 (138)	306.5 (141)	299 (135)	5.6 (-15.9 to 27.2)	0.3074
Creatinine ( $\mu\text{mol/l}$ ), median (IQR)	83.8 (30)	82.3 (30.3)	84.4 (30)	-2.0 (-4.5 to 0.5)	0.1079
BUN (mmol/l), median (IQR)	6.7 (3)	6.7 (3)	6.8 (3)	0 (-0.2 to 0.2)	0.6753
RBC ( $\times 10^{12}/\text{l}$ ), median (IQR)	3.6 (0.7)	3.6 (0.7)	3.7 (0.7)	-0.0483 (-0.0957 to -0.0009)	0.1077
Hgb (g/l), median (IQR)	110 (22)	110 (23)	111 (21)	-1.578 (-2.9822 to -0.1738)	0.0674
Hct (l/l), median (IQR)	0.3 (0.1)	0.3 (0.1)	0.3 (0.1)	-0.0055 (-0.0096 to -0.0014)	0.0355
Platelets ( $\times 10^9/\text{l}$ ), median (IQR)	140 (61.5)	142 (63)	139 (61)	4.034 (-0.0185 to 8.0865)	0.0478
CVA (%), % (n)	0.2 (4)	0.2 (2)	0.2 (2)	0 (-0.4 to 0.4)	1.0000
AKI (%), % (n)	4.1 (83)	4.4 (44)	3.9 (39)	0.5% (-1.3% to 2.2)	0.5751
Hepatic failure (%), % (n)	0.9 (18)	0.7 (7)	1.1 (11)	-0.4% (-1.2% to 0.4%)	0.3436
MI (%), % (n)	0.5 (10)	0.7 (7)	0.3 (3)	0.4% (-0.2% to 1.0%)	0.2048
Ventilation time (h), median (IQR)	15 (7)	15 (6)	16 (7)	-0.8 (-4.7 to 3.0)	<0.0001
Chest drainage (ml), median (IQR)	620 (491)	540 (430)	700 (570)	-298.7 (-381.6 to -215.8)	<0.0001
Re-exploration (%), % (n)	1.4 (28)	1.2 (12)	1.6 (16)	-0.4% (-1.4% to 0.6%)	0.4465
IABP insertion (%), % (n)	0.6 (12)	0.7 (7)	0.5 (5)	0.2% (-0.5% to 0.9%)	0.5625
ECMO insertion (%), % (n)	0.1 (2)	0.1 (1)	0.1 (1)	0 (-0.3% to 0.3%)	1.0000
In-hospital death rate (%), % (n)	0.3 (7)	0.5 (5)	0.2 (2)	0.3% (-0.2% to 0.8%)	0.2560



Pas d'augmentation des effets adverses

# Retour Veineux et CEC

## La CEC peut-elle être une solution pour améliorer le retour veineux?



European Journal of Cardio-Thoracic Surgery 00 (2019) 1-42  
doi:10.1093/ejcts/ezz267



### 2019 EACTS/EACTA/EBCP guidelines on cardiopulmonary bypass in adult cardiac surgery

Authors/Task Force Members: Alexander Wahba <sup>a,b,\*†</sup> (Chairperson) (Norway), Milan Milojevic <sup>c,d,\*†</sup> (Serbia, Netherlands), Christa Boer <sup>d,e</sup> (Netherlands), Filip M.J.J. De Somer <sup>d,f</sup> (Belgium), Tomas Gudbjartsson <sup>g</sup> (Iceland), Jenny van den Goor <sup>d,h</sup> (Netherlands), Timothy J. Jones <sup>d,i</sup> (UK), Vladimir Lomivorotov <sup>j</sup> (Russia), Frank Merkle <sup>d,k</sup> (Germany), Marco Ranucci <sup>d,l</sup> (Italy), Gudrun Kunst <sup>m,\*†</sup> (Chairperson) (UK) and Luc Puis <sup>d,n,\*†</sup> (Chairperson) (Belgium)

#### Recommendations for use of assisted venous drainage

Recommendations	Class <sup>a</sup>	Level <sup>b</sup>	Ref <sup>c</sup>
It is recommended that an approved venous reservoir be used for assisted venous drainage.	I	C	
It is recommended that the venous line pressure be monitored when using assisted venous drainage.	I	C	
Excessive negative venous pressures are not recommended due to the deleterious haemolytic effects.	III	B	[236]

<sup>a</sup>Class of recommendation.

<sup>b</sup>Level of evidence.

<sup>c</sup>References.

## Retour Veineux et CEC Conclusion

**Retour veineux : déterminant majeur du débit cardiaque**

**Optimisation volémie : remplissage - vasopresseurs**

**Nécessité d'une surveillance : MONITORAGE**

**CEC : surveillance du retour – drainage actif?**



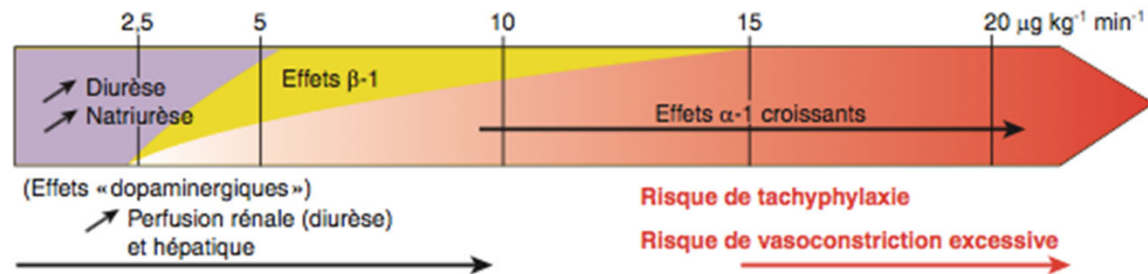
# Physiologie du système nerveux autonome

## SNA = Cible pharmacologique

### Dopamine

- Catécholamine naturelle
- Effets sur les récepteurs adrénnergiques :
  - Effet  $\alpha_1$
  - Effet  $\beta_1$  et  $\beta_2$
  - Effet  $\delta$
- Récepteurs  $\delta$  :
  - Récepteurs spécifiques de la dopamine
  - Vasodilatation mésentérique, splanchnique, rénale
- Effet dépendant de la posologie

Dopamine



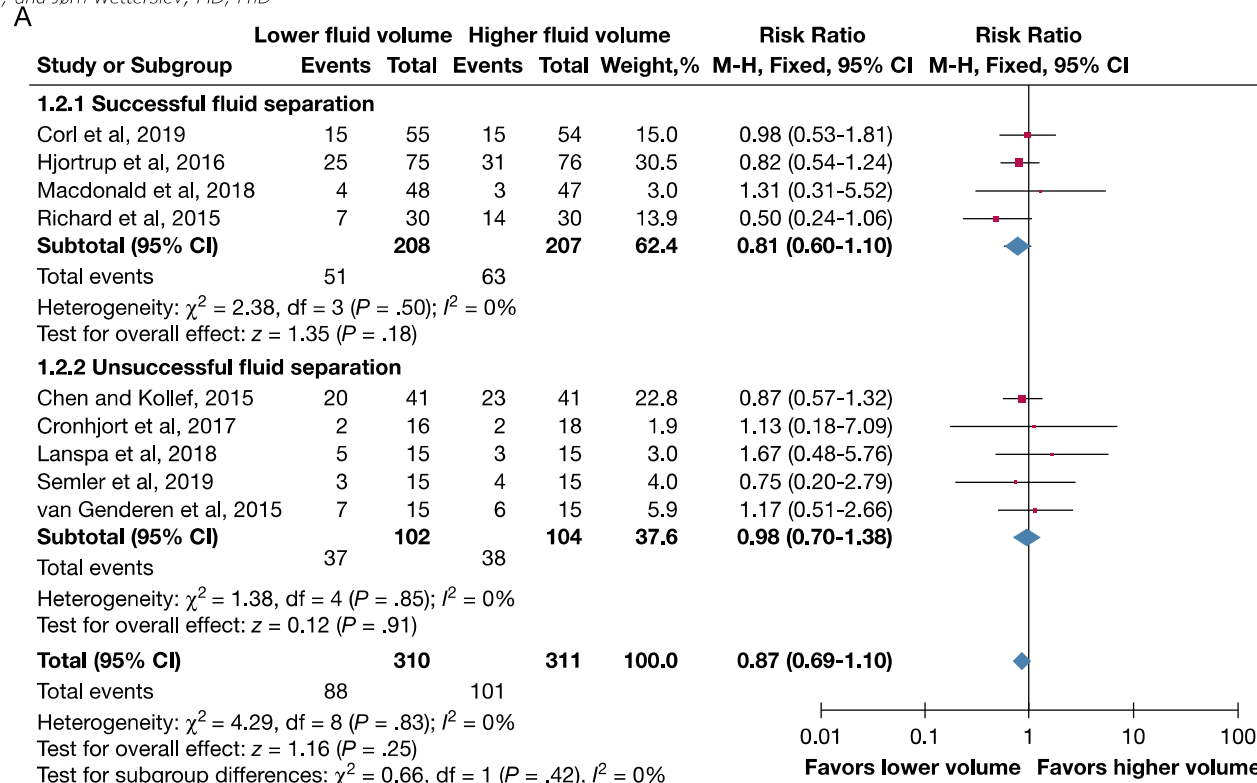
# Retour Veineux – Théorie de Guyton

## Comment améliorer le retour veineux ?

Lower vs Higher Fluid Volumes During  
Initial Management of Sepsis  
A Systematic Review With Meta-Analysis and Trial  
Sequential Analysis



Tine Sylvest Meyhoff, MD; Morten Hylander Møller, MD, PhD; Peter Buhl Hjortrup, MD, PhD;  
Maria Cronhjort, MD, PhD; Anders Perner, MD, PhD; and Jørn Wetterslev, MD, PhD



# Physiologie du système nerveux autonome

## SNA = Cible pharmacologique

### Dopamine

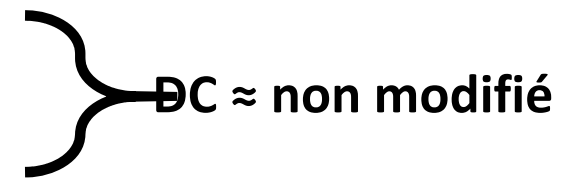
- **Les effets constatés :**
  - 1-3 µg/kg/min : effet  $\delta$  dominant : vasodilatation splanchnique et rénale
  - 3-10 µg/kg/min : effet  $\beta$  : inotrope + et chronotrope +
  - > 10 µg/kg/min : effet  $\alpha_1$  dominant, augmentation RAS et RAP  
→ Baisse débits périphériques et HTAP
  - Action indirecte : libération des stock de Noradrénaline endogène
- **Indications :**
  - Choc septique : peut être proposé, protection rénale?
  - Choc cardiogénique
  - Peu utilisé actuellement

# Retour Veineux – Théorie de Guyton

## Quels sont les déterminants du retour veineux ?

### Ventilation mécanique

→ Augmentation pression intrathoracique → Augmentation POD



→ Augmentation pression système splanchnique → Augmentation PVS

Effect of PEEP, blood volume, and inspiratory hold maneuvers on venous return

David Berger,<sup>1</sup> Per W. Moller,<sup>1,2</sup> Alberto Weber,<sup>3</sup> Andreas Bloch,<sup>1</sup> Stefan Bloechlinger,<sup>1,4</sup>  
Matthias Haenggi,<sup>1</sup> Soren Sondergaard,<sup>2</sup> Stephan M. Jakob,<sup>1</sup> Sheldon Magder,<sup>5</sup> and Jukka Takala<sup>1</sup>

Table 1. Effect of PEEP and blood volume on hemodynamics

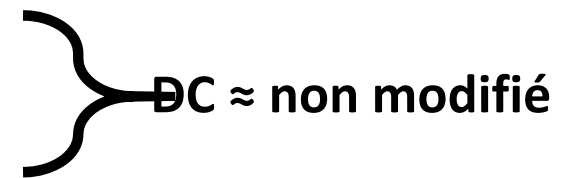
	PEEP 5 cmH <sub>2</sub> O, n = 9	PEEP 10 cmH <sub>2</sub> O, n = 9	P‡	Euvolemia PEEP 5 cmH <sub>2</sub> O, n = 8	Bleeding PEEP 5 cmH <sub>2</sub> O, n = 8	Hypervolemia PEEP 5 cmH <sub>2</sub> O, n = 8	P‡	
POD	Heart rate, beats/min	100 (29)	96 (23)	0.685	102 (21)	129 (31)	106 (20)	0.001
	MAP, mmHg	63 (7)	61 (12)	0.609	60 (10)	50 (11)	63 (12)	0.012
	PAP, mmHg	18 (3)	20 (3)	0.018	19 (3)	17 (3)	23 (3)	<0.001
	RAP, mmHg	5.9 (1.6)	7.5 (1.4)	<.001	5.9 (1.6)	5.1 (1.7)	8.2 (1.9)	<0.001
	ΔRAPtm <sub>exp</sub> *, mmHg		0.26 (1.02)	0.496		0.29 (0.62)	0.98 (1.26)	0.033
PVS	Q <sub>PA</sub> , l/min	2.75 (0.43)	2.56 (0.45)	0.094	2.80 (0.46)	2.20 (0.42)	3.27 (0.42)	<0.001
	MSFP <sub>RAO</sub> , mmHg	12.9 (2.5)	14.0 (2.6)	0.002	13.0 (2.8)	10.8 (2.2)	16.4 (3.0)	<0.001
	VRdP, mmHg	7.0 (2.2)	6.5 (2.3)	0.033	7.0 (2.4)	5.7 (1.7)	8.2 (2.2)	<0.001
	RVR, mmHg/l <sup>-1</sup> ·min	2.53 (0.52)	2.53 (0.63)	0.945	2.49 (0.59)	2.60 (0.58)	2.50 (0.52)	0.489
Before PEEP changes				Before bleeding	After bleeding	In hypervolemia		
Blood volume†, ml/kg				96 (14)	98 (16)	89 (15)	113 (21)	
							0.008	

# Retour Veineux – Théorie de Guyton

## Quels sont les déterminants du retour veineux ?

### Ventilation mécanique

→ Augmentation pression intrathoracique → Augmentation POD



→ Augmentation pression système splanchnique → Augmentation PVS

Effect of PEEP, blood volume, and inspiratory hold maneuvers on venous return

David Berger,<sup>1</sup> Per W. Moller,<sup>1,2</sup> Alberto Weber,<sup>3</sup> Andreas Bloch,<sup>1</sup> Stefan Bloechlinger,<sup>1,4</sup>  
Matthias Haenggi,<sup>1</sup> Soren Sondergaard,<sup>2</sup> Stephan M. Jakob,<sup>1</sup> Sheldon Magder,<sup>5</sup> and Jukka Takala<sup>1</sup>

Table 1. Effect of PEEP and blood volume on hemodynamics

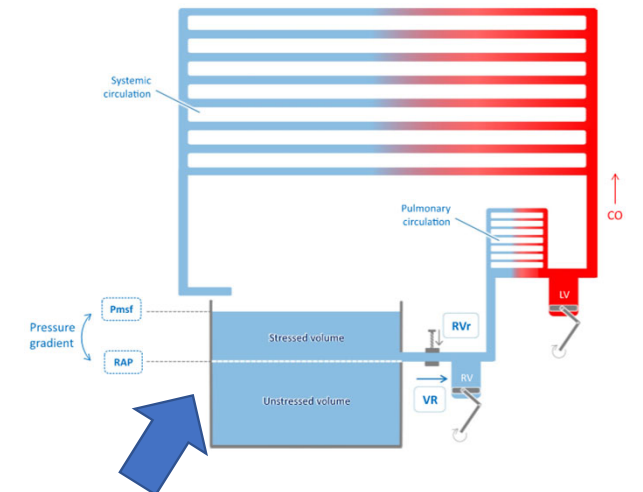
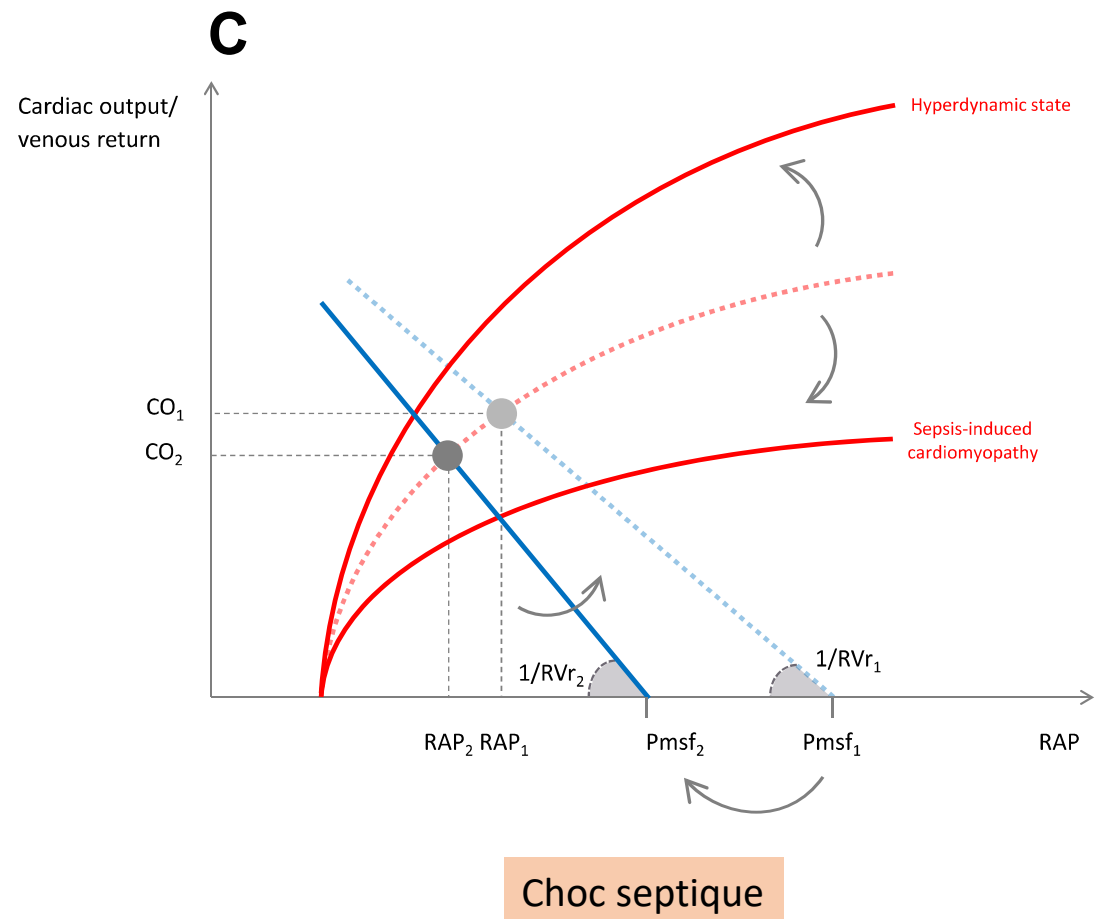
	PEEP 5 cmH <sub>2</sub> O, n = 9	PEEP 10 cmH <sub>2</sub> O, n = 9	P‡	Euvolemia PEEP 5 cmH <sub>2</sub> O, n = 8	Bleeding PEEP 5 cmH <sub>2</sub> O, n = 8	Hypervolemia PEEP 5 cmH <sub>2</sub> O, n = 8	P‡
Heart rate, beats/min	100 (29)	96 (23)	0.685	102 (21)	129 (31)	106 (20)	0.001
MAP, mmHg	63 (7)	61 (12)	0.609	60 (10)	50 (11)	63 (12)	0.012
PAP, mmHg	18 (3)	20 (3)	0.018	19 (3)	17 (3)	23 (3)	<0.001
RAP, mmHg	5.9 (1.6)	7.5 (1.4)	<.001	5.9 (1.6)	5.1 (1.7)	8.2 (1.9)	<0.001
ΔRAPtm <sub>exp</sub> *, mmHg	0.26 (1.02)		0.496		0.29 (0.62)	0.98 (1.26)	0.033
Q <sub>PA</sub> , l/min	2.75 (0.43)	2.56 (0.45)	0.094	2.80 (0.46)	2.20 (0.42)	3.27 (0.42)	<0.001
MSFP <sub>RAO</sub> , mmHg	12.9 (2.5)	14.0 (2.6)	0.002	13.0 (2.8)	10.8 (2.2)	16.4 (3.0)	<0.001
VRdP, mmHg	7.0 (2.2)	6.5 (2.3)	0.033	7.0 (2.4)	5.7 (1.7)	8.2 (2.2)	<0.001
RVR, mmHg/l <sup>-1</sup> ·min	2.53 (0.52)	2.53 (0.63)	0.945	2.49 (0.59)	2.60 (0.58)	2.50 (0.52)	0.489
Blood volume†, ml/kg	Before PEEP changes			Before bleeding	After bleeding	In hypervolemia	
	96 (14)			98 (16)	89 (15)	113 (21)	0.008

Am J Physiol Heart Circ Physiol 311: H794-H806, 2016.

RV

# Retour Veineux – Théorie de Guyton

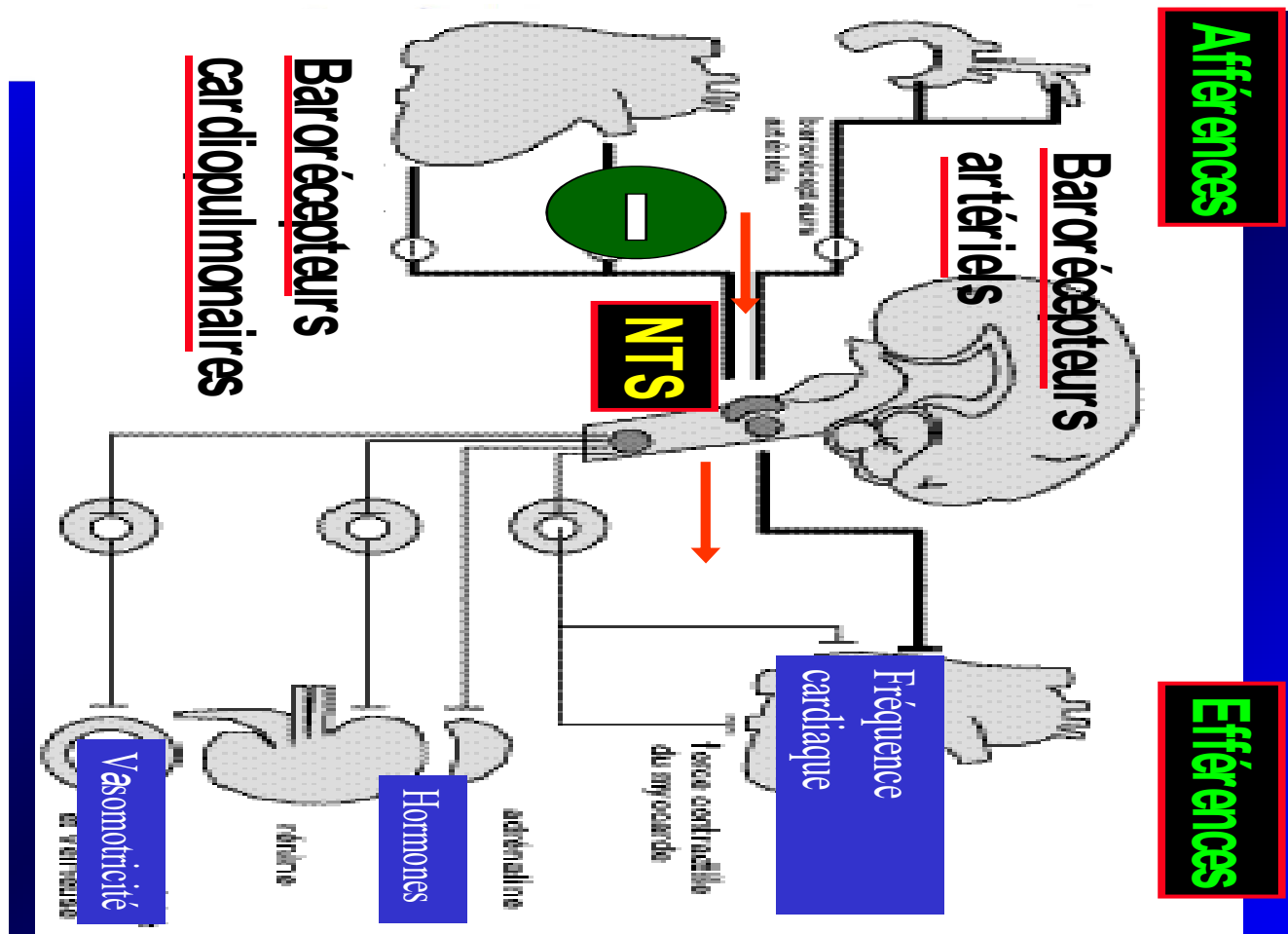
## Situations pathologiques



**Vasodilatation → Réduction PVS**

# Physiologie du système nerveux autonome

## Régulation de la Pression Artérielle

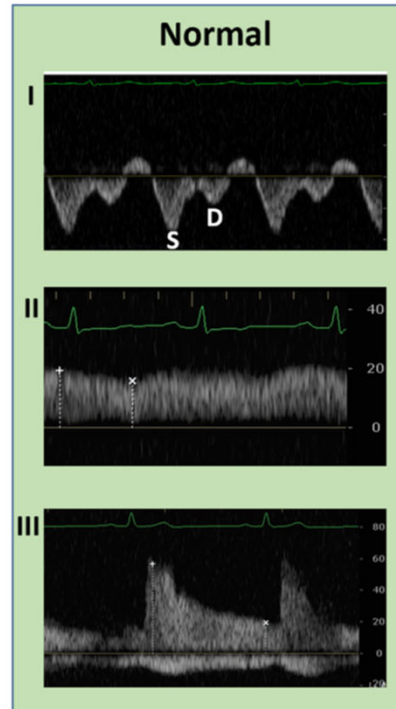


# Retour Veineux – Théorie de Guyton

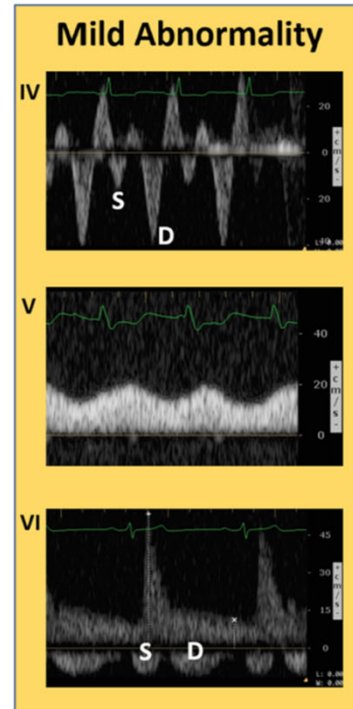
## Comment se guider?

### Comment se guider : rôle de l'échographie

Hepatic vein  
Doppler



Portal vein  
Doppler



Intra-renal  
Venous  
Doppler

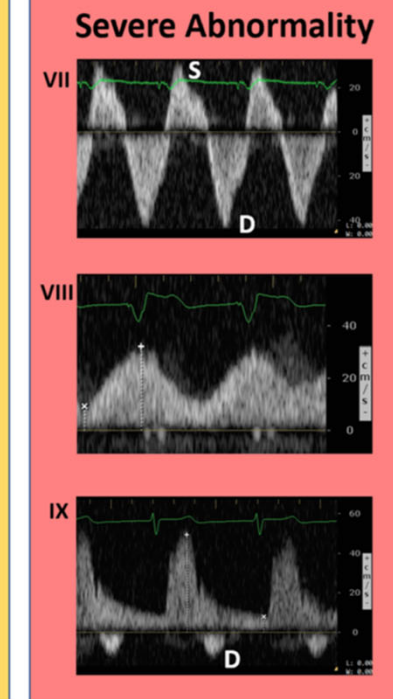
ORIGINAL ARTICLE

Open Access



### Quantifying systemic congestion with Point-Of-Care ultrasound: development of the venous excess ultrasound grading system

William Beaubien-Souigny<sup>1,2\*</sup>, Philippe Rola<sup>3</sup>, Korbin Haycock<sup>4</sup>, Josée Bouchard<sup>5</sup>, Yoan Lamarche<sup>6</sup>,  
Rory Spiegel<sup>7</sup> and André Y. Denault<sup>1,8</sup>



**VCI > 2cm  
+ 2 anomalies  
=**  
**Risque d'IRA**

# Physiologie du système nerveux autonome

## Exploration du SNA

diminution de l'activité sympathique (réduction de la fréquence cardiaque et de l'inotropisme, vasodilatation artériolaire et veineuse). L'ensemble de ces effets concourt à abaisser le débit cardiaque et les résistances périphériques totales. La réponse globale du baroréflexe tend donc à corriger la perturbation tensionnelle initiale (Ach : acétylcholine ; NA : noradrénaline).

intervalle RR. D'une manière générale, les résultats fournis par ces méthodes sont assez bien corrélés, soit qu'on les compare entre eux, soit qu'on les compare avec le valeurs fournies par les méthodes invasives [2, 3].

### Intérêt clinique

